

MINISTERUL INDUSTRIEI CHIMICE  
INSTITUTUL CENTRAL DE CHIMIE  
CENTRUL DE CHIMIE TIMISOARA

ing. VICTOR ELIU-CEAUSESCU

TEZA DE DOCTORAT

CONTRIBUTII LA TEHNOLOGIA DE OBTINERE A 4,4'-BIPYRIDILILOR PRIN INTERMEDIARI ORGANOMETALICI,  
UTILIZIND MODELE MATEMATICE

Conducător științific  
Conf.dr.ing. RADU VALCEANU

BIBLIOTECA CENTRALĂ  
UNIVERSITATEA "POLITEHNICA"  
TIMIȘOARA

Timisoara

- 1985 -

INSTITUTUL CENTRAL DE CHIMIE  
CENTRUL DE CHIMIE  
528828  
360 E



## C u p r i n s

	pag.
1. Introducere .....	1
2. Date de literatură privind obținerea heterociclului 4,4'-bipiridilic în laborator și industrie. Consideratii generale .....	2
2.1. Obținerea 4,4'-bipiridililor prin metalare cu metale alcaline sau alte metale din grupele principale .....	3
2.2. Reacția Dimroth .....	21
2.3. Obținerea bipiridililor prin reacția Ullmann .....	22
2.4. Sinteza bipiridililor cu alți reducători .....	23
2.5. Reacții de reducere a heterociclului piridinic ...	25
2.6. Reacții de dehidrogenare catalitică cu formare de bipiridili .....	27
2.7. Alte metode de obținere a bipiridililor .....	28
2.8. Concluzii .....	30
3. Contribuții la ingineria unor reacții organometalice de sinteză a 4,4'-bipiridililor .....	31
3.1. Introducere .....	31
3.2. Studiu asupra tendinței de aglomerare a sodiului dispers la reacția de sodare a piridinei .....	33
3.2.1. Prezentarea problemei .....	33
3.2.2. Aspecte ale comportării aleatoare în inginerie chimică .....	34
3.2.3. Descrierea modelului de analiză a varianței multidimensionale .....	39
3.2.4. Partea experimentală .....	50
3.2.5. Alcătuirea programului de prelucrare a datelor .....	57
3.2.6. Prezentarea rezultatelor și a interpretării lor .....	64
3.2.7. Concluzii .....	69
3.3. Studiul unor radicali liberi, intermediari în sinteza 4,4'-bipiridilului în hexametilamida acidului fosforic .....	72
3.3.1. Prezentarea problemei .....	72
3.3.2. Partea experimentală .....	72
3.3.3. Resultate, interpretări .....	73
3.4. Studiul oxidării piridinei sodate .....	75
3.4.1. Introducere .....	75

3.4.2. Prezentarea modelului de simulare a reac- ției de oxidare .....	80
3.4.3. Alcătuirea programului de simulare și testarea sa .....	83
3.4.4. Determinări experimentale .. ..	90
3.4.5. Rezultate și concluzii .....	92
Concluzii generale .....	97
<u>Anexa</u>	
1. Metoda modelării .....	100
1.1. Model și modelare - termeni polisemantici .....	100
1.2. Definiții .....	104
1.3. Despre analogie .....	112
1.4. Modelarea și teoria sistemelor .....	115
1.5. Stapele modelării .....	118
1.6. Clasificarea modelelor .....	119
1.7. Scopul, avantaje și limite ale metodei modelării ..	130
1.8. Modelarea din punct de vedere euristic .....	132
1.9. Descrierea unor contribuții proprii de modelare în chimie și tehnologie chimică .....	135
1.10. Concluzii .....	139
Bibliografie .....	141

## 1. INTRODUCERE

Prezenta lucrare are ca scop fundamentarea unei tehnologii originale de obținere prin sinteză a compusului heterociclic 4,4'-bipiridilic, intermediar cheie pentru obținerea ierbicidului diclorură de N,N'-dimetil-4,4'-bipiridiliu, cunoscut sub denumirea de paracuat.

La alegerea metodei de sinteză pentru aplicarea în producție a fost necesară găsirea unei căi originale, care ocolește prioritățile soluțiilor existente în literatura de brevete.

Pe baza unor orientări anterioare în sinteza organometalică și a preocupărilor colectivului de cercetare din care face parte autorul, atenția a fost îndreptată spre sinteza 4,4'-bipiridilului din piridină, prin sodare și oxidare. Ca mediu de reacție, s-a optat pentru utilizarea cosolventului H.PF, cu care se obțin rezultate superioare celor raportate în literatură atât în ceea ce privește răndamentul cât și obținerea preferențială a izomerului 4,4'.

Aceste cercetări au condus la elaborarea unui procedeu original, pentru care s-a obținut un brevet.

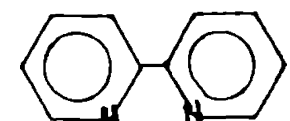
In cursul acestor studii au apărut o serie de probleme a căror rezolvare a necesitat unele aprofundări privind aglomerarea sodiului dispers. Această fenomen a necesitat explicări și precizări asupra condițiilor care permit eliminarea sau reducerea apariției sale.

De asemenea, trebuia găsită cauza consumului de sodiu mărit, strîns legat de gradul de conversie obținut. Această problemă ne-a îndrumat spre studierea unor aspecte stoichiometrice, a intermediarilor și a etapelor de reacție.

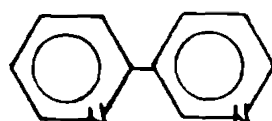
In etapa de oxidare a masei de reacție se pun în mod acut probleme de mărire a siguranței în conducerea reacției. Pentru aceasta trebuiau studiate unele aspecte ale cinematicii de oxidare, cu accent asupra intermediarilor periculoși de structură peroxidică sau hidroperoxidică.

**2. DATE DE LITERATURA PRIVIND OBTINEREA HETERO-CICLULUI 4,4'-BIPIRIDILIC IN LABORATOR SI INDUSTRIE. CONSIDERATII GENERALE**

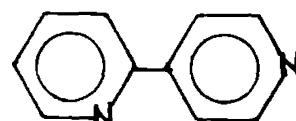
Bipiridili sau bipiridinele /1/ sint compusi heteroaromatici binucleari cu nuclee izolate. Toti cei sase izomeri de pozitie :



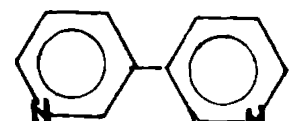
2,2'-Bipiridil



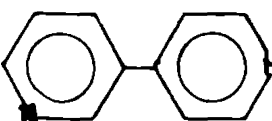
2,3'-Bipiridil



2,4'-Bipiridil



3,3'-Bipiridil



3,4'-Bipiridil



4,4'-Bipiridil

au fost obtinuti prin sinteza /2/. Dintre acesteia insa doar derivatei 2,2'-bipiridilului sint obtinuti la scară industrială datorita aplicatiilor ca si ierbicide sub formă de săruri cuaternare precum si ca liganzi în diversi catalizatori complecsi /4/, si compusii 4,4'-bipiridilici care se aplică de asemenea ca ierbicide, sub formă de săruri dicuaternare, respectiv ca indicatori viologeni în titrări redoxmetrice /5/.

In studiul de față se vor descrie metodele de sinteza de laborator si industriale referitoare la heterocicul 4,4'-bipiridilic si se vor face referinte succinte la sintezele celorlalți compusi izomeri, in măsura in care prin metoda descrisă se obțin amestecuri de izomeri sau pentru întregirea tabloului reactivităților descrise.

Metodele de sinteza ce se găsesc în literatură pot fi incadrate în următoarea schemă :

Metode prin reduceri - oxidări

- cu metale alcaline si alte metale din grupele principale
- cu zinc in anhidridă acetică (reactia Dimroth)
- cu alți reducători

- din halogenopiridine cu cupru (reacția Ullmann)
- reacția de dehidrogenare catalitică (folosind metale sau compuși de metale tranzitionale)

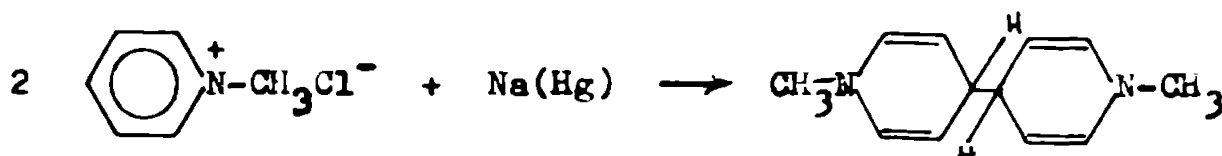
Alte metode

- prin inițiere cu radicali
- metode bazate pe reacții de condensare
- prin decarboxilarea acizilor bipiridilici

#### 2.1. Obținerea 4,4'-bipiridililor prin metalare cu metale alcaline sau alte metale din grupele principale

Obținerea 4,4'-bipiridililor din piridine se face prin reacții cu metale alcaline, mai ales sodiu, eventual și magneziu sau aluminiu constituiște metoda cu cea mai mare importanță practică, fiind de fapt singura industrializată.

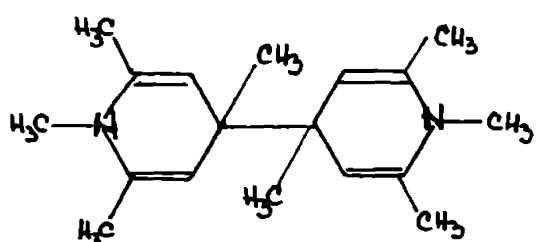
Dimerizarea piridinei și a derivaților cu obținerea de compuși bipiridilici a fost realizată și publicată de A.W. Hoffmann /32/ încă în 1881, care a redus clorura de N-metilpiridiniu cu amalgam, izolând 4,4'-dihidro-N,N'-dimetil-4,4'-bipiridiul :



Reacția propriu-să a piridinei cu sodiu a fost realizată și publicată între anii 1914-1920 de către B. Emmert /9/. Prima revendicare de procedeu de obținere a bipiridililor în amestec de izomeri "util ca insecticid" se găsește în patentele britanic 228.849 și francez 579.456, ambele din 1924 ale autorilor C.R. Smith și T.J. Dosch /8/. În perioada următoare de aproape 40 de ani are loc descoperirea indicatorilor "viologeni" de către Michaelis (1942) /5/, au loc dezvoltări importante în domeniul chimiei organometalice prin efectuarea metalărilor în medii polare și obținerea radicalilor etilici de către Schlenk (1928) /89, 90, 94/ și introducerea spectroscopiei de rezonanță electronică de spin de înaltă rezoluție în analiza speciilor

radicalice /96/. După anul 1960 se publică un număr impresionant de lucrări, în cea mai mare parte brevete ale firmei ICI, care revendică procedee de sinteză și purificare ale heterociclului 4,4'-bipiridilic din sodiu, magneziu sau aluminiu și piridină. Procedeele brevetate sau altele asemănătoare sunt industrializate de aceeași firmă, 4,4'-bipiridilul asigurând producția ierbicidului diclorură de 1,1'-dimetil-4,4'-bipiridiliu (paracuat). În continuare apar lucrări ce elucidează diverse aspecte ale chimismului formării bipiridilului /67/, ale aplicării paracuatului ca ierbicid respectiv privind mecanismul de acțiune ca ierbicid /55,56/.

In ceea ce privește diversificarea acestei metode de sinteză, un aspect al variabilității a fost deja amintit : acela al utilizării diverselor metale. Astfel, a fost utilizat în primul rînd sodiul /8,11-14,16-29/, în multe cazuri magneziul /16-23/ și aluminiul /18,20/, iar în laborator s-a utilizat ocazional și potasiul /15/. În ceea ce privește substratul organic supus reacției, acesta este în primul rînd piridina, descrisă în aproape toate lucrările citate. Într-un brevet /19/ se revendică și reacția de dimerizare a omologilor piridinei și anume : picolinele și lutidinele care au poziția 4 liberă. În lucrarea /91/ se descrie sinteza dimerului 1,1',2,2',4,4',6,6'-octametiltetrahidro-4,4'-bipiridină :



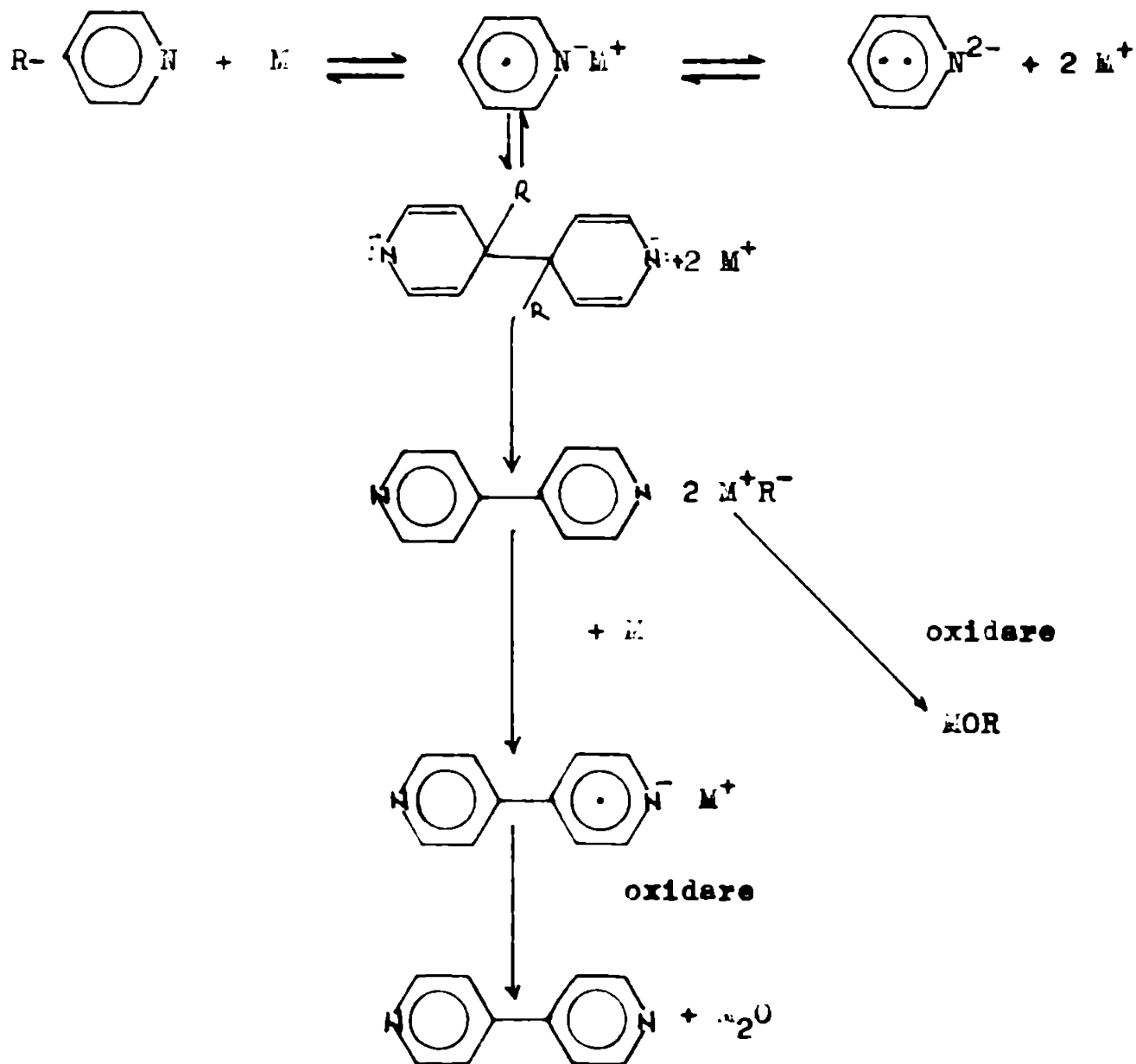
Mecanismul de reacție a formării heterociclului 4,4'-bipiridilic (sau a derivaților săi) din derivați piridinici și metale reactive este complex, comportând un număr mare de etape. Coroborând propunerile de mecanism dintr-o serie de lucrări /33,67/, se disting următoarele etape de reacții :

- metalarea substratului piridinic cu formarea unui ion-radical (acesta a fost decelat prin metode electrochimice (voltametrie ciclică) în cazul reducerii clorurii de 1-metil-4-cianpiridiliu /33/ și a sodării piridinei cu sodiu în exces foarte mare de piridină /67/ prin semnalul RES)
- dimerizarea speciei radical anionice cu formarea unui

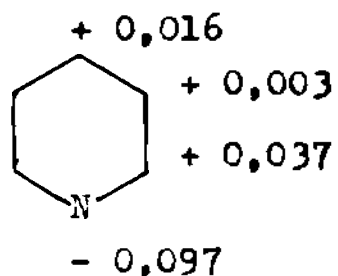
dimer dianionic /7,33/

- în condițiile de reacție poate apărea și un dianion în echilibru cu metalul și radical-anionul, etapă ce poate complica mersul reacției /76/
- stabilizarea dimerului dianionic prin eliminarea în trepte de ioni de hidrură, sau de alte specii purtătoare ale sarcinilor negative excedentare /33,67/
- poate avea loc o metalare și a speciei dimere cu formarea unui radical anion /7,67/
- în continuare este necesară oxidarea atât a radical anionului dimerului, a speciei bipiridilice hidrogenate, a hidrurii sau a altor specii reduse. Această reacție are loc într-o etapă consecutivă sau chiar în timpul metalării /23/.

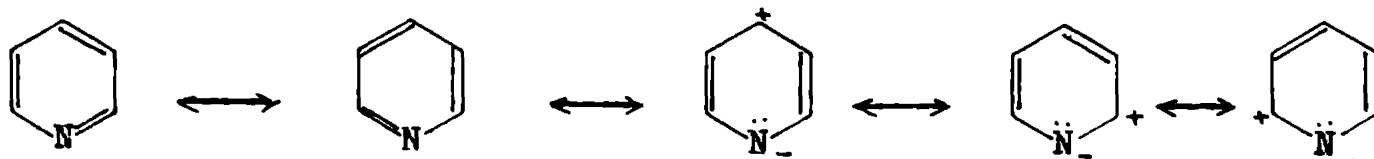
O schemă a etapelor de reacție bazată pe cele expuse este redată în continuare :



In cadrul acestui mecanism de reacție o importanță deosebită o are etapa de metalare a heterociclului. Metalarea compușilor aromatici a fost descoperită încă de Bertholet în 1866, după /76/ prin punerea în reacție a naftalinei cu potasiu ; ea se bazează pe trecerea electronilor de valență ale metalelor electropozitive în orbitalii moleculari vacanți de energie relativ joasă. În cazul unor sisteme cu orbitalii  $\pi$  delocalizați, noul electron achiziționat va ocupa un orbital de asemenea delocalizat, de exemplu un orbital de antilegătură. Aceast proces va avea loc cu atât mai ușor cu cât sistemul de electroni este mai mare : la naftalină, antracen decurge mult mai ușor decât la benzen. Ușurința de a fi metalat a fost pusă de către G.Briegleb /87/ în legătură cu afinitatea pentru electroni a compusului respectiv. Benzenul nu poate fi metalat decât la temperaturi joase sub  $-80^{\circ}\text{C}$ , cind se obțin concentrații de radical-anioni suficiente pentru a permite identificarea lor /76,pag.440/. La temperaturi mai mari radical-anionii se descompun. De aceea hidrocarburile aromatice simple (toluen, xileni) pot fi folosite la realizarea dispersiilor de sodiu. În cazul piridinei și a derivaților situația este diferită. Datorită prezenței heteroatomului azot în ciclul aromatic, atom mai electronegativ decât carbonul are loc o sărăcire în electroni a ciclului aromatic (se vorbește de un compus heteroaromatic deficit în electroni /7/). Această situație poate fi ilustrată prin diagrama densității de electroni obținută pe baza calculelor mecanico-quantice prin metoda orbitalilor moleculari după /4/ :



Aceleași argumente rezultă și din formulele canonice ale heterociclului piridinic :



(ultimele trei structuri limită cu sarcina negativă asupra unui

atom mai electronegativ au desigur o contribuție substanțială în descrierea structurii heterociclului). Această deficiență de electroni îl este atestată de totalitatea proprietăților fizico-chimice ale heterociclului piridinic : reactivitate redusă în substituții electrofile respectiv mărită în substituții nucleofile etc. În cazul analizat, această deficiență de electroni se manifestă printr-o afinitate sporită față de electroni, prin posibilitatea metalării în condiții obișnuite.

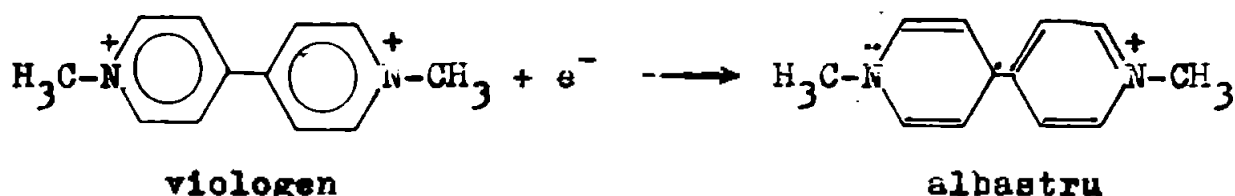
Se poate aprecia că electronul are o mobilitate mult superioară speciilor atomice sau moleculare. De aici rezultă că în condițiile în care nu există anumite piedici în transferul electronului (cum ar fi straturi de oxizi, o contactare nepotrivită etc.), metalarea va decurge cu o viteză foarte mare /76/. Desigur că viteză va fi cu atât mai mare cu cât procesul este mai favorizat termodinamic (energetic). În legătură cu aceste metalări de nuclee aromatic se consideră că în condiții prielnice ele sunt reacții de echilibru. Pentru observarea echilibrului este necesar ca nici o specie să nu se susțină echilibrului prin reacții secundare ireversibile, cum sunt deseori dimerizările /88/ :



Din această suiată de reacții se observă că sistemul poate accepta chiar doi electroni, radical-anionul paramagnetic trecind într-un dianion eventual diamagnetic, proces ce poate fi definitivat prin captarea a doi protoni în mediul cu protoni mobili de etanol sau acid acetic, având de fapt loc reducerea moleculei piridinice la dihidropiridină (aceste aspecte sunt tratate mai detaliat în paragraful 2.5. Posibilitatea echilibrului dintre specii metalate constituie o soluție elegantă în conducederea unor dintre metalări pe calea trans-metalării. Trebuie ținut cont doar de poziția moleculei în scara afinităților pentru electroni pentru a putea decide dacă o specie metalată poate fi folosită la metalarea alteia. Cu toate dificultățile de a găsi o măsură cantitativă pentru această proprietate, s-a stabilit următoarea relație de ordonare privind creșterea afinității pentru electroni /76/ :

benzen < piridină < difenil < bipiridili <  
< naftalină < antracen etc.

In ceea ce privește speciile radical-anionice obținute prin metalare, acestea pot fi deseori caracterizate prin metode fizico-chimice : în soluții cu solventi de polaritate suficientă disociază astfel că pot fi efectuate măsurători de conductibilitate. Se apreciază că sărurile dianionice se găsesc, datorită polarizării mai accentuate, de obicei sub formă de perechi de ioni. La ion-radicalii și dianionii având electroni în stări energetice superioare, este posibilă o excitare a acestora cu un aport energetic modest. Rezultă de aici că aceste specii sunt colorate intens. Deseori apariția colorației vîi este semnul formării unei astfel de specii (amintim doar de termenul de "viologen" instaurat pentru săruri de biperidiliu care dau cu usurință radicali-ioni, viu colorati, utilizati în titrări



**redoxmetrice /5/. Aceast exemplu este legat de tema noastră prin structura hipiridilică a moleculei, ea fiind însă un radical-cation. În cazul radical-anionilor se întâlnesc proprietăți optice asemănătoare.**

O caracteristică importantă a radical-anionilor este că aceste specii posedă un electron neîmperechiat cu spinul necompensat. Acești electroni pot fi "sondați" fiind posibilă o absorbție de energie radiantă electromagnetică, cind condiția de rezonanță este satisfăcută. Astfel se obține o singură linie în spectrul de absorbție al "electronului solvatat" în soluția albastră de amniac lichid. Dacă electronul neîmperechiat este confruntat cu cîmpul unui alt sistem de spini, de exemplu un nucleu cu spin, cîmpul magnetic perceput de electronul impar este ceva mai mare sau mai mic decît cîmpul în absența spinului nuclear. Astfel, pentru un spin de  $\pm 1/2$ , rezonanța va avea loc la  $H_1 = \nu - \delta_H$  și  $H_2 = \nu + \delta_H$ , unde  $\delta_H$  este cîmpul perturbator, se vor observa două semnale (linii) în spectrul RES. Prin existența unui sistem de spini complex, cum este cazul structurilor heteroaromaticice, unde cel puțin nucleele protonilor au spin nenul, se explică obținerea structurii hiperfine a spectrului RES. Mărimea constantei de despărțire hiperfină în spectrul RES este determinată de mărimea interacțiunii electronului impar cu sistemul de spini nucleari.

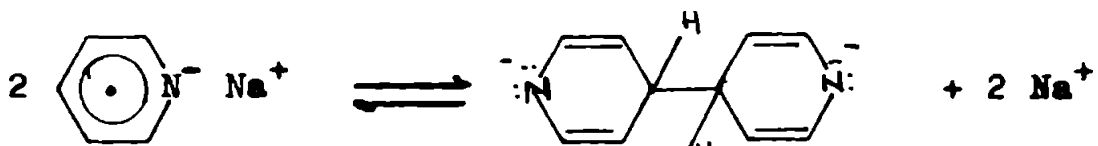
In modul acesta spectrul RES de mare rezoluție devine o unealtă foarte eficientă în decelarea și identificarea speciilor radicalice. Specii de piridină metalate au fost caracterizate prin spectroscopie de RES /15,67/.

In ceea ce privește caracterizarea generală fizico-chimică a radical-anionilor, inclusiv a acelora obținuți din molecule piridinice se pot regăsi două trăsături /76/ și anume caractristice pentru :

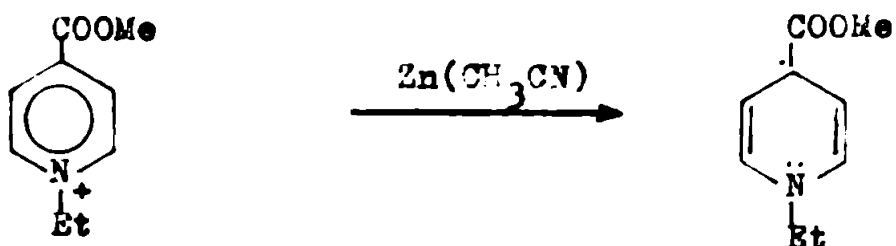
- compuși organometalici și a
- soluțiilor

In primul caz se insistă asupra proprietăților moleculare ale acestor compuși, în al doilea asupra faptului că datorită trecerii rapide a electronului de pe o moleculă pe alta (echilibru rapid), ne putem referi la specia "electron solvatat".

Aspectele prezentate cu privire la etapele reacției de obținere a 4,4'-bipiridilului elucidează prima fază înaintea dimerizării. Prin aceasta abia are loc formarea unei noi legături C-C între cele două cicluri piridinice.

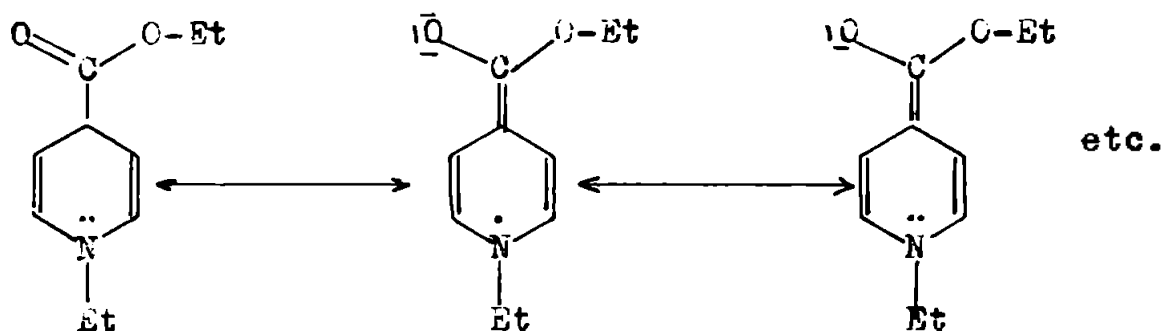


Pută motrice a acestei etape constă în faptul că specia radical-anionică, deosebit de activă datorită electronului nefimpochiat, pierde caracterul radicalic prin dimerizare. Reacția de dimerizare este de asemenea rapidă, ajungîndu-se la echilibru. Echilibrul la dimerizare va fi în general deplasat puternic spre dimer, deși se cunosc și cazuri de ioni-radicali deosebit de stabili cu tendință de dimerizare redusă. Este cazul stabilității remarcabile a radicalului l-etyl-4-carboximetoxipiridiniu obținut de E.B.Kosower și H.J.Poziolek /33,34/ conform reacției :



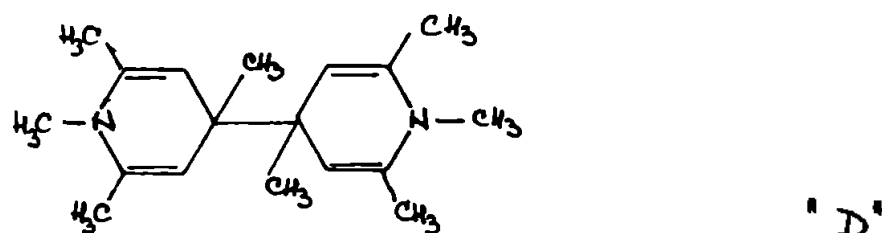
Acet radical este în proporție de 93% sub formă liberă în substanță pură (din măsurători magnetice /33/ ) și a fost posibilă purificarea sa prin distilare în vid înaintat ( $10^{-6}$  torr)

Este un solid albastru la 77°K și un lichid verde la temperatură obisnuită, este o specie reducătoare, captează atomi de halogeni din molecule de halogenuri organice :  $\text{CH}_2\text{Br}_2$ ,  $\text{CHCl}_3$ ,  $\text{CCl}_4$  /136/. Deosebita stabilitate se poate explica prin inhibarea sterică a reacției de dimerizare și prin delocalizarea electronului neimperechiat și asupra grupării esterice, pe atomi cu o electronegativitate mare :

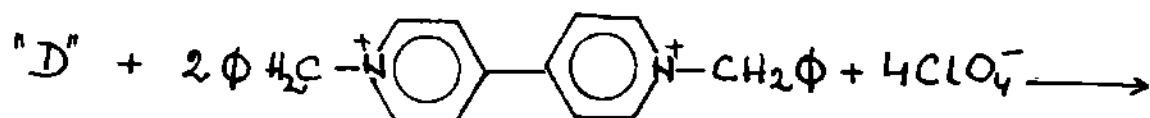


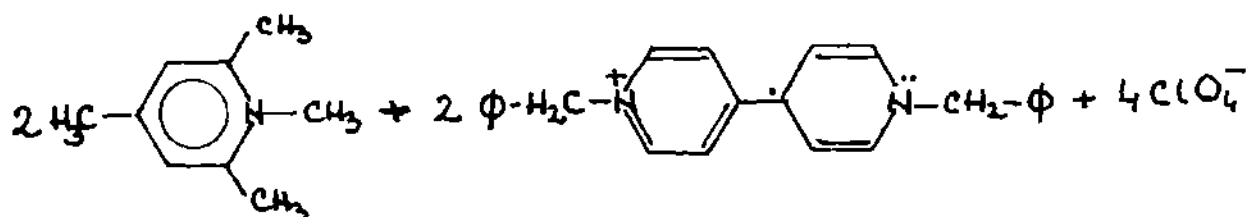
Aceasta constituie însă doar un caz de excepție. La nucleele piridinice neesubstituite sau substituite cu metili sau alte grupări nu prea voluminoase, dimerizarea radical-anionului este un fapt stabil și demonstrat prin aceea că s-au obținut în condițiile obisnuite de reacție spectre RES cu o structură hiperfinată ce poate fi atribuită doar unor radicali-anioni bipiridilici /57,67/.

In favoarea faptului că reacția de dimerizare este reversibilă se poate aduce următorul argument /33/. Specia dimeră :



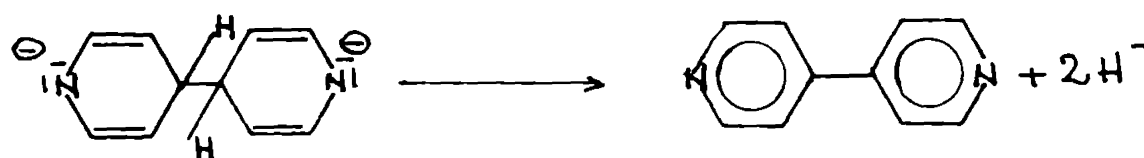
reduce dicationul benzilviologenic la radicalul benzilviologenic corespunzător :



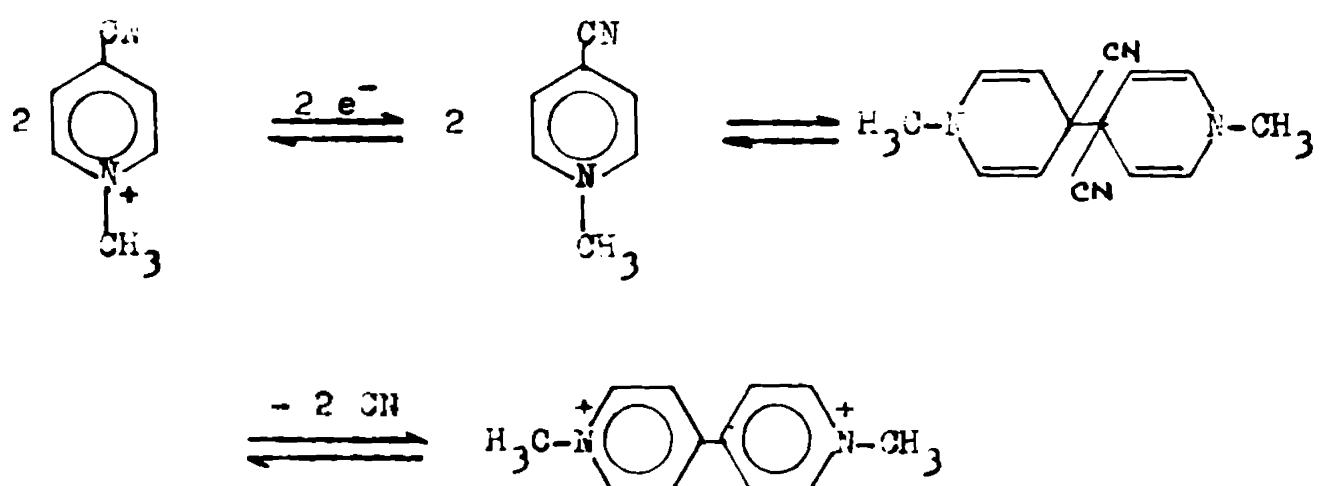


reacție ce decurge probabil prin radical-anioni piridinici obținuți prin disocierea dimerului. Dacă în acest caz inversarea dimerizării este justificată de faptul că dimerul nu se poate stabiliza prin eliminare, gruparea din 4 fiind o grupare metil, inversarea dimerizării în cazul piridinei se sprijină pe faptul că fiind vorba de un dianion, între cele două sarcini electrice există substanțiale forțe de respingere.

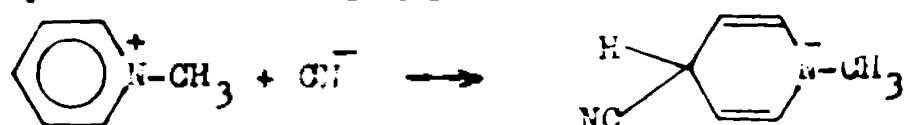
Identificarea radicalului bipiridilic /68,57/ constituie o dovadă a stabilizării dianionului prin eliminare de hidrură :



O eliminare analogă este stipulată și în cazul /33/ :

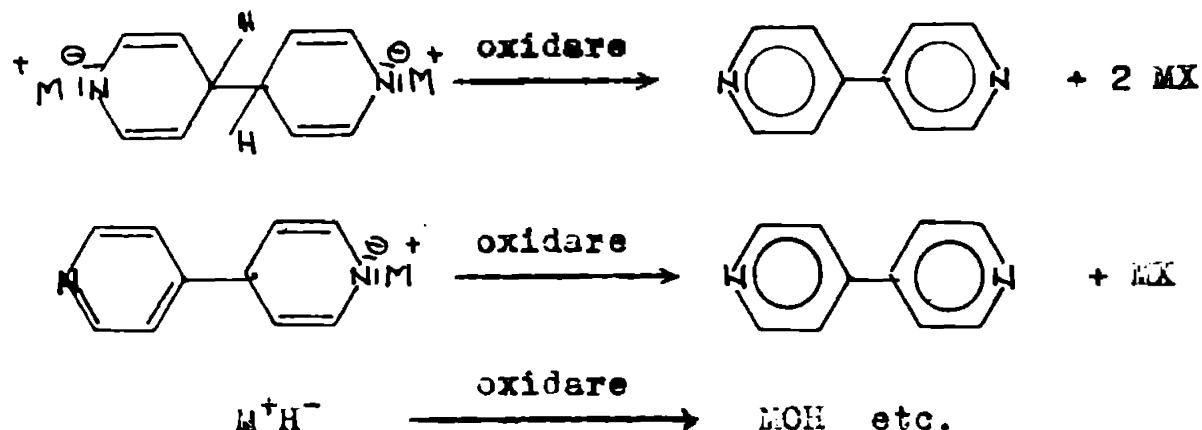


cind eliminarea este reversibilă, deoarece sărurile de piridiniu pot să lițione ioni de cianură :



ÎnDEPENDENT de poziție echilibrului multiplu (vezi schema din pag. 5 ) în toate procedeele preparative sirul reacțiilor se termină cu o oxidare, și anume se oxidează fie radical-anionul

bipiridilic fie compusul tetrahidrobipiridilic, sau alte specii reduse ce su apărut pe parcursul reacției :



Această reacție, deci strâns legată de suita de reacții anterioare prin faptul că ee continuă cu produsul acestora, este independentă de acestea. Ca specii oxidante au fost folosite din cele mai variate : cel mai des aer sau oxigen /8,11,12,16,22,29/, dintre halogenii bromul /14/, apă oxigenată /21/, oxizi de azot, acid azotic /20/ și diversi compuși organici oxidanți : bromură de alil /18,24/, nitroalcani /23,28/, nitrobenzen /26/. Păptul că s-au încercat aceste variante nu are de a face cu dificultatea reacției din punct de vedere chimic : reacția este în toate cazurile rapidă și totală. Criteriul care a stat la baza acestor încercări a fost acela al siguranței reacției : se preferă uneori folosirea unui reactant purtător de oxigen (oxidare indirectă) pentru a se cîștiga în controlabilitatea reacției, pentru a reduce pericolul de explozie.

In legătură cu dificultățile conducerii reacției între piridine și metale trebuie arătat că aceste reacții ridică probleme deosebite dacă nu se găsesc condițiile de contactare adecvate între faze : metalul și faza organică /76,p.438/. Una din căile de îmbunătățire a contactării este utilizarea metalului fin dispersat. Prin aceasta se creează o suprafață de contact mărită între faze facilitând transferul de masă. Această metodă este mult folosită la metalările cu sodiu datorită ușurinței cu care se poate realiza dispersarea în medii organice /76,p.288/ (punctul de topire al sodiului este de  $98^\circ\text{C}$ ). Utilizarea sodiului fin dispers are un efect spectaculos în cazul metalării halogenurilor de alchil, compușii alchilsodiu neputind fi obținuți decât cu disperaii foarte fine, cu particule micronice. Totuși,

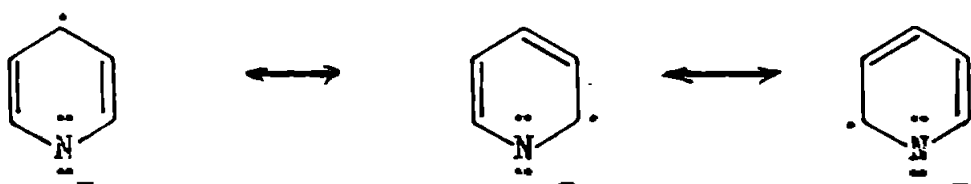
metoda nu este universală, în multe cazuri se preferă o disper-sare mai grosolană ("nisip de sodiu", grăunți de magneziu), cînd aceasta asigură viteze de reacții în limite controlabile.

O altă problemă de contactare o ridică straturile de oxizi ce se formeză la suprafața metalelor. Aceste straturi pot fi o rezistență de netrecut pentru electroni dar mai ales pentru atomi, reacția de metalare fiind parțial sau total inhibată. Un remediu în cazul realizării dispersiei metalului înainte de reacție este crearea unei atmosfere de gaz inert (azot, argon), înălțurînd pe cît posibil toate urmele de oxigen și umiditate. În cazul în care se utilizează pulberi metalice preformată (Mg, Al) această metodă nu este operantă, și este bine cunoșcut de experimentator î că reacțiile de metalare sunt deseori inhibate. Se foloesc diverse căi de declansare a reacțiilor : se activează metalul prin amalgamare, se corodează cu sublimat de mercur (Mg, Al), se adaugă ceva iod (la reacțiile Grignard), alcool amilic etc. O metodă frecventă este inițierea reacției magneziului cu o dispersie de sodiu /16,21,28/, deci cu un metal mai activ.

O altă metodă generală de îmbunătățire a contactării între metal și compus organic este folosirea unui solvent adecvat. Reacțiile de metalare decurg deosebit de neted în prezența acelor solvenți care dă soluții albastre cu metale alcălino-metlice amoniacul lichid, eterii etilenglicolului și a dietilen-glicolului (glina), amine și diverse amide, tetrametilureea (TMU) și HMPT-ul. Astfel, în amoniac lichid se obțin la temperaturi joase soluții albastre cu metalele alcălino care conțin pe lîngă cationii de sodiu solvatați și electronul solvatat. Aceasta soluție se descompune sub influența catalitică a fierului în amidură de sodiu. Deși implică operații destul de dificile la temperaturi coborîte ( $-40^{\circ}\text{C}$ ), se poate aprecia că efortul experimental este răsplătit cu rezultate deosebite la efectuarea unora dintre reacții /76/. Aceleași efecte spectaculoase se obțin și cu ceilalți solvenți enumerați. La alegerea solvențului trebuie avut în vedere stabilitatea sa în condițiile drastice ale metalărilor : numai puțini compuși sunt stabili în limite mai largi de temperatură în aceste condiții. În multe cazuri soluția metalului în solvent (HMPT, TMU) se descompune, iar anionii obținuți sunt înoă utili în unele reacții.

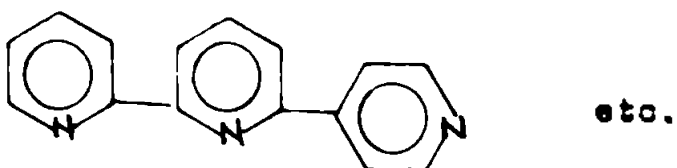
O observație valoroasă pentru folosirea unor astfel de efecte de solventi este aceea că desecri săt suficiente cantități mai mici ale cosolventului de natură aprotică polară, în prezența unui alt solvent inert (hidrocarbură) /76/. Prin aceasta se asigură încă efectul de stabilizare prin solvatare a cationului de către molecula de cosolvent, pe de altă parte însă se poate lucra cu solventi convenționali (mai ieftini respectiv mai stabili).

Un problemă importantă este aceea a izomeriei la bipiridili obținuți pe calea metelării. Formarea noii legături C-C are loc în etapa de dimerizare a compusului piridinic metalat. După cum am văzut, acesta are structură radical-anionică, electronul neîmperechisat fiind delocalizat. Scriind structurile limite canonice ale acestei specii :



se observă că delocalizarea electronului neîmperechisat are loc asupra atomilor 2, 4, 6 și heterociclului. Este deci ușor de înțeles că coligarea a doi radicali va duce în exclusivitate la izomerii 2,2', 2,4', 4,4' și foarte puțin probabil la izomeri cu legături între atomii 3 respectiv 5. Fără a putea fi explicat, orientarea la condensarea cu metale alcaline în fază lichidă este preferențială pentru izomerul 4,4'-bipiridilic, deși reacția nu este de obicei uniteră. În reacțiile de dehidrogenare catalitică (paragraful 2.6) se obține, în schimb, în primul rând izomerul 2,2'-bipiridilic. În modul acesta există o cale deschisă pentru ambele izomeri.

In ceea ce privește reacțiile secundare întâlnite frecvent amintim de reacții de reducere, care vor fi tratate pe scurt în paragraful 2.5 și reacții prin care se obțin congeneri cu tripiridili, de exemplu :



compuși apreciați /25/ ca foarte toxici și pentru a căror îndepărțare se tratează amestecul cu sulfat feros urmat de o extracție a bipiridililor cu solvent organic (tricloretilenă).

In continuare vom efectua o analiză a literaturii de brevete în care se revendică obținerea de 4,4'-bipiridili, aceasta constituind principala sursă bibliografică în legătură cu procedeele industriale adoptate. Situația documentării în legătură cu obținerea industrială este în ansamblu precară, căci producția de ierbicide bipiridinice este monopolizată de firma multinațională ICI.

Primele reacții între piridine și sodiu s-au realizat și publicat începând cu anul 1914 de către B. Emmert /9,10/. Autorul este preocupat mai ales de chimismul reacției și nu ca procedeu de sinteză. Primul brevet asupra unui procedeu de obținere a bipiridililor îl obțin C.R. Smith și T.J. Dosch în 1924 /8/. Procedeul utilizează sodiu și piridină în exces mare, este puțin intensiv, macerarea sodiului făcindu-se în 24 ore urmată de o perfectare prin încălzire la  $115^{\circ}\text{C}$ , temperatura de fierbere a amestecului. Oxidarea se face cu oxigen și separarea de hidroxid de sodiu prin filtrare și extracție cu eter. Bipiridili se obțin prin distilări consecutive. Autorii apreciază că obțin un amestec de izomeri, din care izomerul 4,4' este destul de puțin.

Brevetul sovietic 123.946 /11/ descrie separarea unui amestec de 2,2'- și 4,4'-bipiridili obținut prin acțiunea sodiului asupra piridinei prin obținerea unui complex al 2,2'-bipiridilului cu sulfat feros. Acest brevet și lucrarea lui R. Setton /14/ sunt puținele lucrări care preced pachetul de brevete al cărui proprietar este firma ICI. În lucrarea /14/ se apreciază că prin contactarea piridinei cu sodiu și prin încălzire se poate obține un amestec de izomeri 2-piridin-sodiu și 4-piridin-sodiu cu degajare de hidrogen, fapt neconfirmat de alte lucrări. Suspensia albastră astfel obținută este tratată cu brom obținându-se un amestec de părți asemănătoare de 2,2'-bipiridil și 4,4'-bipiridil.

Cu brevetul olandez 6.512.461/1961 /16/ începe seria brevetelor ICI de obținere și purificare a bipiridililor. Acestea au fost trecute în tabelul din pagina 17 împreună cu alte lucrări referitoare la procedee asemănătoare. Procedeul conform brevetului /16/ constă în tratarea piridinei în mare exces cu magneziu la temperaturi de reflux în prezență de xilen, această fază este urmată de oxidare la temperatură joasă  $0-25^{\circ}\text{C}$  cu aer.

Autorii pretind că obțin izomer 4,4'-bipiridinic cu un randament acceptabil de 55% față de piridina consumată.

In procedeul conform brevetului /18/ se lucrează cu magneziu sau aluminiu contactat cu piridină și săruri de piridinu obtinute in situ (Pi.HCl, Pi.HBr, Pi.HI sau cu iodură de etil, bromură de alil, bromură de benzil), la temperatură de reflux a amestecului timp de 3 ore. Obținerea bipiridililor se face după hidroliză prin distilare. Randamentele sunt mediocre deși reacția este selectivă pentru obținerea 4,4'-bipiridilului.

Brevetul /17/ se ocupă de separarea unui amestec de izomeri bipiridilici obținuți în mod cunoscut din piridină și metale reactive, procedeu bazat pe solubilitatea mai redusă a 4,4'-bipiridilului în apă.

Un alt brevet /19/ revendică o înlocuire a excesului de piridină cu amine terțiare aromatice, de exemplu N,N-dimetil-, N,N-dietyl-, N,N-dipropilanilină. Procedeul urmează soluția tehnică conturată în brevetele anterioare, respectiv magneziu și piridină. Se utilizează o suspensie de sodiu pentru inițierea reacției. Prin măsurile preconizate se revendică o îmbunătățire în randamentul de obținere a amestecului de izomeri, în jur de 90% raportat la sodiu. Amestecul de bipiridili izomeri este bogat în izomerul 4,4' (96%).

In brevetele /20,21/ se adoptă aceeași soluție de metalare (magneziu inițiat cu sodiu în exces de piridină), urmată de o oxidare cu acid azotic /20/ sau apă oxigenată /21/. In ambele oxidări se lucrează la 60°C, iar randamentul în izomerul 4,4' este redus, în jur de 20% față de piridina consumată.

Brevetul /22/ asigură prioritatea procedeului ICI în Uniunea Sovietică. Procedeul brevetat reunește elemente ale procedeelor anterior brevetate.

Brevetul /23/ aduce ca noutate utilizarea nitroalcanilor la oxidarea produsului de metalare a piridinei. Se obține un randament superior în bipiridili (59%) fără a se da proporția izomerilor.

In lucrarea /12/ autorii polonezi descriu un procedeu în care utilizează sodiu în mare exces de piridină, procedeul este puțin intensiv, se contactează piridina cu sodiu timp de 48 ore, cu agitare intermitentă după care refluxează amestecul de reacție, barbotînd aer sau oxigen în amestec. După distilarea excesului de piridină se extrag bipiridili (mai ales izomerul 4,4')

Procedee de sinteza a bipiridililor din Piridina si metale alcaline

528828  
360 E

Nr. crt.	Su r s a & Metal	Solvent	Oxidant	Temp. °C	Temp. h	Rendement %	I z. o m e x 2,2' 2,4' 4,4'	Observatii
11. Fr.1.333.475 /20/	Na,Mg, Al	Pi	HNO <sub>3</sub>	60	-	-	-	
12. Fr.1.341.586 /21/	Mg	Pi exces	H <sub>2</sub> O <sub>2</sub>	110-60	5	22	-	P
							*	Rendement fata de piridine consumata
13. Sov.166.613 /22/	Na,Mg	amine ar.	Aer	90-120	-	-	-	
14. Belg.639.705 /23/	Mg	Pi exces alil-Br	nitroalc.	110	-	59	-	- fata de piridine consumata
15. Belg.638.139 /24/	Hg(Na)	Pi oxoee		115	-	49	-	*
16. Neth.6.401.239 /25/	-	-	-	-	-	-	-	procedeu continuu
17. Brit.957.098 /26/	Na	Pi	nitrobenzen	90	1	72	25% 22%	53%
18. Fr.1.380.806 /27/	Na	NH <sub>3</sub> , glime	H <sub>2</sub> O	-40	2	68	-	* picoline fata de metel
19. Brit.1.016.542 /28/	Mg(Na)	Pi	MnO <sub>2</sub>	110	1	70	2,7% 3,6%	94,7%
20. Neth.6603415 /97/	Na	Amide	Aer	-25	2	16	-	16% 84% in presalabil solvires Na in amoniac

P = putin

cu eter. Randamentul este de 40%.

Brevetul /24/ descrie un procedeu continuu care utilizează piridina în exces mare și magneziu în faza de metalare. Reacția are loc în două reactoare în cascadă : primul de metalare, al doilea de oxidare. Randamentul este de 50% față de piridina consumată. Adausul magneziului se face pe porțiuni, cel al piridinei continuu. Startul este asigurat prin adausul unei suspensii de sodiu în reactorul de metalare.

Brevetul /26/ revendică un procedeu îmbunătățit de obținere a bipiridililor. Se lucrează cu piridină și sodiu în raport aproape echimolecular însă în prezența trimetilbenzenului, care este totodată solventul de dispersare a sodiului. În brevet se specifică că se lucrează cu o suspensie de 20-50  $\mu$ . În aceste condiții reacția are loc la  $90^{\circ}\text{C}$  într-un timp de 1 oră după care se face oxidarea cu nitrobenzen (tot la temperatura de reflux). Este primul brevet în care se lucrează cu un raport apropiat de cel molar piridină : sodiu în prezența unor hidrocarburi inerte. Randamentul obținut este de 72% însă se obține un amestec de izomeri care conține doar puțin peste jumătate izomer 4,4'-bipiridilic.

În brevetul /27/ se trece la utilizarea unor tehnici mai avansate de contactare : se dizolvă sodiul în prealabil în amoniac lichid, la care se adaugă apoi dimetileterul eten-glicolului, care constituie mediul de reacție. Reacția se conduce la temperatură joasă, oxidarea are loc cu aer, viteza de reacție este mare (timp de reacție 2 ore), randamentul este de 68% obținindu-se izomer 4,4'.

Este descrisă extinderea metodei și asupra picolinelor cu obținerea izomerului 4,4'.

Brevetul /28/ îl completează pe /26/ prin aceea că oxidarea are loc cu nitrometan. Atât metalarea cât și oxidarea au loc la refluxare cînd se îmbunătăște compoziția amestecului de izomeri în favoarea izomerului 4,4'.

Brevetul /97/ extinde soluția tehnică a brevetului /27/ în sensul că contactează o soluție de sodiu în amoniac la temperatură joasă ( $-40^{\circ}\text{C}$ ) cu o soluție de piridină în unul din solventii : dimetilformamidă, acetonitril, formilpiperidină, dimetilsulfoxid, morfolină. Se lucrează cu un raport aproape de cel molar de sodiu față de piridină. Timpul de reacție este

de 2-3 ore, oxidarea are loc cu oxigen la  $-25^{\circ}\text{C}$ . Rendamentul obținut este de 70% față de piridina consumată, 84% din produs este izomer 4,4' și 16% este izomer 2,2'.

Din examinarea brevetelor expuse, care se referă la obținerea heterociclicilor bipiridilici din piridină cu metale reactive, se desprind următoarele concluzii :

- Sinteza heterociclului bipiridilic a fost studiat intens de la prima sinteză (1914) pînă în prezent.

- Această sinteză a profitat din plin de dezvoltarea în acest răstimp a chimiei compușilor organometalici însușindu-și unele cuceriri generale ale acestei ramuri : spectroscopia RES, tehnica "soluțiilor" metalelor etc.

- Se cunosc unele detalii ale mecanismului de reacție, expuse la începutul acestui capitol.

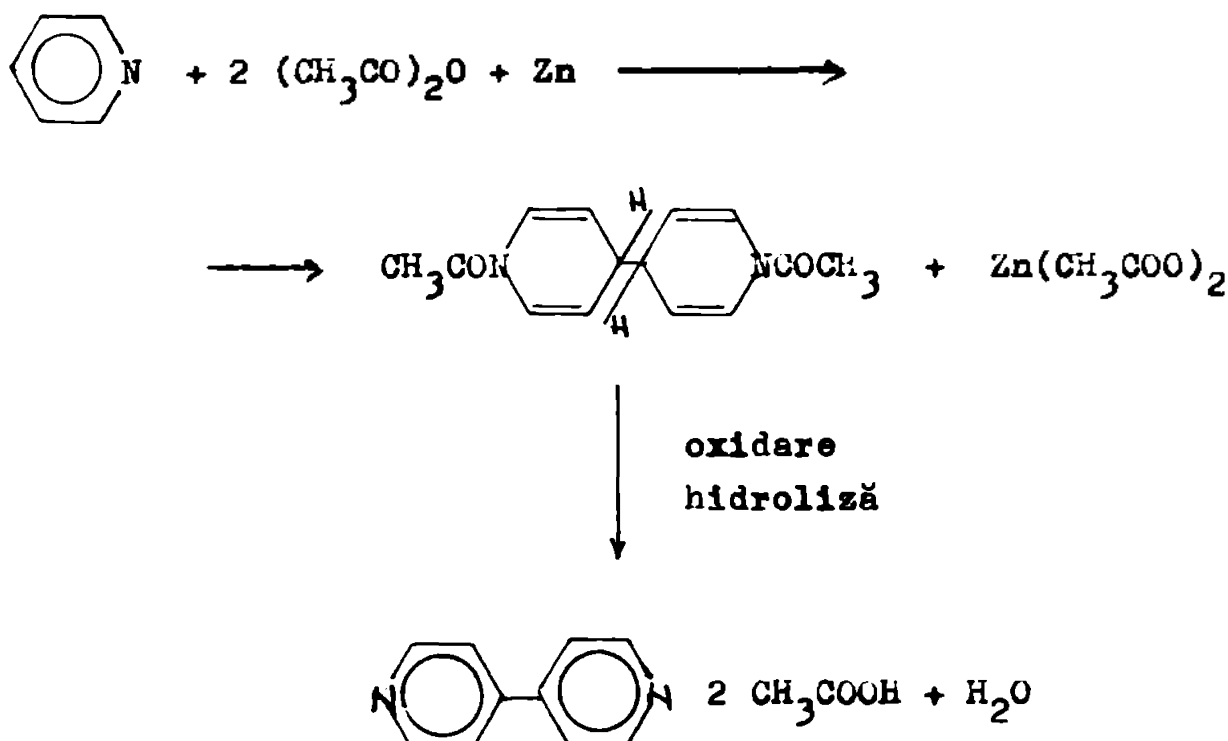
- S-au pus la punct diverse procedee de obținere a 4,4'-bipiridililor, care s-au protejat prin brevete și din care unele sau cel puțin unul a fost industrializat.

Elementele acestor soluții tehnice brevetate sunt următoarele :

- se lucrează cu sodiu sau magneziu
- se utilizează tehnica inițierii cu sodiu dispers
- sodiul se introduce fie dispers, fie în soluție amoniacală
- ca solvent se utilizează excesul de piridină, uneori în amestec cu hidrocarburi
- se utilizează diverse solvenți dipolari, amine, amide
- oxidarea se face cu aer, oxigen și diverse alți oxidanți anorganici, apă oxigenată, acid azotic sau acizi organici, nitroderivați, halogenuri
- rendamentele obținute sunt în general modeste pînă la medii, selectivitatea în izomer 4,4'-bipiridil doar uneori satisfăcătoare.

## 2.2. Reactia Dimroth

Reacția Dimroth /29-31/ are loc între piridină, anhidridă acetică și pulbere de zinc :



Reacția are loc la cald ( $90^{\circ}\text{C}$ ) produsul intermediar *N,N*-diacetil-1,1',4,4'-tetrahidrobipiridilic putând fi izolat în absență aerului. Oxidarea se poate face peste un intermediar dihidropiridinic /30/ :



sau direct pînă la 4,4'-bipiridil. Ca și agenți de oxidare se pot folosi : aerul și oxigenul, tetraacetatul de plumb, oxid de mangan, oxizi de azot etc. Răndamentul de reacție este excelent și 90-95% obținîndu-se numai izomer 4,4' /6.pag.481/.

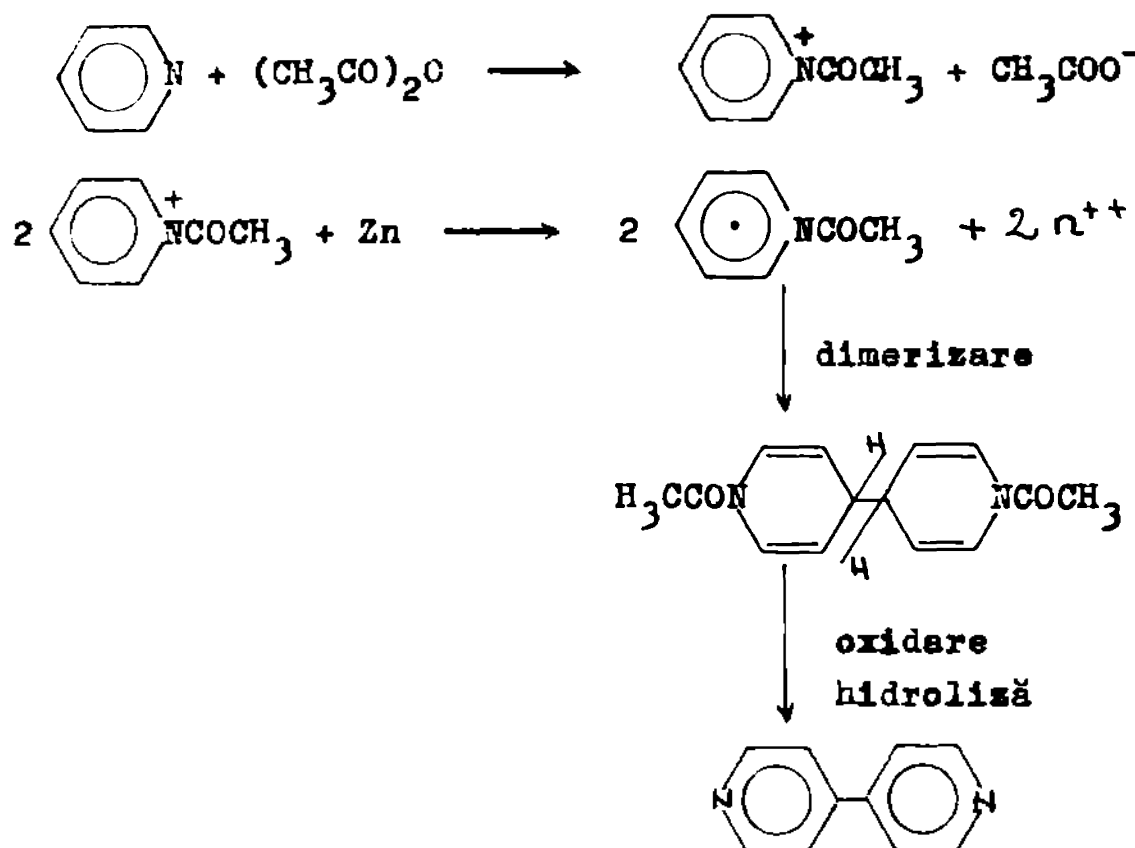
Etapile parcursă sunt după autor /30/ următoarele :

- metilarea piridinei de către anhidridă acetică cu formarea cationului de acetilpiridiniu

- reducerea cu zinc a acestuia cu formarea unui radical stabilizat prin conjugarea nucleului aromatic cu dubla legătură carbonilică, care are tendință accentuată de dimerizare

- dimerizarea radicalului

- oxidarea si hidroliza intermediarului :



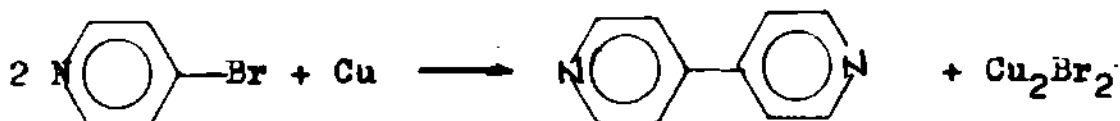
Randamentul și selectivitatea bună a acestei reacții o recomandă ca și opțiune serioasă la realizarea 4,4'-bipiridilului. Faptul că este totuși preferată reacția cu metalele alcaline sau alcalinoteroase în alte medii decât cel de anhidridă acetică se datorează probabil prețului relativ mare al acesteia.

### 2.3. Obtinerea bipiridililor prin reacția Ullmann

Reacția Ullmann /42,76/ constă în tratarea derivaților halogenați aromatici sau heteroaromatici cu pulbere de cupru la temperaturi între 100-360°C, cînd are loc o dehalogenare și condensare a resturilor organice :

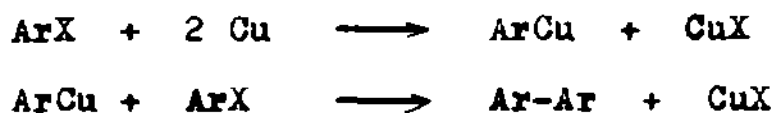


Reactivitatea depinde atît de natura halogenului, scăzînd în ordinea I > Br > Cl /42/ cît și de natura și substituția nucleului aromatic. Substanțe electrofili ușurează, cei donori îngreunează mersul reacției. Dacă se pun în reacție halogenopiridine /43/ se obțin din 4-halogenopiridine cu randament bun 4,4'-bipiridili.



Că și mediu de reacție se pot folosi solventi inertii precum nitrobenzen, toluen, naftalină și.a. Separarea din amestecul de reacție se face prin extracție întâi a brompiridinei și a solventului cu vaporii de apă a masei acidulate, urmată de extracția bipiridilului după alcalinizare. Asemănător se obține și 2,2'-bipyridilul din 2-brompiridină, sau 3,3'-bipyridilul.

Mecanismul de reacție, după toate probabilitățile /77,78/, presupune formarea unui derivat organocupros parcurgind următoarele etape :



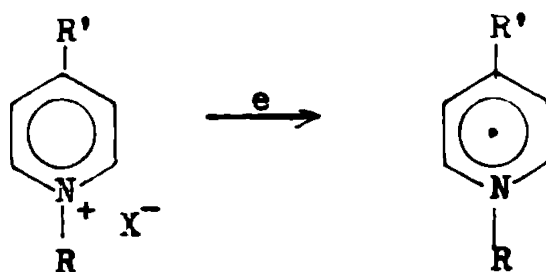
In ceea ce privește etapa a doua, este demonstrat /79,80/ că ea decurge printr-un mecanism radicalic.

Valoarea preparativă a acestei metode este relativ redusă în cazul 4,4'-bipyridililor, deoarece 4-halogenopiridina nu poate fi obținută decât pe căi indirecte /3, pag. 51/.

#### 2.4. Sinteza bipyridililor cu alți reducători

Aceste reacții au o mare asemănare cu cele tratate la subcapitolele 2.1 și 2.2. Specii piridilice, de obicei substituite cu grupări funcționale atrăgătoare de electroni trec sub influența unor reducători, care nu fac parte neapărat din clasa metalilor, în specii radicalice, care apoi se stabilizează prin dimerizare, dând naștere la diverse specii bipyridilice. Asemănarea din punct de vedere al mecanismului cu reacțiile amintite este uneori frapantă, ceea ce ne-a și îndrumat spre exemplificări din această categorie, atunci cînd am abordat mai detaliat aspecte ale mecanismului de reacție (vezi subcap. 2.1).

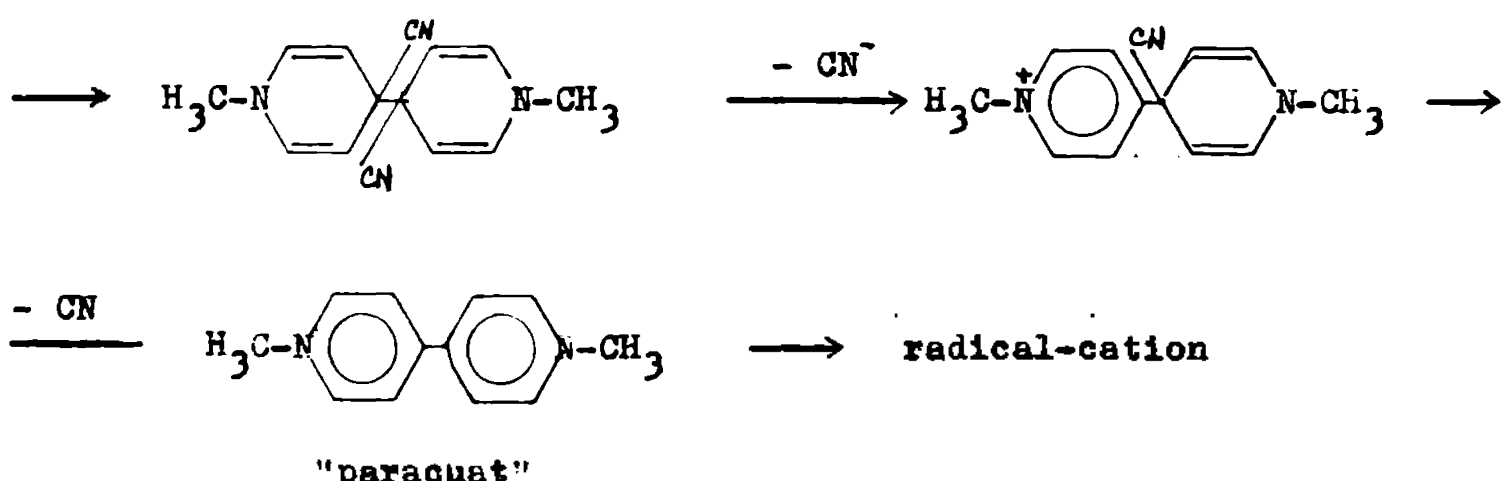
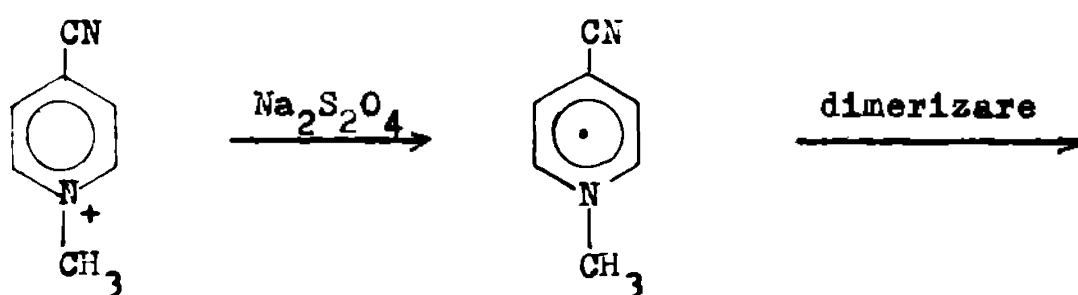
In continuare se prezintă cîteva exemple din lucrările /32, 36, 98, 99/ în care se reduc specii după reacția :



R = Me, Et, H /32/

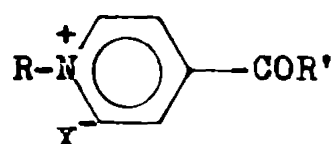
R' = CN /36/ ; COMe /98,100/ ; COOMe /35/

Reducerea se face chimic cu ditionit de sodiu sau electrochimic /99/. S-a subliniat anterior deosebita stabilitate a radicalului obtinut in cazul in care R = COOMe. In alte cazuri, are loc insa dimerizarea cu formarea speciei 4,4'-bipiridilice /36/ :



Aceasta metoda nu poate avea importanta preparativa caci utilizeaza un intermedian (4-cianpiridina) greu accesibil.

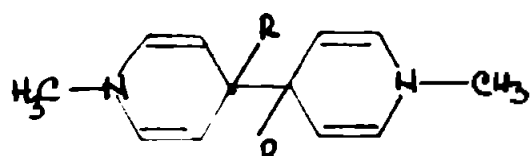
Un alt exemplu de dimerizari este spectaculos /100/ : urmatorii cationi de piridinu



unde : R = CH<sub>3</sub>, benzil

R' = Me, fenil, butil, hexil

suferă sub influența unor baze (hidroxizi alcalini, alcoxizi, piroolidină) o dimerizare, cu apariția unui radical-cation bipiridilic :



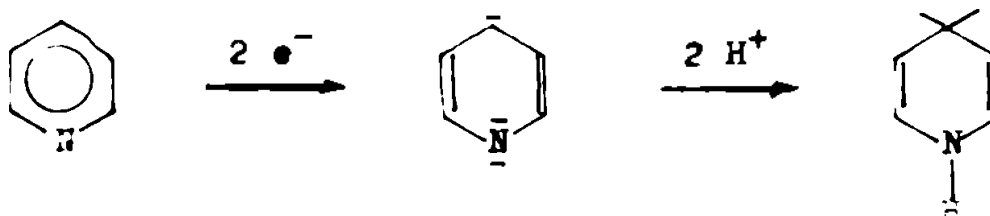
Existența acestuia a fost demonstrată prin spectrometrie UV, IR, RMN, RES, analiză elementară.

## 2.5. Reacții de reducere a heterociclului piridinic

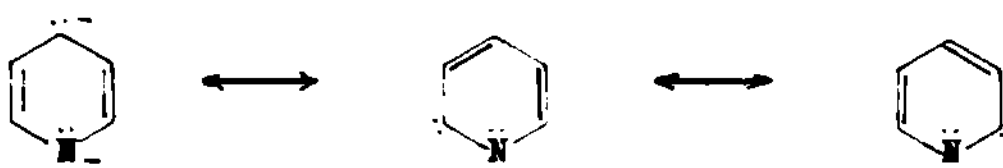
Reacțiile de reducere a heterociclului piridinic sunt legate de sinteza 4,4'-bipiridililor prin aceea că au în multe cazuri o asemănare formală și mecanistică. Pe de altă parte, reducerea piridinelor constituie reacții secundare ce pot influența sensibil randamentul la sinteza bipiridililor. Vom expune reacțiile de reducere descrise în literatură, condițiile în care decurg, fără să intra prea mult în detaliu.

Prima categorie de reduceri care se aseamănă foarte mult cu metodele de sinteză ale bipiridililor descrise în paragrafele anterioare este reducerea cu metale în prezența donorilor de protoni.

Din punct de vedere mecanistic aceste reacții decurg prin captarea a doi electroni cu formarea unui dianion urmat de captarea a doi protoni de la specia acidă :

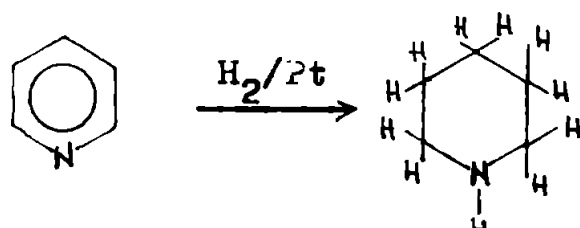


Dianionul este stabilizat prin rezonanță :



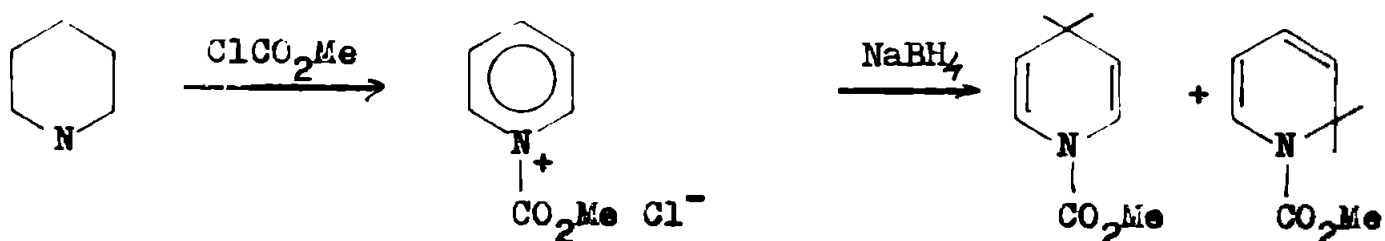
iar pre dusul de reducere se poate opri la prima treaptă /3,37/, la reducerea cu sodiu și etanol în amoniac lichid, dar usual reducerea continuă la 1,2,5,6-tetra hidropiridină sau chiar la piperidină /4,38/. Mai pot avea loc reduceri cu zinc în acid acetic, cu staniu și acid clorhidric, cind se obțin piperidine, pe lîngă tetra hidropiridine /4/.

O altă categorie importantă de reduceri este aceea în condiții de cataliză heterogenă, reduceri care se conduc în condiții asemănătoare cu sintezele heterociclului 2,2'-bipiridilic, care se vor descrie în paragraful următor. În cazul reducerilor catalitice se remarcă reactivitatea mult mărită a piridinelor față de benzen și omologii. Astfel, în reducerea catalizată heterogen cu platina se poate lucra în condiții foarte blînde; reacția

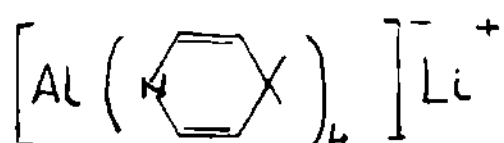


are loc la presiunea atmosferică și la temperatură ambientă /39/. Se lucrează în prezență acidului acetic, apă, acid trifluoracetic, constatăndu-se un efect catalitic proporțional cu pH-ul. În prezență paladiului depus pe cărbune care este un catalizator mai blînd de hidrogenare, piperidinele se produc la temperaturi de 70-80°C și 3-4 atm.

In literatură se găsesc referiri și la reduceri cu hidruri. Borohidrura de sodiu nu poate reduce piridinele /3/, reduce însă sărurile de piridinu :

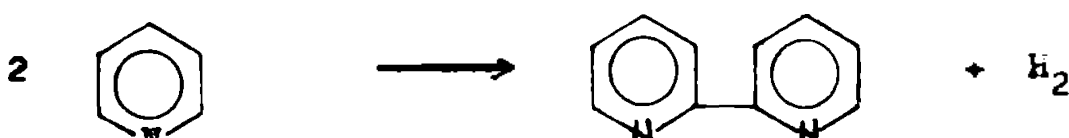


în timp ce hidrura de litiu-aluminiu dă un aduct cu patru molecule de piperidină /41/ :



### 2.6. Reacții de dehidrogenare catalitică cu formare de bipiridili

Reacțiile de dehidrogenare catalitică a piridinei și a omologilor prin cataliză heterogenă decurg cu formarea în exclusivitate a izomerului 2,2' :



Reacția s-a bucurat de viu interes, ea ducând la procedee industriale. Încercările diversilor autori au fost cuprinse în articole de sinteză, în studii monografice /2,53/. Subiectul nefiind decât adiacent cu cel al prezentei lucrări ne vom referi doar pe scurt la el.

Se cunosc dehidrogenări catalitice utilizând ca și catalizatori nichelul Raney, nichel suportat pe smid de aluminiu, sau triclorura de fier anhidră, sau alte cloruri de metale grele.

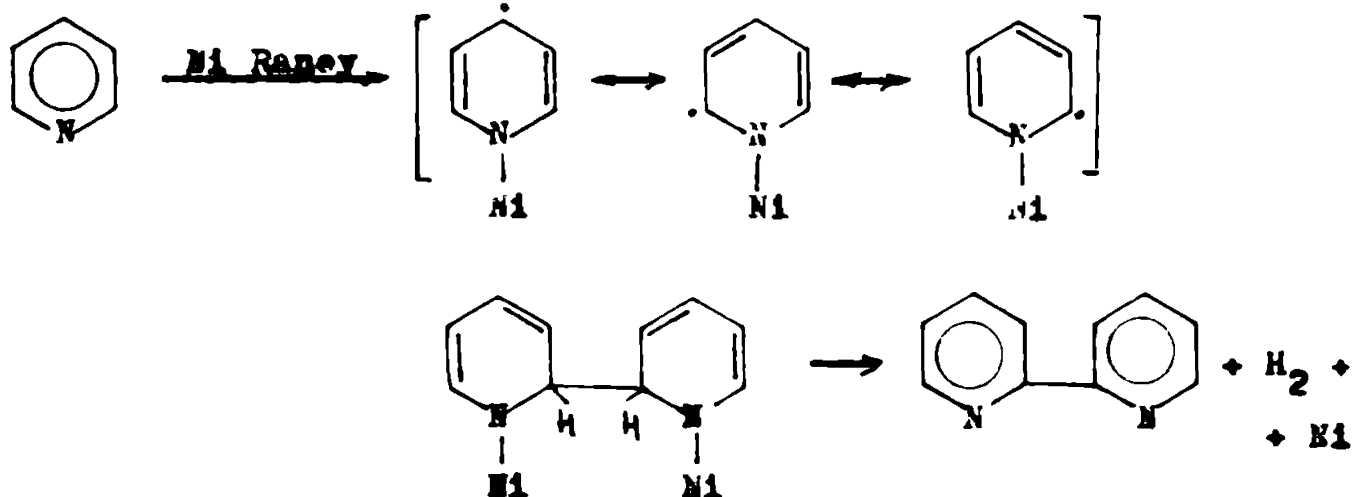
In casul dehidrogenării pe nichel Raney s-a formulat /23/ următoarea ipoteză menită să explice formarea 2,2'-bipyridilului :

- are loc chemisorția piridinei pe suprafața nichelului cu formarea unor legături între atomul de azot al heterociclului și atomii de nichel ;

- are loc un transfer de electroni de la metal la heterociculul pozitivat ;

- are loc coligarea a două nucleo active la nivelul pozițiilor 2 ;

- are loc dehidrogenarea speciei formate urmată de desorbția bipyridilului și a hidrogenului :



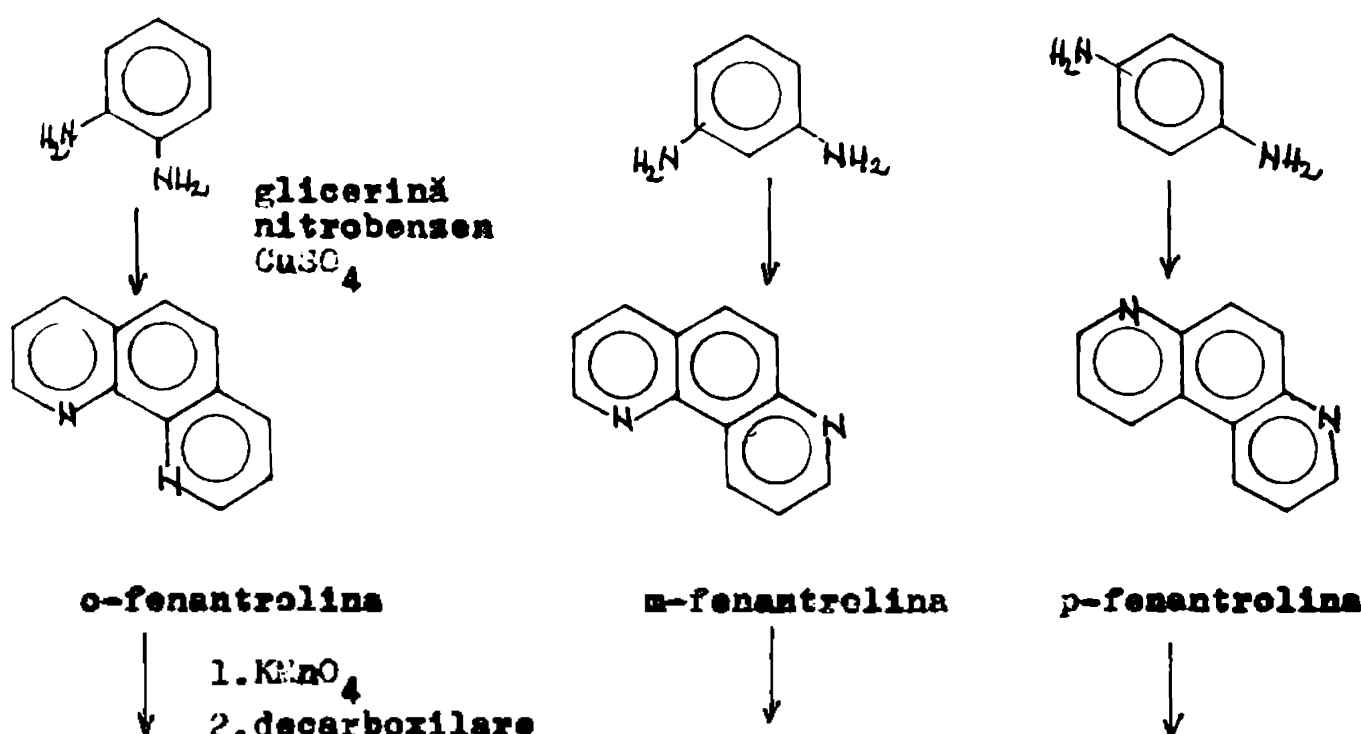
Reacția are loc la temperatura de fierbere a piridinei, urmărindu-se o conversie modestă de cîteva procente, fapt care mărește durata de viață a catalizatorului, care în general este foarte scurtă, având loc o otrăvire a catalizatorului de către produsul de reacție.

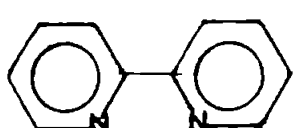
O altă metodă de obținere a izomerului 2,2'-bipiridilic care a suscitat interes în perioada anilor 1930 /43-49/, constă în dehidrogenarea piridinei sub influența clorurii ferice anhidre, sau a altor halogenuri de metale grele :  $\text{CoCl}_3$ ,  $\text{Cu}_2\text{Cl}_2$ ,  $\text{WCl}_6$ ,  $\text{MoCl}_5$ ,  $\text{SnCl}_4$ . Condițiile de reacție sunt drastice :  $330-350^\circ\text{C}$  și 50 at, rendamentele medii, în jur de 50%. Metoda nu a fost industrializată.

### 2.7. Alte metode de obținere a bipiridililor

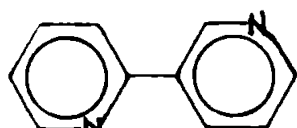
Reacțiile ce urmează să fie enumerate în paragraful de față nu constituie metode generale de obținere și nici nu au vreo importanță practică deosebită. Ele au fost incluse în prezentul studiu pentru întregirea imaginii asupra sintezei bipiridililor.

Pornindu-se de la o-, m-, p-fenilediamină se obține prin sinteza Skraup /6,51/ heterociclorile fenantrolinice. Prin oxidarea acestora cu permanganat de potasiu se obțin acizi dicarboxiliici de bipiridine. Acestea din urmă se pot decarboxila la heterociclul bipiridilic respectiv.

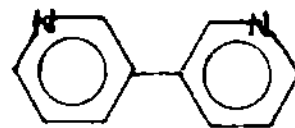




2,2'-bipiridil

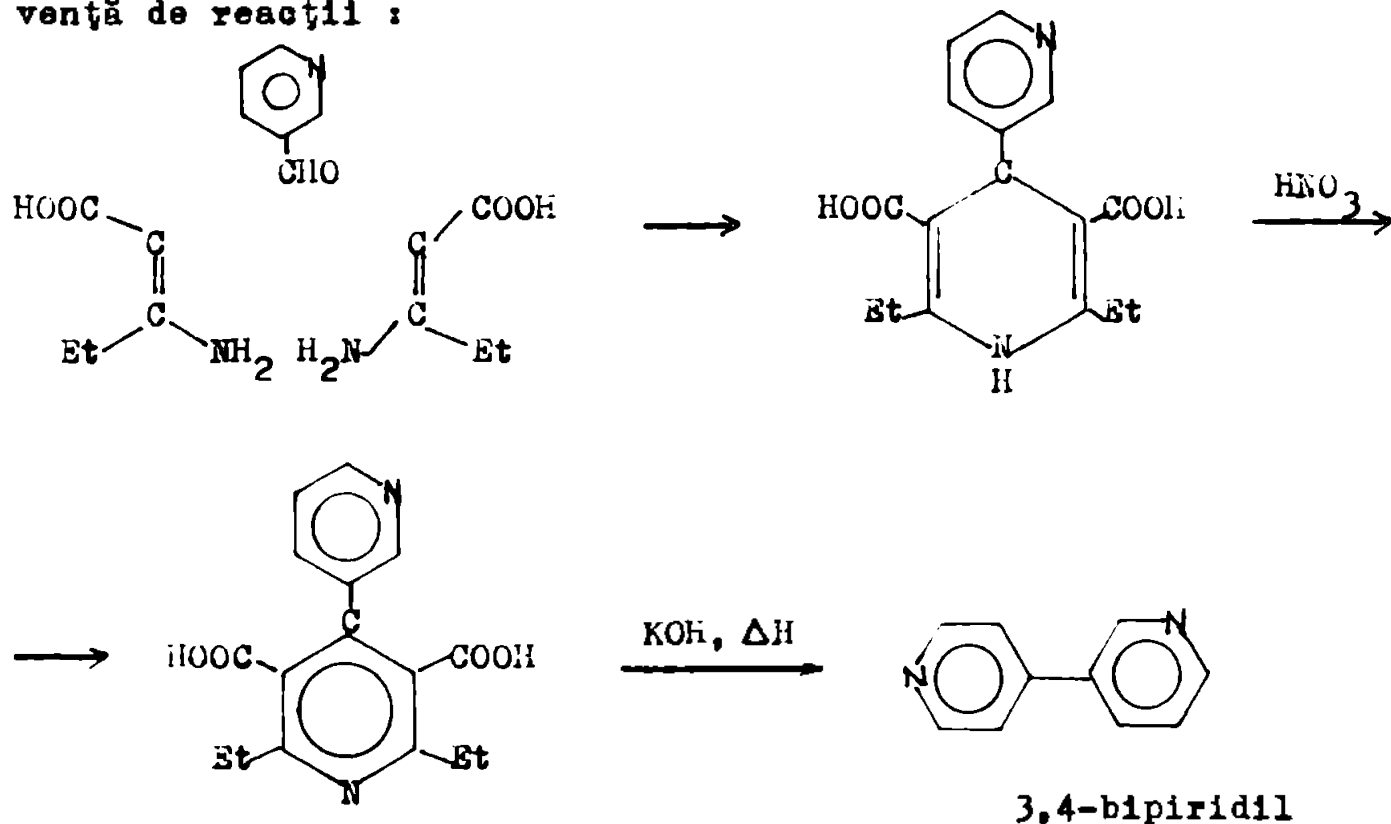


2,3'-bipiridil



3,3'-bipiridil

O altă sinteză a unui heterociclu bipiridilic a fost realizată de Kuffner și Straherger /50/ având următoarea secvență de reacții :



In ceea ce privește reacția de decarboxilare a acizilor carboxil- și dicarboxilbipiridilici ce se formează în sinteze ca cele enumerate anterior, sau obținuți prin oxidarea catenelor laterale ale omologilor, trebuie remarcat că între  $150-250^{\circ}\text{C}$ , decarboxilările decurg cu viteză bună /4/. Se obisnuiește conducerea decarboxilării prin refluxare cu piridină (uneori cu urme de cupru) iar în cazuri mai dificile refluxarea cu chinolină. Decarboxilările se fac ~~în următoarea secvență~~ în ordinea în care heterociclul piridinic poate stabiliza sarcina negativă ce se formează în cursul reacției de decarboxilare.

## 2.8. Concluzii

Studiul bibliografic întreprins ne-a orientat atenția în mod deosebit înspre metoda de sinteză a intermediarului 4,4'-bipiridil, prin metalarea piridinei cu metale reactive (sodiu) urmată de oxidare. Această concluzie se sprijină pe de o parte pe ampioarea pe care o iau studiile în această direcție cît și bogăția literaturii de brevete investigate. Decizia de a lucra în această direcție se sprijină într-o oarecare măsură și pe materiile prime ce se găsesc în țară.

Totuși trebuie remarcat că elaborarea unei tehnologii industrializabile originale, implică aspecte de mare complexitate, cunoscut fiind cît de largi săt descrise condițiile de lucru în literatura de brevete. De asemenea s-a pus problema realizării unei tehnologii originale, care să nu fie atacabilă pe baza priorităților brevetelor existente.

In acest sens s-a căutat și găsit o soluție tehnică, ale căror detalii vor fi expuse în capitolul 3 al prezentei lucrări.

### 3. CONTRIBUTII LA INGINERIA UNOR REACTII ORGANOMETALICE DE SINTEZA A 4,4'-BIP PIRIDILILOR

#### 3.1. Introducere

Reacțiile de obținere în laborator sau industrial a diver-șilor bipiridili izomeri au dobândit o mare importanță practică și comercială odată cu introducerea ierbicidelor cunoscute sub denumirile de paracuat (paraquat, Gramoxone) și dicuat (diquat, Reglone), derivate din 4,4'-bipiridil, respectiv din 2,2'-bipi-ridil. Produsii comercializați pe baza acestor substanțe active, se folosesc ca ierbicide totale și ca defoliante la unele culturi industriale, cartofi, bumbac etc.

Unele preocupări ale noastre în legătură cu obținerea pe cale industrială a paracuatului sănt cuprinse în lucrarea de față.

Soluția tehnică propusă constituie totodată conținutul brevetului "Procedeu pentru prepararea diclorurii de 1,1-dimetil-4,4'-bipiridiliu" /59/.

In acest brevet se înălătură unele dezavantaje ale proce-deselor cunoscute în ceea ce privește randamentul scăzut și se-selectivitatea redusă în obținerea izomerului 4,4', prin utilizarea cosolventului dipolar-aprotic HMPT /60/. În soluția tehnică pro-pusă se prepară o dispersie fină de sodiu metalic într-un solvent organic inert, de exemplu hexan, xileni, benzine, la temperaturi superioare temperaturii de topire a sodiului (și la presiunea co-respondătoare, în cazul utilizării unui solvent cu punct de fier-bere mai scăzut). Această suspensie se introduce peste solventul HMPT, care dizolvă o anumită cantitate de sodiu. În continuare se introduce piridina care reacționează cu sodiul în prima etapă de reacție. După terminarea reacției, care are loc după un timp de perfectare de 1-2 ore, se trece la faza următoare, care constă în oxidarea piridinei sodate cu oxigen molecular sub o pernă de gaz inert.

Tehnologia prevede în continuare separarea masei de reac-

tie, care se face în mai multe faze și operații consecutive. În prima fază se precipită și se aduce sub o formă filtrabilă hidroxidul de sodiu (și oxidul de sodiu) prin diluarea masei de reacție cu fractie hexanică sau benzină de extracție. Dată separarea precipitatului prin filtrare se trece la separarea și recuperarea solventului și a piridinei nereacționate, prin distilare simplă. Ambele se recirculă în procesul tehnologic preconizat. Soluția de bipiridil în HMPT (lucrând după rețeta expusă, nu se obține decât izomerul 4,4' în cantități sensibile, ceilalți izomeri nu se generează) se prelucrează în continuare prin cuaternizare cu clorură de metil la 1-2 at și 100-120°C. Produsul de reacție impurificat cu derivat monometilat precipită ca o masă cristalină brună, ce se separă prin filtrare, se spală cu benzină și apoi se usucă în condiții adecvate. Solventul HMPT se recuperează prin distilare în vid și apoi se recirculă la faza de sodare. Ca variantă se prezintă separarea bipixidilului prin distilarea în vid a HMPT-ului, reluarea rezidiului, care conține bipiridil, în apă fierbinte și efectuarea cuaternizării în mediu aproape la fierbere, obținindu-se cu randament aproape cantitativ soluția apoasă de diclorură de paracuat. Produsul nu se mai separă din apă ci se condiționează ca atare spre a fi folosit ca ierbicid.

Procedeul brevetat ridică cîteva probleme cu a căror rezolvare ne-am preocupat mai în detaliu. Astfel, s-a putut observa la unele sodări, apariția fenomenului de aglomerare, ce va fi descris în subcapitolul 3.2, odată cu un model adecvat tratării sale cît și a posibilităților de înlăturare. Problemele legate de conversie și randament, care deși au valori superioare celor date în literatură, fiind departe de cele teoretice, ne-au îndrumat spre unele investigări legate de mecanismul reacției. Acestea sunt expuse în subcapitolul 3.3 al tezei. Problemele ce le ridică oxidarea amestecului de reacție, denumit conventional piridină sodată se prezintă în subcapitolul 3.4 al tezei. Acestea sunt în primă instanță probleme legate de mersul reacției de oxidare, mers pe care l-am simulat la calculator. În modul acesta s-a decelat faza periculoasă, cînd intermediarii peroxidici ating concentrații periculoase. Pe lîngă descrierea reactorului de oxidare se sugerează și soluția sigură : parametrii de conducere a reacției care elimină pericolul de explozie.

### 3.2. Studiu asupra tendinței de aglomerare a sodiu-lui dispers la reacția de sodare a piridinei

#### 3.2.1. Prezentarea problemei

Sistemele și modelele ce stau în atenția chimistilor și a inginerilor chimici, (vezi anexa 1), au în covârșitorarea lor majoritate un comportament determinist. Prin crearea și menținerea unor condiții bine definite (ceea ce nu este întotdeauna ușor), se scontează un rezultat determinat univoc, rezultat ce se reproduce în limita unor erori experimentale). Influența ero-rilor experimentale, de prelevare și prelucrare a datelor, se consideră deseori mică, chiar neglijabilă, alteleori se recurge la medieri pentru atenuarea factorului aleator. Caracterizarea de-terministă a sistemelor și modelelor, are o motivație profundă : se poate conta pe rezultatul ce va fi obținut în viitor. Pe de altă parte așteptarea nici nu este îngelată în cele mai multe ca-zuri : sistemele în care au loc procese chimice în laborator și în tehnică sunt sisteme mari (termodinamice), caracterizate de o oarecare stabilitate macroscopică, datorită faptului că sunt constituite dintr-un număr foarte mare de particole (atomi sau molecule), a căror transformare este surprinsă prin valori medii (valori statistice). În incidenta legilor termodinamice, fenome-nele decurg după modele diferențiale (transformările sunt conti-nue, netede, fără salturi și univoce). Cu toate acestea nu este necunoscut nici comportamentul nedeterminist (la scară macroscopi-că) a sistemelor în care au loc transformări fizico-chimice. Acestea sunt fenomene (sisteme) la care, cu toate eforturile de a reproduce condițiile de intrare, răspunsul nu este unic, ba uneori este chiar calitativ diferit. Tratarea unui astfel de caz este propusă în capitolul de față (urmând lucrarea /50/ comunica-tă la Primul Congres Național de Chimie, apărută în preprint /51/ și în /52/).

Este vorba de reacția de sodare a piridinei (descrisă în subcapitolul 3.1 și 3.1), cu sodiu fin dispers în HMPT. Cu toate avantajele consemnate ale acestei reacții (subcapitolul 3.1) s-a constatat în laborator că uneori în loc de a reacționa cantitativ, sodiul fin dispersat suferă o aglomerare, cu formare de bulgări

metalici de dimensiuni variabile, la temperaturi de  $40-50^{\circ}\text{C}$ , mult sub temperatura de topire a sodiului. Astfel o cantitate de sodiu se sustrage reacției cu piridina, fapt ce influențează negativ conversia acesteia și ridică probleme deosebite în legătură cu distrugerea cantității de sodiu nereacționate.

Din observații prin optica uzuală, clasică, nu s-a putut decela o regularitate privind atât incidenta aglomerării, momentul cînd apare în cursul reacției etc., motiv care ne-a determinat că abordăm studiul sistematic al fenomenului. Pentru aceasta s-au efectuat experimentări în condiții cât mai controlabile (în ceea ce privește mersul reacției de sodare), experimentări descrise în subcapitolul 3.2.4. Ca model matematic și totodată metodă de prelucrare a datelor obținute propunem un model statistic al analizei varianței multidimensionale. Această variantă a analizei dispersionale, relativ recentă, este în curs de diversificare și nu a fost încă utilizată în studiul unor procese chimice, pînă în momentul în care am abordat-o.

Cu modelul propus se reușește abordarea unor fenomene cu comportare aleatoare, cu următoarea precizare : se poate testa o ipoteză a separabilității celor două clase ale modelului unifactorial (în Cap. 3.2.3 se precizează terminologia analizei varianței), pe baza unei mulțimi de caracteristici (parametrii măsurăți). Dacă clasele sunt separabile, înseamnă că fie un parametru singular sau mai degrabă mai mulți la un loc permit o discriminare a claselor, ceea ce permite diagnosticarea fenomenului (pe baza parametrilor semnificativi) și cu aceasta fenomenul nu mai este pur aleator, sau are un caracter parțial aleator. Cînd discriminarea nu reușește, cele două clase sunt neseparabile și fenomenul rămîne pur aleator, urmîndu-se extinderea experimentării prin înglobarea de noi măsurători, referitoare la alte caracteristici ce pot influența evoluția fenomenului.

### 3.2.2. Aspecte ale comportării aleatoare în îngineria chimică

Acest subcapitol are scopul de a ilustra faptul că sunt cunoscute unele aspecte de comportament aleator în ingineria chi-

mică, arătindu-se și modul lor de abordare (modelele uzuale). Pe de altă parte, se vor cita unele cazuri în care comportamentul aleator este descris, cazuri care însă numai în parte au fost supuse unui studiu sistematic.

Un astfel de domeniu de abordare a comportării aleatoare este circulația fluidelor prin aparatelor și utilajele chimice. În acest caz problema este nu de a ști calea fiecărei molecule (care este un fenomen aleator), ci la un nivel superior : calea unor aggregate mai mult sau mai puțin definite rămâne nedeterminată. Modelele uzuale ale comportării la circulație sunt modele probabiliste : se caracterizează nu aggregate individuale ci totalitatea agregatelor și se utilizează pentru aceasta funcții de distribuții, de exemplu :

I - funcția de distribuție a vîrstelor în recipient

E - funcția de distribuție a vîrstelor la ieșire

Informații referitoare la aceste funcții de distribuții se obțin experimental prin tehnica trăsorilor (radioactivi, coloanți, salini etc.). Astfel, răspunsul la semnalul /muls. /13, 45/ al unui aparat, este identic cu funcția de distribuție a vîrstelor la ieșire, răspunsul la semnalul treaptă se poate pune în corespondență nemijlocită cu funcția de distribuție a vîrstelor agregatelor din incintă.

Aceste funcții de distribuții, care caracterizează comportamentul aleator la circulația fluidului sunt în principiu necunoscute pentru diferitele tipuri de utilaje și ca atare se determină prin măsurători experimentale. La unele tipuri de apарат apare o comportare la circulație ce se poate modela matematic simplu : sunt modelele cu "curgere ideală", tubul cu deplasarea tip piston, vasul cu amestecarea perfectă. În majoritatea covîrșitoare a cazurilor sunt necesare modele ale circulației mai complexe ce se stabilesc a posteriori pe baza analizei funcției de distribuție a vîrstelor în recipient sau la ieșirea din recipient. Un astfel de cas am analizat în lucrarea "Analiza varianței aplicate la un reactor continuu tubular operat în regim uniform și pulsator" /54/.

Un alt domeniu de abordare al comportării aleatoare în ingineria chimică este acela al fiabilității utilajelor, aparatelor și instalațiilor. Această calitate este definită de STAS 8174/77 ca "aptitudine a unui dispozitiv de a-și îndeplini funcția specifică, în condiții date și de-a lungul unei durate date,

termenul de dispozitiv desemnează aici orice element component, bloc, ansamblu, echipament, subsistem sau sistem, ce poate fi considerat de sine stătător și care poate fi încercat individual". Fiabilitatea uzează de aceeași logică binară pe care am invocat-o și la descrierea comportării aleatoare al reacției de sodare a piridinei : dispozitivul poate avea două stări net diferite și care se exclud : funcționează normal sau este defect. Fiabilitatea dispozitivelor, aparatelor și a sistemelor se modelează în mod ușual cu ajutorul modelelor probabilistice (concepte probabilistice). Timpul  $t_1$  (durata) la care are loc prima defectare a unui astfel de dispozitiv este o variabilă stocastică care permite introducerea unei funcții de fiabilitate :

$$R(t) = P \{ t_1 > t \}$$

Faptul că o defectare are loc la un moment  $t_1 \leq t$  se exprimă printr-o altă funcție de repartiție, aceea a timpului de funcționare :

$$F(t) = P \{ t_1 \leq t \}$$

"Utilizând definițiile uzuale ale teoriei probabilităților se poate modela densitatea de probabilitate a timpului de funcționare și intensitatea de defectare (rata de defectare) :

$$Z = - \frac{R'(t)}{R} = - \frac{d}{dt} [\ln R(t)] = \frac{F'(t)}{1 - F(t)}$$

Se utilizează modele probabilistice și o serie de tehnici ce decurg din ele : metoda momentelor distribuțiilor, considerarea unor repartiții utile precum repartiția normală, log-normală, Poisson, Weibull. Apoi se dau demersurile de obținere a fiabilității unor sisteme complexe pe baza fiabilității elementelor acestora cît și metodele experimentale de obținere a funcțiilor de distribuție caracteristice. Toate acestea sunt descrise în tratate de fiabilitate /81,82,83/ și se pot caracteriza ca tratarea formală a fiabilității constituind un domeniu deosebit de util, în plină dezvoltare a ingineriei în general și al celei chimice în special.

Continuăm investigarea aspectelor de comportare aleatoare prin enumerarea unor exemple de astfel de comportări,

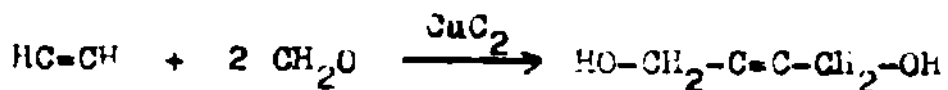
pe care le-am identificat după modelele descriptive ale lor.

Aștfel, se observă comportare aleatoare la multe sinteze de compuși organometalici din metale reactive și compuși organici adecvați. Deosebi nu are loc începerea reacției la adăugarea de metal (de exemplu, la grignardări /84/, dar și în alte cazuri - vezi subcapitolul 2.1). Se cunosc o serie de măsuri pentru facilitarea startului reacției, dar toate clachează în unele cazuri.

Alt caz important îl constituie cristalizarea, mai ales în laborator. Se poate întâmpla, ca la obținerea și separarea unui nou compus, acesta fiind adus într-un solvent pentru recristalizare să nu se obțină cristalizarea sa, iar compusul (relativ) pur să fie obținut sub formă de ulei viscos, nereușind cristalizarea sa chiar dacă se știe că de fapt produsul ce urmează a fi obținut este cristalin. Depinde deci de o întâmplare (pe care o putem ajuta prin însămîntare cu cristale, cind acestea sunt disponibile) dacă o topitură sau soluție suprasaturată, metastabilă depune sau nu cristale stabile și forma acestora. Se știe că această stare metastabilă poate fi de foarte lungă durată, de exemplu la sticlă.

Un comportament aleator l-am decelat și la procedeul de obținere a clorurii de var (după Ullmann \*) vol.5, pag.515), prin clorurarea hidroxidului de calciu. În utilajele de clorurare cu amestecare mecanică se observă uneori aglomerări și formare de cruste care pot duce la distrugerea dispozitivelor de amestecare. Aceste fenomene se pun în legătură cu viteza de clorurare care poate duce la urcarea prea rapidă a temperaturii cind uneori masa se transformă din pulverulentă în aglomerație. Formarea aglomerelor se pune în legătură și cu capacitatea de legare a apelor a clorurii de calciu și a hipocloritului, față de capacitatea mai redusă de legare a apelor de către sărurile bazice intermediiare.

La reacția de sinteză a butindiolului (Ullmann \*) vol.3, pag.117) :



se întâmplă uneori să se obtureze tot reactorul prin formarea de cupren. Pentru reducerea pericolului de obturare se utilizează inhibitori de formare a cuprenului (I, Hg, Si), apoi se caută un

\*) toate indicațiile se referă la ediția a III-a

mers cît mai neted al reactorului, cu eliminarea pe cît posibil a unor "puncte calde", unde se poate iniția formarea cuprului, care apoi nu mai poate fi stăvilită datorită caracterului autocatalitic al acestei reacții.

La obținerea percloratului de potasiu din var, clorură de potasiu și clor (Ullmann, vol.5, pag.530) se pot produce explozii spontane. Pericolul de descompunere se diminuează dacă se menține în tot timpul preparării concentrația de clor activ sub 1,6 g/l.

La obținerea acidului acetic și a altor acizi carboxilici din aldehyde prin oxidare cu oxigen molecular (Ullmann, vol.6, pag. 781) se distinge un mers normal, cînd la presurizare cu oxigen, presiunea scade în scurt timp, concomitent cu creșterea temperaturii. Uneori poate scădea presiunea, fără a fi afectată temperatura în care caz apare un pericol mare de explozie prin acumulare de compuși peroxidici și hidroperoxidici. Pentru diminuarea pericolului se utilizează catalizatori de oxidare, săruri organice de cobalt și se preferă conducerea continuă a reacției.

Un exemplu îl putem da și din industria alimentară (Ullmann, vol.8, pag.26). Se constată că făina are o comportare diferită în tehnologia de coacere. "Capacitatea de coacere" depinde de unele proprietăți coloidale greu de caracterizat, care însă se pot manifesta într-un mod neplăcut în timpul coacerii. S-a constatat că aceste calități pot fi în oarecare măsură influențate prin adăosuri de cantități foarte mici de săruri oxidante : bromati, persulfati, perborati. Cantități mai mari din nou înrăutățesc capacitatea de coacere. Nu se cunoaște nici cauza acestui comportament și nici mecanismul de acțiune a adjuvanților enumerate.

La reacția de acetilare a celulozei (Ullmann, vol.5, pag. 187), reacție ce se efectuează cu celuloză uscată parțial și anhidridă acetică în prezența acidului acetic și a acidului sulfuric, se constată că stăpînirea reacției, reproducibilitatea cît și calitatea produsului nu sunt mulțumitoare. Calitatea produsului depinde de factori necontrolabili.

Asemănări în comportare se pot observa și în descrierile oxidărilor cu aer a toluenului la acid benzoic (Ullmann, vol.4, pag.276), oxidarea butandiolului cu acid azotic la acid succinic (Ullmann, vol.4, pag.317) și oxidarea cumenului cu oxigen la

hidroperoxid de cumen și apoi scindarea în fenol și acetona (Ullmann, vol.13, pag.435).

La obținerea nitratului de celuloză (Ullmann, vol.12, pag. 793) și a altor compuși utilizabili ca explozivi au loc deseori descompuneri "spontane", cu explozii care distrug instalații și periclităză viața operatorilor. Aceste substanțe labile pot amplifica unele cauze minere, o picătură de apă, o undă de soc producând efectele distructive cunoscute.

### Descrierea modelului de analiză a variantei multidimensională

Analiza variantei (sau analiza dispersională) este o metodă statistică de analiză a datelor de observație de natură aleatoare care depind de mai mulți factori cu acțiune concomitentă, cu scopul de a determina efectele factorilor cantitativi sau calitativi, estimându-le influența. Analize variantei se completează într-un mod harmonic cu analiza de discriminare, care se ocupă de separarea diverselor ansambluri și de decizia în legătură cu apartenența elementelor la ansambluri.

Noțiunile de bază ale acestui domeniu al statisticii sunt: individul reprezentă o unitate bine definită, experimentală, de exemplu un om, un animal, o plantă, un utilaj determinat, un produs, o experiență. Mărimile obținute prin măsurarea indivizilor au valori aleatoare : sunt realizări ale unor mărimi aleatoare despre căre se presupune că au repartiția constantă, determinată de factorii care au influență asupra individului.

Mărimile variabile pentru care se execută măsurători se numesc caracteristici sau parametrii individuali. Valorile lor actuale (rezultat al măsurătorilor) se numesc realizări, valori observate sau valori măsurate. Analiza variantei unidimensionale introdusă de R.A.Fischer, caracterizează individul printr-o singură valoare măsurată, printr-un scalar, în timp ce analiza multidimensională a variantei extinde reprezentarea individului statistic printr-un vector de o dimensiune oarecare p. Fiecare caracteristică individuală constituie o componentă a vectorului, iar diversele componente nu sunt în general stocastic independente, deși indivizi sunt vectorii stocastic independenti (presupuneri de bază). Caracteristicile sunt presupuse de obicei variabile

continu, distribuite normal (în cadrul analizei varianței).

In afara de caracteristicile în analiza varianței un rol important îl joacă factorii. Aceștia sunt de natură cantitativă, desori discretă, însă și de natură calitativă, necuantificabilă, redînd diverse stări, influențe, de exemplu prezența sau absența unui anumit tratament.

Factorii caracterizează anumite clase sau nivale, iar fiecare individ face parte dintr-o clasă și numai din una singură. În funcție de numărul de factori luati în considerare se distinge analiza varianței unifactorială sau multifactorială. În acest din urmă caz se ia în considerare concomitent influența mai multor factori, obținindu-se scheme de clasificare cu celule. Astfel, dacă se iau în considerare doi factori cu cîte două nivale fiecare, se obțin patru celule, Mai multe celule corespunzătoare unui factor se numesc bloc. Un plan de experiențe se numește complet sau incomplet (clasificarea este completă sau ierarhică) în funcție de faptul că în fiecare celulă există sau nu, cel puțin un individ măsurat. Schema este echilibrată dacă în fiecare celulă s-a efectuat același număr de experiențe. În cazul analizei multifactoriale se atinge și problema interacțiunii factorilor.

In analiza varianței se mai disting încă două alternative : se vorbește de modelul I (de tipul I) cînd se admit efecte constante pe lîngă cele aleatoare, și de modele de tipul II cu efecte aleatoare. În scheme multifactoriale sunt posibile și modele mixte.

În ne propunem aici o introducere în schemele analizei varianței în toată diversitatea lor : acesta este un domeniu acoperit de tratate de statistică /61,62/ și de monografii /63,66/, ci vom intra doar în detaliile necesare utilizării modelului analizei varianței în scopul expus în capitolul introductiv 2.1.

Pentru aceasta ne propunem să analizăm cazul cel mai simplu : analiza monofactorială cu două nivale, analiză ce o vom expune mai întîi pentru cazul monodimensional.

In acest caz indivizii fac parte din două clase, clasa 1 și clasa 2 în număr de  $n_1$  respectiv  $n_2$  din fiecare clasă, fiecare individ fiind caracterizat prin măsurarea unei caracteristici (pentru început). Calculurile ce se efectuează sunt cele conform tabelului de mai jos. Modelul tratat (cu efecte fixe) are ecuația :

$$(1) \quad y_{ij} = u + a_1 + \epsilon_{ij}$$

(pentru notații vezi tabelul de la pag. 58).

Descompunerea sumelor de patrate și a gradelor de libertate pentru analiza dispersională cu două clase

Simbol	Formulă	Grad de libertate	Dispersie
$SP_1$	$(y_{1.} - y_{2.})^2$	$f_1 = 1$	$SP_1/l$
$SP_2$	$\sum (y_{1j} - y_{1.})^2 + \sum (y_{2j} - y_{2.})^2$	$f_2 = n_1 + n_2 - 2$	$SP_2/(n_1 + n_2 - 2)$
Total	$SP_1 + SP_2$	$n_1 + n_2 - 1$	

Analiza variantei se bazează pe normalitatea distribuției variabilelor aleatoare, omogenitatea dispersiilor în clase și aditivitatea efectelor, factorilor. Descompunerea varianței totale în suma varianței între clase și în interiorul claselor, se bazează pe următoarea egalitate (valabilă și în cazuri mai complicate) :

$$\begin{aligned} \sum \sum (x - x_{..})^2 &= \sum \sum (x - x_{..} + x_{..} - x_{..})^2 = \sum \sum [(x - x_{..})^2 + (x_{..} - x_{..})^2 + \\ &+ 2(x - x_{..})(x_{..} - x_{..})] = \sum \sum (x - x_{..})^2 + n \sum (x_{..} - x_{..})^2 + \\ &+ 2 \sum (x_{..} - x_{..}) \sum (x - x_{..}) \end{aligned}$$

și datorită faptului că  $\sum (x - x_{..}) = 0$ , avem :

$$\sum \sum (x - x_{..})^2 = \sum \sum (x - x_{..})^2 + \sum n (x_{..} - x_{..})^2$$

Aici operatorul  $\sum$  se referă la indivizi dintr-o clasă, iar al doilea  $\sum$  la clase (când sunt luati de la dreapta la stînga). Care este utilitatea acestei descompuneri a varianței ? Efectuind împărțirea dispersiilor corespunzătoare :

$$(2) \quad \tilde{s} = \frac{SP_1/l}{SP_2/(n_1 + n_2 - 2)}$$

se obține o mărime care permite testarea următoarelor ipoteze sta-

tistice :

$$(3) \quad H_0 : y_1 = y_2 \quad \text{sau} \quad a_1 = a_2$$

$$(4) \quad H_1 : y_1 \neq y_2 \quad \text{sau} \quad a_1 \neq a_2$$

Comparind valoarea obținută a reportului  $\tilde{F}$  cu cuantilele funcție de distribuție  $F$  a lui Snedecor (tabelate), cu gradele de libertate corespunzătoare, atunci cînd :

$$\tilde{F} < F(f_1, f_2, P)$$

$$f_1 = 1$$

$$f_2 = n_1 + n_2 - 2$$

se trage concluzia că la probabilitatea  $P$ , aleasă convențional de 95, 99 sau 99,9%, este valabilă ipoteza  $H_0$ , media celor două clase este egală, clasele nu diferă. Cu alte cuvinte, obținind în  $P$  la o sută de cazuri, raporturi de dispersie  $F$  mai mici decît valoarea tabelată, dacă clasele nu diferă, și doar 100- $P$  cazuri <sup>cu</sup> valori mai mari. Cu cît sintem mai pretențioși (riscăm mai puțin), cu atît  $P$  se alege mai aproape de certitudine, adică de 100%.

Invers, dacă reportul  $\tilde{F}$  depășește  $F$  calculat

$$\tilde{F} > F(f_1, f_2, P)$$

atunci inclinăm spre ipoteza alternativă  $H_1 : y_1 \neq y_2$ , mediile caracteristicilor în clasa 1 și 2 nu coincid, ceea ce se poate afirma în "probabilitate". Probabilitatea ca

$$\tilde{F} > F(f_1, f_2, P)$$

să se realizeze, deși  $u_1 = u_2$  este egală cu 100- $P$  ( $P$  exprimat în procente).

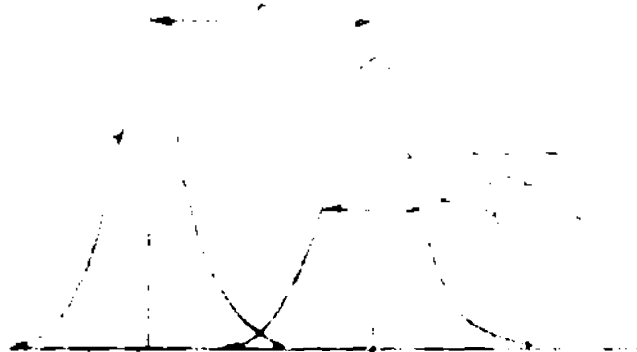
Dacă avem următoarea situație

$$F(f_1, f_2, 95\%) < \tilde{F} < F(f_1, f_2, 99\%)$$

adică raport semnificativ la pragul de probabilitate 95%, și nesemnificativ la pragul de 99%, se poate opta pentru continuarea experimentărilor pînă la lămurirea dilemei. Situația se poate reprezenta grafic după cum urmează :



Dispersia intre clase este  
cauză de dispersie în clase  
care pot fi separabile  
clasificare puțin eficientă



Dispersia intre  
clase și dispersia în clase  
care sunt neseparabile  
clasificare eficientă

Prin abordarea multidimensională, analogă celei unidimensionale, devine posibilă compararea unor clase de indivizi vectoriali, fiecare individ statistic fiind caracterizat printr-un vector de dimensiunea carecă p. Această trecere la dimensiuni superioare constituie un cîstig de fond, nu doar de formă, prin faptul că dacă nici un parametru (aspect singular) nu poate fi pus în legătură cu clasificarea considerată, un ansamblu <sup>p</sup>dimensional o poate susține, datorită interacțiunilor stocastice între componente.

Prin trecerea la vectori de dimensiune p calculul mediilor pe clase se face cu formulele vectoriale :

$$(5) \quad \bar{y}_{1.} = \frac{1}{n_1} \sum_{j=1}^{n_1} \bar{y}_{1j} \quad \text{etc.}$$

Păstrînd o analogie formală cu calculul sumelor de patrate de la cazul monodimensional, se calculează următoarea matrice :

$$(6) \quad H_{(p,p)} = \frac{n_1 n_2}{n_1 + n_2} (\bar{y}_{1.} - \bar{y}_{2.})(\bar{y}_{1.} - \bar{y}_{2.})'$$

H este o matrice de dimensiune p x p și se obține prin in-

multirea vectorilor considerați matrice coloană  $(y_1, -y_2)$  cu matricea linie obținută prin operația de transpunere  $(y)'$ . Produsul celor două matrici se efectuează cu algoritmul bine cunoscut al produselor matriciale. În mod asemănător se definește și matricea :

$$(7) \quad G = \sum_{k=1}^{n_1} (\bar{y}_{1k} - \bar{y}_{1.}) (\bar{y}_{1k} - \bar{y}_{1.})' + \sum_{k=1}^{n_2} (\bar{y}_{2k} - \bar{y}_{2.}) (\bar{y}_{2k} - \bar{y}_{2.})'$$

(p,v)

Procedeul de obținere a matricilor  $H$  și  $G$  din sumele analoge ale modelului monodimensional este un procedeu euristic însă mult mai practic decât acela de a considera ipoteza liniare generalizate și a deduce prin calcul matricial, matricile  $G$  și  $H$  (vezi /63, pag. 83/).

Procedind în modul acesta, se obțin în locul sumelor de patrate (pe clase și între clase) niște matrici care joacă un rol asemănător :  $H$ ,  $G$ . Constituie conținutul analizei variantei multidimensionale trecerea de la aceeași matrice la criteriile statistice uzuale.

Pentru aceasta se pornește de la trei cerințe fundamentale:

- Valoarea testului statistic în analiza multidimensională /63, pag. 61) a variantei să fie unic determinată de scheme și ipoteze statistice pe de o parte, de valorile experimentale aleatoare pe de alta (acestea determină matricile  $H$  și  $G$ , deci se cere ca testul să fie  $f(H, G)$ ).
- Testul statistic  $r(H, G)$  trebuie să fie invariant la orice transformare regulară  $R$  (care nu schimbă dimensiunea), în spațiul caracteristicilor de dimensiunea  $p$  :

$$f(R^T H R, R^T G R) = f(H, G)$$

Această cerință echivalează cu cuprinderea prin testul cantitativ a întregului spațiu al caracteristicilor  $y$ . Prin faptul că se cere invarianța la transformări regulate implică utilizarea valorilor proprii. Valorile proprii sunt tocmai mărimele invariante la transformări regulate : având matricile  $(H, G)$  și  $(H_1 = R^T H R, G_1 = R^T G R)$  echivalente, problemele de valori proprii

$$(H - \lambda G)\bar{x} = 0 \quad \text{cu valori proprii } k, k=1, \dots, p$$

$$(H_1 - \lambda G_1)\bar{x} = 0$$

au aceleași soluții, aceleași valori proprii, aceiași vectori proprii. Rezultă deci că testul trebuie efectuat asupra unei func-

ținuți depinzind de valorile  $g(\lambda_1, \lambda_2, \dots, \lambda_p)$ .

- Testul se cere a fi o funcție monotonă de  $\lambda_i$  depinzând de  $H$  și  $G$ .

Aceste trei cerințe nu permit o definire univocă a testului statistic. Diversii autori propun următoarele statistici (după /63, pag. 39/).

$$1. \quad \Lambda = \frac{|G|}{|H + G|} = \sum_{i=1} \frac{1}{1 + \lambda_i}$$

Wilks (1932), Hsu (1940)

$$2. \quad T^2 = \text{Sp}(HG^{-1}) = \sum_{i=1} \lambda_i$$

Lawley (1938), Hotelling (1951)

$$3. \quad v = \lambda_{\max}$$

N.Roy (1957)

In analizele efectuate am optat pentru testul cu statistică 2 urmărind opțiunea lui Ahrens și Läuter /63/.

Odată statistică fixată trebuie stabilită funcția și de distribuție, respectiv cuantilele asemănător ca la testul lui Snedecor cu funcția  $F$ .

In cazul testului prin funcția  $T^2$  el lui Hotelling se utilizează mai multe aproximări (ca de altfel și în cazul testului cu  $\Lambda$  sau  $\lambda_{\max}$ ). Aproximarea adoptată de noi tot după /63/ este redată mai jos :

$$T^2 = \text{Sp}(HG^{-1})$$

$\text{Sp}$  este operatorul de urmă.

Pentru această statistică avem o repartiție aproximativă  $F$

$$(8) \quad p = \frac{f_2 - p + 1}{f_1 p} \text{ Sp}(HG^{-1})$$

cu  $g_1$  respectiv  $g_2$  grade de libertate în cazul statisticii lui  $T^2$ , unde :

$$(9) \quad g_1 = \frac{f_1 p(f_2 - p)}{f_1 + f_2 - f_1 p - 1} \quad \text{cind } f_1 + f_2 - f_1 p - 1 > 0$$

$$(10) \quad g_2 = f_2 - p + 1$$

$$(11) \quad g_1 = \infty$$

$$(12) \quad g_2 = (f_2 - p + 1) - \frac{(f_2 - p - 1)(f_2 - p - 3)(f_1 + f_2 - f_1 p - 1)}{(f_2 - 1)(f_1 + f_2 - p - 1)}$$

$$\text{cind } f_1 + f_2 - f_1 p - 1 \leq 0$$

sici :  $f_1, f_2$  - gradele de libertate calculate ca la cazul unidimensional ;  
 $p$  - dimensiunea vectorului

Se mai cer satisfăcute condițiile  $f_2 \geq p + 2$ . În cazul utilizat de noi avem :

$$\begin{aligned} f_1 &= 1 \\ f_2 &= n_1 + n_2 - 2 \end{aligned}$$

deci satisfacem condițiile :

$$f_2 = n_1 + n_2 - 2 \geq p + 2$$

chiar la

$$p = 10.$$

De asemenea :

$$f_1 + f_2 - f_1 p - 1 = n_1 + n_2 - 1 - p - 1 > 0$$

Deci formulele de calcul ale gradelor de libertate utilizate de noi sunt :

$$(13) \quad g_1 = \frac{f_1 p(f_2 - p)}{f_1 + f_2 - f_1 p - 1} = \frac{p(n_1 + n_2 - p - 2)}{n_1 + n_2 - 2 - p} = p$$

$$(14) \quad g_2 = f_2 - p + 1 = n_1 + n_2 - 2 - p + 1 = \\ = n_1 + n_2 - p - 1$$

Recapitulînd, arătăm că statistica :

$$\tilde{F} = \frac{n_1 + n_2 - p - 1}{p} \text{Sp}(HG^{-1})$$

unde  $G^{-1}$  este matricea inversă a lui  $G$ .

$\text{Sp}$  este operatorul de urmă (suma elementelor diagonale), are o distribuție exact  $F$  (Fischer) cu  $g_1 = p$  și  $g_2 = n_1 + n_2 - p - 1$  grade de libertate.

Se obține în modul acesta un criteriu statistic de verificare a unor ipoteze multidimensionale, de exemplu :

$$(15) \quad H_0 : \bar{y}_{1.} = \bar{y}_{2.} \text{ dacă } \tilde{F} < F(p, n_1+n_2-p-1, P)$$

sau ipoteza alternativă

$$(16) \quad H_1 : \bar{y}_{1.} \neq \bar{y}_{2.} \text{ dacă } \tilde{F} > F(p, n_1+n_2-p-1, P)$$

Mărimea  $T^2 = \text{Sp}(HG^{-1})$  se ia ca măsură a gradului de separare ( $T^2$  este cu atât mai mare cu cât ipoteza nulă este încălcată mai puternic).

In analiza de discriminare se urmărește obținerea unor proprietăți noi, prin combinarea liniară a proprietăților măsurate, care să asigure o separare cel puțin la fel de bună a claselor. In cazul nostru se poate defini vectorul :

$$(17) \quad \bar{d} = \frac{1}{n_1 + n_2 - 2} S^{-1}(\bar{y}_{1.} - \bar{y}_{2.})$$

$$S = \frac{1}{n_1 + n_2 - 2} G$$

Dacă utilizăm acest vector la definirea următoarei forme liniare :

$$(18) \quad v = \bar{d} \cdot \bar{y} = d_1 y_1 + d_2 y_2 + \dots + d_p y_p$$

atunci oricărui vector (apartenind unui individ statistic) i se poate atinge un scalar efectuind combinația liniară dată de ecuația (18) cu ponderile obținute de ecuația (17).

Se poate arăta că în acest caz :

$$T^2(v) = T^2(y_1, y_2, \dots, y_p)$$

Intr-adevăr :

$$(19) \quad v_1 = (\bar{y}_{1.} - \bar{y}_{2.})' S^{-1} \bar{y}_{1.}$$

$$(20) \quad v_2 = (\bar{y}_{1.} - \bar{y}_{2.})' S^{-1} y_{2.}$$

$$(21) \quad Sv^2 = (\bar{y}_{1.} - \bar{y}_{2.})' S^{-1} (\bar{y}_{1.} - \bar{y}_{2.})$$

$$T^2(v) = \frac{1}{n_1 + n_2 - 2} \frac{n_1 n_2}{n_1 + n_2} (v_{1.} - v_{2.})^2 \frac{1}{Sv^2} =$$

$$= \frac{1}{n_1 + n_2 - 2} \frac{n_1 n_2}{n_1 + n_2} \frac{(y_{1.} - y_{2.})' S^{-1} y_{1.} - (y_{1.} - y_{2.})' S^{-1} y_{2.}}{(y_{1.} - y_{2.})' S^{-1} (y_{1.} - y_{2.})} =$$

$$= \frac{1}{n_1 + n_2 - 2} \frac{n_1 n_2}{n_1 + n_2} \frac{(\bar{y}_{1.} - \bar{y}_{2.})' S^{-1} (\bar{y}_{1.} - \bar{y}_{2.})}{(\bar{y}_{1.} - \bar{y}_{2.})' S^{-1} (\bar{y}_{1.} - \bar{y}_{2.})} =$$

$$= \frac{1}{n_1 + n_2 - 2} \frac{n_1 n_2}{n_1 + n_2} S_D(HS^{-1}) = T^2(\bar{y})$$

Se poate deci efectua o discriminare monodimensională prin noul parametru  $v$  la fel de eficientă ca aceea prin toate cele p componente ale vectorului  $\bar{y}$ . Discriminarea monodimensională se poate efectua cu formulele cunoscute :

$$(22) \quad \frac{n_1}{n_1 + 1} \frac{(v - v_{1.})^2}{Sv^2} < F(1, n_1 + n_2 - 2, P)$$

și

$$(23) \quad \frac{n_2}{n_2 + 1} (v - v_{2.})^2 \frac{1}{Sv^2} < F(1, n_1 + n_2 - 2, P)$$

în această clasificare, individul poate apartine la una din clase sau chiar la amândouă.

Există și criterii de clasificare univoce (care consideră apartenența la acea clasă pentru care probabilitatea este mai mare (vezi reprezentările de la pag. 43 și /63, pag. 92/)).

Pentru aplicarea acestui criteriu se calculează mărimile

indicate :

$$(24) \quad m_i = \frac{1}{2} (v - v_{il})^2 \frac{1}{Sv^2} - \log p_i \quad i = 1, 2$$

care utilizează și probabilitățile apriorice

$$p_1 = \frac{n_1}{n_1 + n_2}; \quad p_2 = \frac{n_2}{n_1 + n_2}$$

Individul se clasifică în acea clasă pentru care mărimea  $m_i$  are valoarea cea mai mică.

Analiza multidimensională a varianței își propune și permite să stabilească proprietățile (dimensiunile) redundante, adică acele care se pot înălța fără ca ea se piardă în mod sensibil din gradul de separare. Pentru aceasta se definește indispensabilitatea  $U_i$  a unui parametru  $i$ .

$$(25) \quad U_i = T^2(y_1 \dots y_p) - T^2(y_1, \dots, y_{i-1}, y_{i+1}, \dots, y_p)$$

adică influența considerării parametrului  $i$  asupra gradului de separare. Cu o pierdere minimă a informației se poate înălța acea componentă care are  $U_i$  (indispensabilitatea) cea mai mică.

Redundanța componentei  $i$  se testează de asemenea cu o statistică de distribuție  $F$  care se obține cu formula (citată după /63/ pag.96) :

$$(26) \quad \tilde{F}_i = (n_1 + n_2 - p - 1) \frac{\frac{U_i}{2}}{1 + \frac{U_i}{2} - U_i}$$

dacă

$$\tilde{F}_i \leq F(1, n_1+n_2-p-1, P)$$

componenta  $i$  este redundantă.

Eliminarea componentelor redundante ale vectorilor se face una căte una. Formula de calcul obținută prin transformarea relației (25) a lui  $U_i$  este

$$(27) \quad U_i = \frac{1}{n_1 + n_2 - 2} \frac{n_1 n_2}{n_1 + n_2} \frac{d_i}{t_{ii}} \quad /63/, \text{pag. 95}$$

în care  $d_i$  este componenta a  $i$ -a a vectorului  $\vec{d}$ , iar  $t_{ii}$  este elementul diagonal, la intersecția coloanei  $i$  cu rândul  $i$  în matricea  $S^{-1}$ .

### 3.2.4. Partea experimentală

S-a urmărit un număr de 31 de reacții de sodare, fiecare sinteză constituind un individ statistic.

Sodarea s-a efectuat într-un balon cu 4 găuri de 250 ml, scufundat într-o baie de termostatare, prevăzut cu următoarele : agitare mecanică cu posibilitatea reducerii turăției cu un melc, (agitarea s-a efectuat cu un KPG de sticlă), termometru, refri-gerent, ștuț de alimentare cu materii prime. Pentru obținerea unei reproductibilități cît mai controlabile, sodările s-au efectuat cu sodiu fin dispersă în xilen, dispersat în prealabil. Dispersarea s-a efectuat într-un vas cu un singur găt în care s-a introdus o cantitate de sodiu de 2 moli (46 g), s-a acoperit cu 200 g xilen care apoi s-a încălzit la  $120^{\circ}\text{C}$ . În modul acesta s-a asigurat topirea sodiului fără a fierbe xilenul. S-a agitat cu un agitator de turăție mare (cca 15.000 ture - Atomisor tip ULTRATURAK T 45 N, Janke & Kunkel KG), timp de 1 minut la turăție maximă după care s-a răcit și s-a păstrat pentru experimentări successive. Dispersiile de diverse dimensiuni medii s-au obținut prin modificarea timpului de dispersare. Dintr-o astfel de dispersie omogenizată prin agitarea balonului, s-a cîntărit o cantitate ce conține 0,5 moli (11,5 g) prin diferență. Peste cantitatea de dispersie de sodiu s-au introdus 100 ml HMPT și 40 ml benzina. Uneori s-a produs instantaneu o colorare în albastru datorită dizolvării sodiului în HMPT. Alteori colorația apare mai tîrziu sau abia la începutul dozării piridinei. Se pornește agitarea și se menține sub agitare o durată variabilă, conform tabelului de date. Totodată se obține termostatarea masei de reacție, adică temperatura masei se egalează cu aceea a băii de termostatare. Apoi se începe dozarea piridinei. Se dozează 0,5 moli (cca. 40 ml), în timp variabil (conform tabelului) prin dozarea cu o pompă dosatoare peristaltică a mercurului care, prin dislocuire dintr-o biuretă dozează piridina. Această măsură a fost necesară datorită faptului că piridina, excelent dizolvant, a distrus în scurt timp tuburile peristaltice de cauciuc și cauciuc siliconic.

Numărul de componente (dimensiunea) urmărite a fost la început cît mai mare deoarece nu s-a putut preciza care din influențe ar putea provoca aglomerarea. Datele care au stat la baza analizei varianței multidimensionale sunt prezentate

în tabel. În primele 11 rînduri s-au enumerat sintezele în care s-a putut observa aglomerarea, apărînd bulgări de sodiu de 3-15 mm. Următoarele 20 de rînduri conțin parametrii sedărilor care au decurs normal. La fiecare sodare s-au consimnat următorii parametrii :

- debitul de adăugare a piridinei a fost menținut constant în timpul unei sodări fiind realizat cu ajutorul unei pompe dozatoare, în modul descris mai sus. Introducerea exactă a cantității stoichiometrice s-a urmărit pe biureta din care piridina s-a dozat prin dislocnire.

- "Temperatura băii" s-a urmărit prin măsurarea temperaturii băii unui termostat, în care s-a scufundat și vasul de reacție. Prin agitarea băii termostatului și a masei de reacție s-a urmărit un schimb termic cît mai bun.

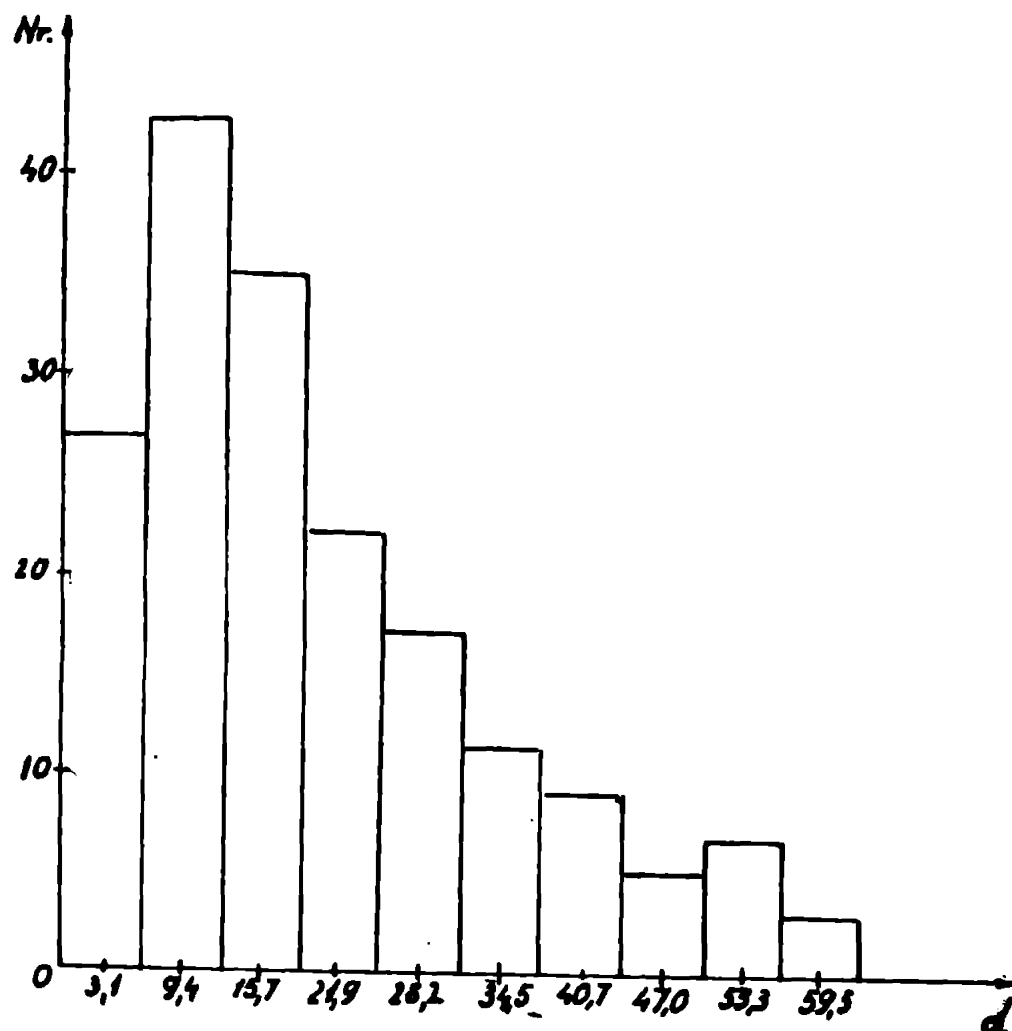
- Temperatura maximă ( $T_{max}$ ) s-a urmărit pe un termometru cufundat în masa de reacție. Deși s-a urmărit un transfer termic cît mai bun, datorită exotermicității pronunțate a reacției și a cinematici neuniforme, s-a constatat o diferență de temperatură între baie și masa de reacție. Evoluția termică s-a caracterizat prin valoarea maximă a temperaturii citită pe termometrul cufundat în masa de reacție.

- Timpul de disolvare ( $t_{dis}$ ) este durata fazei pregătitoare, timp în care dispersia de sodiu a fost ținută în contact cu HMPT-ul, însă încă nu a inceput dosarea piridinei. În acest interval are loc disolvarea particulelor de sodiu în HMPT, dovedă că separe colorația albastră caracteristică /69/.

- Turăția agitatorului (n) s-a menținut constantă în timpul unei sinteze. S-a determinat prin înregistrarea cu un contor, a numărului de rotații într-un interval de timp determinat.

- Dispersiile de sodiu s-au caracterizat prin diametrul cel mai probabil al particulelor. Pentru aceasta s-au fotografiat la microscop, folosind o mărire potrivită, cîte șase probe prelevate din dispersia în picături, stabilizate într-un ulei de parafină suficient de viscos. Aceasta a frînat mișcarea reactivă, haptică a particulelor de sodiu sub influența umidității atmosferice. Pe fotografii s-au măsurat 100-200 de particule care s-au distribuit în 10 clase de mărime. Diametrul luat în considerare este diametrul mediu al clasei cu frecvență cea mai mare. Fotografiile s-au etalonat cu ajutorul unei size de dimensiune 50 microni

$(50 \cdot 10^{-6} \text{ m})$ .



Histogramă a frecvenței particolelor de sodiu din suspensia nr. 2

Calitatea HAPT-ului a fost caracterizată prin conductibilitate și prin scăderea punctului de congelare. Prima s-a măsurat cu un conductometru Radelkis, cu electrod standard ; efectul crioscopic s-a determinat cu un dispozitiv standard, dotat însă cu un termometru divizat în zecime de grad. Răcirea s-a realizat din exterior cu ghiață, substanța s-a agitat electromecanic printr-o mișcare alternativă. Ca punct de topire s-a considerat valoarea maximă obținută la urcarea temperaturii în timpul apariției cristalelor. Când a fost necesar, s-a efectuat însămîntarea cu HAPT cristalizat.

Taboulul: Date experimentale obtinute prin urmărirea reacțiilor de hidrare a picidinelor

Ciclu de comerț cu soluție de hidrare	Nr. Debit $P_2$	$T_{max}$	$T_{min}$	$t_{dis}$	n	A	Calit. HMT	$\lambda$	Centrit.	$T_{dis}$	Vechimea $\Delta T$	$P_2O_5$ , ml	$^{\circ}C$	zile	$^{\circ}C$
1	0,60	40,0	34,0	20	280	1,90	17,0	2,20	0,0	34,0	0	6,0			
2	0,60	40,0	34,0	20	280	1,90	27,0	2,60	0,0	35,0	1	6,0			
3	0,45	40,0	34,0	20	280	1,90	59,0	3,85	0,0	35,0	2	6,0			
4	0,40	38,0	34,0	5	2500	0,94	13,0	2,20	0,0	26,0	0	4,0			
5	0,70	44,0	42,0	10	2500	1,90	59,0	3,85	0,0	42,0	3	2,0			
6	0,50	44,0	42,0	9	2500	0,94	27,0	2,65	0,5	40,0	4	3,5			
7	0,65	40,0	40,0	5	2500	1,90	27,0	2,65	0,5	45,0	9	6,5			
8	0,62	50,0	40,0	7	2500	1,90	13,0	2,20	0,6	43,0	10	9,5			
9	1,17	54,0	47,0	10	2500	1,90	174,0	6,00	0,0	43,0	4	6,7			
10	0,51	49,0	47,0	15	1,00	1,90	174,0	6,00	0,0	51,0	5	2,0			
11	1,27	57,5	47,0	15	2500	1,90	13,0	2,20	0,0	46,0	6	10,2			
1	0,60	39,0	31,0	5	2500	0,94	12,7	2,20	0,0	36,0	1	6,0			
2	0,80	50,0	42,0	10	2500	0,94	27,0	2,65	0,0	38,0	2	5,0			
3	0,60	47,0	40,0	20	2500	0,94	13,0	2,20	0,5	44,0	7	7,0			
4	1,00	41,0	37,0	5	2500	0,94	59,0	3,85	0,5	47,0	5	4,0			
5	0,69	48,0	37,0	20	2500	0,94	59,0	3,85	0,5	43,0	0	11,0			
6	0,97	42,0	37,0	5	2500	0,94	17,0	2,20	0,0	38,0	1	5,0			
7	1,00	50,0	37,0	10	2500	1,90	13,0	2,20	0,5	40,0	4	13,0			
8	1,05	42,0	37,0	5	2500	1,90	27,0	2,65	0,0	34,0	5	2,0			
9	1,20	47,0	37,0	5	2500	1,90	59,0	3,85	0,0	34,0	6	10,0			
10	1,49	43,0	37,0	12	250	1,90	12,0	2,20	0,0	40,0	7	5,0			
11	1,42	43,0	41,0	12	250	0,50	27,0	2,65	0,2	44,0	2	4,0			
12	0,58	42,0	41,0	5	250	1,90	59,0	3,85	0,7	50,0	0	1,0			
13	0,57	42,0	41,0	10	250	0,50	13,0	2,20	0,0	41,0	3	1,0			
14	0,65	41,0	41,0	10	250	0,50	13,0	2,20	0,0	46,0	4	7,0			
15	1,07	42,0	41,0	—	2500	0,50	59,0	3,85	0,0	44,0	5	2,0			
16	0,69	43,0	41,0	10	250	0,50	27,0	2,65	0,0	46,0	6	3,0			
17	0,53	45,0	40,0	10	250	1,90	174,0	6,00	0,0	41,0	0	1,5			
18	0,52	40,0	40,0	5	280	1,90	174,0	6,00	0,5	43,0	1	0,5			
19	0,72	41,0	40,0	20	250	1,90	174,0	6,00	0,0	41,0	2	7,0			
20	0,70	50,0	47,0	10	250	1,90	174,0	6,00	0,0	51,0	3	2,0			

\* De la ciclu 0,5 sunt de notat, rezultatele obținute după filtrarea cu din 40.

1977/1978  
Fluviu  
București



microfotografia: suspensia 1



Microfotografia: suspensão 2

HMPT-ul utilizat a avut concentrația de peste 98%, verificarea s-a făcut gazcromatografic.

- S-a propus verificarea influenței umidității asupra apariției aglomerării. Pentru aceasta, s-au adăugat în mod controlat cantități mici de apă care s-au adunat la umiditatea, sub 0,3% ce am găsit-o în HMPT și piridină (umiditatea s-a determinat după metoda Karl Fischer). Ceilalți reactivi se consideră uscați.

- Temperatura de dizolvare a sodiului în HMPT ( $T_{diz}$ ). La introducerea dispersiei în HMPT s-a constatat un slab efect exoterm. În funcție de temperatură inițială se ajunge după cîteva minute la un salt de temperatură de cîteva grade.

S-a mai considerat :

- vechimea suspensiei, în număr de zile (dintre ziua în care a fost preparată și ziua în care a fost efectuată sodarea) ;

-  $T$ , diferența dintre temperatura băii și temperatura maximă a masei de reacție. Această mărime nu este liniar independentă față de cele două mărimi din care se calculează, însă analiza varianței acceptă și astfel de date.

Această diferență este o măsură a intensității maxime a procesului de sodare, avînd în vedere că depinde de transferul termic considerat constant și de viteza momentană de reacție /64/:

$$m \cdot c \cdot \Delta T + K(T - T_{baie}) \cdot A = h \cdot r \cdot m$$

unde :

$m$  - masa de reacție de căldură specifică c

$K$  - coeficientul de transfer termic

$h$  - entalpia molară

$r$  - viteza de reacție instantanea

$\Delta T$  - variația temperaturii masei de reacție

### 3.2.5. Alcătuirea programului de prelucrare a datelor

Prelucrarea datelor experimentale, obținute conform descrierilor din capitolul 3.2.4 și prezentate sub formă tabulară, au fost prelucrate cu modelul analizei varianței și analiza de discriminare (expuse în capitolul 3.2.3 și în Anexa II), după un program scris în FORTRAN și rulat pe calculatorul FELIX C 256. Structura programului este redată în liniile mari în schema bloo din figura de la pag. 60, descrierea identificatorilor utilizati este dată la pag. 58, iar la pag. 61 se dă listingul programului.

Programul are 153 de cartele și utilizează din biblioteca matematică a calculatorului subprogramele de inversare a matricilor MRINV și subprogramul de calcul al valorilor și vectorilor proprii MQRQ. În cazul în care ne limităm la dimensiunea 10 a spațiului de date și prelucrăm maxim 500 de date, memoria necesară stocării datelor este de 25 kiloocteți.

Programul începe prin a citi de pe cartelele de date dimensiunea spațiului vectorial p și numărul de indivizi statistici, pe clase. Apoi se citesc de pe alte cartele datele referitoare la vectorii individuali, așezatî în felul următor : în cadrul claselor la început individuii clasei întîi, apoi cei din clasa a două, datele sunt așezate pe componente, pe fiecare cartelă fiind trecute toate datele referitoare la o componentă și referitoare la toți individuii din clasa respectivă. Pe cartelă se introduc maxim 16 date. Dacă numărul de indivizi depășește numărul de 16 se continuă pe o altă carteală, pînă la epuizarea tuturor individelor, apoi se epuizează toate componente. Tabelul de date individuale are trei contori

$Y(I, J, K)$

Primul se referă la clase, al doilea la componente, al treilea la individ.

După introducerea datelor se calculează vectorii medii pe clasă și apoi se efectuează calculul matricilor H și S.

Se apelează la subprogramul de inversare a matricei S, după ce aceasta a fost așezată sub formă de coloană, formă cerută de subrutina MRINV. Se calculează apoi produsul de matrici  $H \cdot S^{-1}$ , și mai apoi, fie urma matricei produs, fie

valorile proprii și vectorii proprii (se poate utiliza și alt criteriu statistic decit cel al urmei). Apoi se calculează statistica  $F$  și gradele de libertate  $g_1, g_2$ , funcția de discriminare liniară și se efectuează clasificarea cu ambele procedee indicate în capitolul anterior, calculindu-se și valorile  $v_1$  și  $v_2$ ,  $Sv^2$  etc. Apoi se calculează și indisponibilitatea tuturor parametrilor  $U_i$  cu ajutorul elementelor lui  $d$  și a matricii inverse  $S^{-1}$ . Se elimină parametrul (caracteristica) cu indisponibilitatea minimă, se reduce dimensiunea spațiului caracteristicilor cu 1 și se restrucă matricile  $H$  și  $G$  prin eliminarea rîndului și a coloanei datelor redundante (cu cea mai mică disponibilitate). Se reia tot programul începînd cu inversarea noii matrici  $S$ .

In modul acesta se continuă întreaga analiză pînă se ajunge la un singur parametru : cel care asigură separabilitatea maximă, căutînd răspuns și la întrebarea dacă analiza multidimensională nu poate fi eventual redusă la cea monodimensională, mai ușor de efectuat.

In fiecare etapă se scriu pe listing următoarele date : datele luate în calcul, valorile  $T$  și  $\tilde{F}$ ,  $g_1, g_2$ , apoi valorile funcției de discriminare liniară și clasificarea efectuată pe baza acesteia, apoi lista de indisponibilitate  $U_i$  și valorile statistice corespunzătoare  $\tilde{F}_i$ .

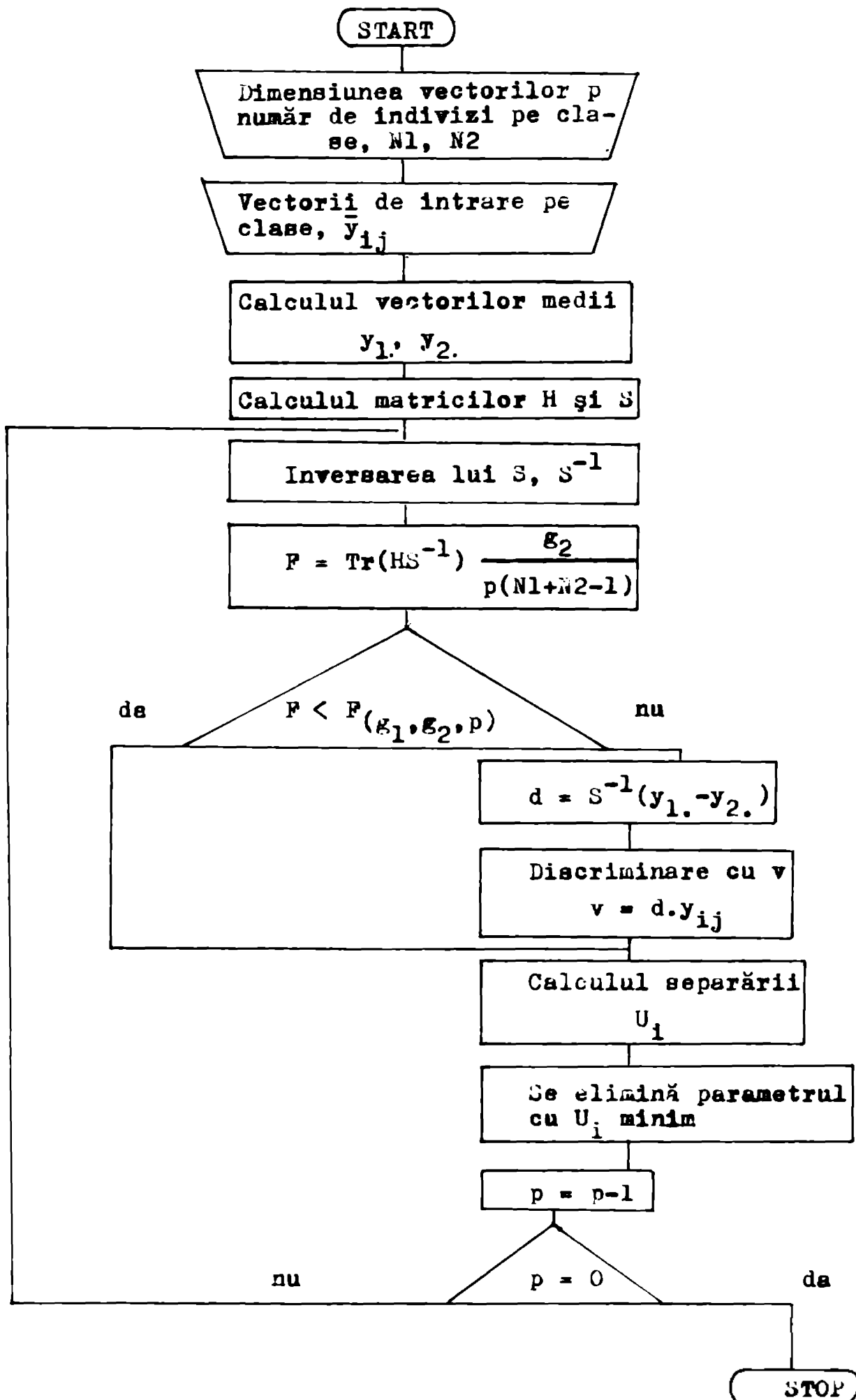
Testarea statisticilor  $F$  nu se efectuează în mod automat în cadrul programului, datorită faptului că biblioteca statistică nu permite folosirea funcției  $F$  a lui Snedecor, iar un program de calcul al cuantilelor ar fi fost relativ complicat (urma să fie înglobat ca un subprogram FUNKTIØN). Am preferat efectuarea separată a testelor statistiche  $\tilde{F}$ , avînd în vedere și faptul că se lucrează cu aproximării, putîndu-se astfel trece mai ușor de la un caz la altul.

**Lista simbolurilor utilizate în modelul analizei variantei**

Mărimea	Simbol în text	Simbol FORTRAN	Dimensiune
Dimensiunea spațiului	p	P	1
Număr de clase	j	JK	1
Număr de indivisi în clase	n <sub>j</sub>	N(JK)	10
Identificatorul vectorilor	$\bar{Y}_{ij}$	Y(i,J,K)	3000
Identificatorul matricei varian- ței	G	G(i,j)	-

Mărimea	Simbol în text	Simbol FORTRAN	Dimensiune
Identifierul matricilor dispersie	S	S(i,j)	100
Identifierul matricei variantei între clase	H	H(i,j)	100
Vectorii medii	$\bar{y}_i$	YM(i)	10
Operatorul de urmă, urma	Sp	SP	1
Grade de libertate la cazul multidimensional	$g_1$ $g_2$	$G_1$ $G_2$	1
Grade de libertate la cazul monodimensional	$f_1$ $f_2$		1
Forma liniară a funcției de discriminare	-d	D(i)	10
Valoarea statisticii F	F	FO	1
Valoarea medie a funcției de discriminare	$v_1$ $v_2$	$v_1$ $v_2$	1
Abserea standard de discriminare	Sv		1
Indispesabilitatea	$U_i$	U(I)	10
Statistica indispensabilității	$\tilde{F}_i$	F(I)	10
Valoarea medie a populației	$\mu$	-	
Eroarea populației	$\epsilon_{ij}$		

Schema bloc al programului ANVAR



distigual programarei unor

EEFFEEEEEE	LLLL	I
FFFF	LL	
FFFF	LL	
FFFFFREE	LL	
FFFF	LL	
FFFF	LL	
FFFFCEEFFF	LLL LLLL	II

7777777777	88888888	2222222222	2222222222
777	888	7777	7777
777	888	7777	7777
777	88888888	7777	7777
777	888	7777	7777
777	88888888	7777	7777

ANVAR1,AN3,YBZ,Z,PN,ELIV,COND(126,LT)  
MPILE FORTRAN DBL,MAP,DBG  
ATED

ANVAR1 20/10/77 23.13.36

```

1 C SE COMPARA DOUA CLASE DE VECTORI P-DIM., CU N1,N2 INDIVIZI
2 C SE VERIFICA EGALITATII MEDIILOR, SE GACESTE FUNCTIA DE DIN-
3 C CRIMINARE INIARA, SE FACE DISCREPANCAREA SI SE EARA PROGRALITATI
4 C SE ELIMINA PROPRIETATEA PEA MAT RECOMUNANTE SI SE REPETA
5 * FETCHS DVT:RD,V$TEXT01,LN:EXTERNA78,FNC1ANVAR,G111,VN30
6 C SE COMPARA DOUA CLASE DE VECTORI P-DIM., CU N1,N2 INDIVIZI
7 C SE VERIFICA EGALITATII MEDIILOR, SE GACESTE FUNCTIA DE DIN-
8 C CRIMINARE INIARA, SE FACE DISCREPANCAREA SI SE EARA PROGRALITATI
9 C SE ELIMINA PROPRIETATEA PEA MAT RECOMUNANTE SI SE REPETA
10 INTEGER P,P1
11 REAL H,N12
12 DIMENSION Y(5,10,100),YM(5,10),H(10,10),S(10,10),CH(10,10),C(100)
13 C,I(10),IC(10),D(10),M(10),U(10),N(5),K(10),F(100)
14 DIMENSION A(10,10)
15 READ 51,P,JK
16 READ 51,(N(I),I=1,10)
17 DO 1 I=1,1K
18 NT=N(I)
19 DO 1 J=1,P
20 READ 52,(V(I,J,K),K=1,NI)
21 FORMAT(5I5)
22 FORMAT(10F5.3)
23 DO 2 I=1,1K
24 NT=V(I)
25 DO 2 J=1,P
26 Z=0
27 DO 3 K=1,NI
28 Z=Z+Y(I,J,K)
29 V(I,J)=Z/NI
30 C PROGRAMUL FUNCTIONHEAZA SI MENTRU JK CLASE
31 N12EF[DATEN(1)+H(2)]/(N(1)+N(2))
32 DO 4 I=1,P
33 DO 4 J=1,P

```

```

S(I,J)=0,
Z=0
H(I,J)=(YH(1,I)-YH(2,I))*(YH(1,J)-YH(2,J))+12
DO 5 K=1,P
N1=N(K1)
DO 5 K=1,N1
Z=Z+(Y(K1,I,K)-Y(K1,I))*((Y(K1,J,K)-YH(K1,J))
5 S(I,J)=Z/(N(1)+N(2)-2)
DO 6 A=1,P
DO 6 A=1,P
6 C(J+P-I)=S(I,J)
CALL MRINV(C,E,P,K0D+DET,0.1E-15,IL,IC)
DO 7 I=1,P
DO 7 J=1,P

```

ANVAR1 20/10/77 23.13'36

```

5 S=1(I,J)=E(J+P-P+I) 43
DO 16 I=1,P 44
DO 16 J=1,P 45
B1=0 46
DO 17 K=1,P 47
B1=B1+H(I,K)*SH1(K,J) 48
16 E1=(I-1)/2+I=B1/(N(1)+N(2)-2) 49
CALL MSPRO(C,B,P,0,0,1E-15) 50
POINT B9,(E(J+(J+1)/2),J=1,P) 51
88 FORMAT(15X,//,15X,'VALOARII E PROPRII ALE MATRICEI M=S-1 SINT',
C//,15X,10G12.5,//,15X,'VALOARII PROPRII DIN ACESEI ORDINE SINT',//) 52
DO 18 I=1,P 53
18 PRINT B9,(E(J,I),J=1,P) 54
89 FORMAT(10Y,10G12.5,/) 55
PRINT E1,K0D+DET 56
81 FORMAT(15Y,'LAINVERSAREA MATRICII S K0D = ',I2.5,'DET = ',615.7+) 57
SP=0. 58
DO 7 I=1,P 59
DO 7 J=1,P 60
7 E0=SP+H(I,J)*SH1(J,I) 61
G1=SP 62
C2=N(1)+N(2)-P-1 63
F0=C2/E/(N(1)+N(2)-2)*SP 64
POINT E2,E0,G1,G2 65
82 FORMAT(1X,//,15X,'VALOAREA TESTATA, FD= ',612.5,' TREBUIE SA FIE MA 66
LI MARF DECIT VALOAREA FUNCTIEI F ',/15Y,'GRADFLF DF LIBERTATE G1 67
CE ',F6.2,' SI G2= ',F6.2,' DENTRU CLASE DIFFERITE',//,) 68
T=SP/(N(1)+N(2)-2) 69
DO 8 P=1,P 70
D(I)=0 71
D(I)=P 72
DO 9 R,J=1,P 73
9 E(I)=D(I)+SH1(I,J)*(TH(1,J)-YH(2,J)) 74
PRINT E3,T,(D(I),I=1,P) 75
83 FORMAT(15Y,'MASURA SEPARARI MULTIVARIATE ESTE ',A12.5,//,15X,'PANA 76
CETII FUNCTII LTMARE DE DISCRIMINARE SINT ',//,15X,10F1X,612.5) 77
C,//,) 78
V1=0. 79
V2=0. 80
DO 9 I=1,P 81
DY=YH(I,I)-YH(2,I) 82
DO 9 J=1,P 83
V1=V1+DY*SH1(J,I)*YH(1,J) 84
V2=V2+DY*SH1(J,I)*YH(2,J) 85
PRINT E4,V1,V2 86
SP=SP/K12 87
DO 10 J=1,JK 88
N1=N(J) 89

```

ANVAR1 20/10/77 23.13'36

```

DO 10 I=1,NJ 90
VvU 91
DO 11 K=1,P 92
11 VvU=D(K)*Y(J,K,I) 93
TR1=(V-V1)+(2/SP+1.1)/(N(1)+1) 94
TR2=(V-V2)+(2/SP+1.1)/(N(2)+1) 95
DO 12 I=1,P 96
H(1)=1.5*(V-V1)*(V-V1)/SP=ALOG(FLOAT(N(1))/(N(1)+N(2))) 97
H(2)=0.5*(V-V2)*(V-V2)/SP=ALOG(FLOAT(N(2))/(N(1)+N(2))) 98
IF(TR1<LT,F95)GO TO 20 99
IF(TR2<LT,F95)GO TO 21 100
C1=0 101
DO 13 I=1,P 102
20 IF(TR2<LT,F95)GO TO 103 103
C1=0.5 104

```

```

10 GO TO 23
11 CI=?
12 GO TO 23
13 CI=1.
14 CP=0
15 IF(H(2),LT,N(1))CP=1.
16 CP=CP+1
17 84 FORMAT(1X,/,5Y,'NR. IND',20X,'VALOAREA PARAMETRILOR',T109,'CLASELE
18 C/DISCRIM.',/,15X,'V1E',G12.5,5X,'V2E',G12.5,5X,'V3E',G12.5,5X)
19 PRINT 85,1,I,(Y(J,K,I),K=1,P)+CI,CP,TY1,TYK,V(1),V(2)
20 P5 FORMAT(2X,T11.2X,I3,1X,40E10,3,T115,F3.4,7X,E3.4,7X)
21 DO 30 I=1,P
22 U(I)=D(I)*D(I)*N12/(N(1)+N(4)-2)/SM1(I,I)
23 30 F(I)=G2*U(I)/(1.+U(I))
24 PRINT 86
25 PRINT 87,(I,U(I),F(I),I=1,P)
26 FORMAT(15Y,'INDISPENSABILITATEA PARAMETRILOR SI VALORIIF E',//)
27 FORMAT(15Y,I2,15Y,G12.5,15Y,G12.5,5,/)
28 UNEU(1)
29 JME1
30 DO 40 I=1,P
31 IF(U(I).GT.UM)GO TO 40
32 J'ME1
33 UNEU(I)
34 40 CONTINUE
35 P1=P+1
36 IF(JM.EQ.P)GO TO 41
37 DO 42 I=JM,P1
38 DO 44 K=1,IK
39 NT=N(K)
40 DO 45 IT=1,NI
41 Y(IK,I,IT)=Y(K,I+1,IT)

```

ANVAR1 20/10/77 23.13'36

```

42 YH(K,I)=YH(K,I+1)
43 DO 42 J=1,P
44 H(I,J)=H(I+1,J)
45 ST(I,J)=S(I+1,J)
46 DO 43 I=1,P
47 DO 43 J=JM,P1
48 U(I,J)=U(I,J+1)
49 ST(I,J)=S(I,J+1)
50 P=P+1
51 IF(P.EQ.0)STOP
52 GO TO 100
53 END

```

ANVAR1 20/10/77 23.13'36

0000	00000003	00000000	00000000	00000000	00000000
0019	FFEEEEEE	00000000			
004P	40F5C9F5	F0404040			
0080	40F1FA06	F540F750			
008P	40F1F5E7	A0416108	F1F5F748	70E5F103	06C9D9C9
0090	00060729	F000040C1	03054004	01E30000	07450040
009P	F140E2C9	B5E17008	40404160	6960E4E8	0740F700
0100	F560A101	F1E5F768	70F5E1F7	70600000	0240F700
010P	C9400005	A0001C73	F5C1E2C0	70000004	0000F540
0110	7A7D1A61	A1504060			
011P	40F1F5E7	A041F0C1	F1F24BFS	6B615040	05C14000
0120	40F1F5E7	A02003C1	F205E5F8	00F201D9	05C14000
012P	F7000240	F24000200	F4407860	7A60E0F7	48E5F700
0130	607F4-A70	A007F1F5	LBF7A858		
013P	40F1F766	A9416RF1	E5E7A078	F0C10306	010205C7
0140	F3F1E3C1	A000AF05	4070A007	04F2A0F5	4B7D60F4
014P	F0F54002	F16004C9	F5A00049	00400001	0000F20004
0150	40F54002	F0A00005	01600047	0000F20000	0000F20000
015P	4150F4F5	F24078E7	02019405	0000F10000	0000F10000
0160	C1E3F540	F7F17F60	71100000	00F24070	60F2E000
016P	Z060CAFE	406026870	01000000	00F2A000	0000F20000
0170	F7000001	F00000001	01000000	00000000	00000000
017P	10F1F5E7	A07000001	01000000	00000000	00000000
0180	F00000001	A00000001	01000000	00000000	00000000
018P	AB200000	F00000001	01000000	00000000	00000000
0190	C0000000	F00000001	01000000	00000000	00000000
019P	C1000000	F00000001	01000000	00000000	00000000
0200	F7F1F5E7	A07000001	01000000	00000000	00000000
020P	F0F1F5E7	A07000001	01000000	00000000	00000000
0210	F0F1F5E7	A07000001	01000000	00000000	00000000
021P	F0F1F5E7	A07000001	01000000	00000000	00000000
0220	F0F1F5E7	A07000001	01000000	00000000	00000000
022P	F0F1F5E7	A07000001	01000000	00000000	00000000
0230	F0F1F5E7	A07000001	01000000	00000000	00000000
023P	F0F1F5E7	A07000001	01000000	00000000	00000000

### 3.2.6. Prezentarea rezultatelor și a interpretării lor

Cu primii 10 parametrii din tabelul de la pag. 57, s-a obținut o separare  $T^2 = 1,128$ , iar cele două clase nu sunt prea bine separate.

$$\tilde{F}_0 = 2,265 < F_{(10, 20, 95\%)} = 2,35$$

Doar 4 parametrii sunt semnificativi :

Parametru	$U_i$	$\tilde{F}_i$
debit	0,4727	5,71
$T_{max}$	0,3762	4,30
n <sub>turătie</sub>	0,5671	7,27
d <sub>particule</sub>	0,5758	7,42

$$F_{(1, 20, 95\%)} = 4,35$$

Se elimină în ordinea redundanței ( $U_1$  minim), ceilalți parametri : temperatura de dizolvare, timp de solvire, calitatea HMP-T-ului, apa.

Eliminarea se face una după cealaltă, recalculindu-se toate etapele. Se ajunge la 5 parametrii cu următoarea situație :

$$F = 4,42 > F_{(5, 25, 99\%)} = 3,86$$

$$T^2 = 0,885$$

Diferența între clase este deplin semnificativă, chiar la nivelul de 99%.

Funcția de discriminare în acest caz este :

$$v = -7,49 \cdot \text{debit} + 0,529 \cdot T_{max} - 0,481 \cdot T_{baie} + \\ + 0,00168 \cdot n + 2,62 \cdot d$$

$$v_1 = 7,30$$

$$v_2 = 3,68$$

$$Sv^2 = 3,79$$

Cu această funcție de discriminare, clasificarea este foarte eficientă, doar un individ este clasificat greșit în clasa reacțiilor ce se aglomerează și 3 în clasa a doua. În ceea ce privește indispensabilitatea acestor parametri, situația este următoarea :

Parametru	$U_i$	$\tilde{F}_i$
debit	0,3863	6,45
$T_{max}$	0,3422	5,55
$T_{baie}$	0,3070	4,86
$n_{turație}$	0,5024	9,09
$d_{sodiu}$	0,4587	8,04

$$F(1, 25, 95\%) = 4,24$$

Este interesant că  $T_{baie}$ , care nu a fost semnificativă în condițiile initiale cu 5 parametri redundantă, devine evident semnificativă în această constelație.

Dacă se efectuează eliminări în continuare, se constată că separarea scade brusc, și odată cu  $T_{baie}$  și  $T_{max}$  își pierde semnificația :

$$T^2 = 0,5775$$

Parametru	$U_i$	$\tilde{F}_i$
debit	0,1562	2,86
$T_{max}$	0,0597	1,02
$n_{turație}$	0,2857	5,75
$d$	0,3436	7,24

$$F(1, 26, 95\%) = 4,23$$

Rămîne semnificativă doar turația și dimensiunea medie a particulelor, fiind cel mai important parametru (care realizează o separare semnificativă la nivelul de 95%) :

$$P_0 = 5,34 > P_{(1, 29, 95\%)} = 4,14$$

dar nesemnificativ la nivelul de 99%

$$P_0 = 5,34 < P_{(1, 29, 99\%)} = 7,60$$

Rămâne mărimea dispersiei. Însă clasificarea pe această bază este extrem de deficitară, dind eroare de 9/11 în clasa I și de 11/20 de cazuri în clasa a doua.

Parametrul, durata de păstrare, a fost luat și el în calcul într-o analiză, însă a fost eliminat ca nesemnificativ.

S-a observat pe de altă parte că coeficienții lui  $T_{max}$  și  $T_{baie}$ , deși de semn contrar sunt aproape egali în valoarea absolută. Aceasta a sugerat că :

$$\Delta T = T_{max} - T_{baie}$$

ar putea fi un parametru semnificativ pentru aglomerarea particulelor. Această mărime introdusă în calcul a condus la următoarele valori : parametrii semnificativi : debit,  $\Delta T$ , d (dimensiunea dispersiei), n (turăția) :

$$P = 5,7 > P_{(4,26,99\%)} = 4,14$$

$$T^2 = 0,8782$$

Măsura separării s-a micșorat doar foarte puțin, față de cazul anterior cu 5 parametrii :

$$T^2 - T'^2 = 0,8845 - 0,8782 = 0,0063$$

Funcția de discriminare liniară are în acest caz forma :

$$v = -7,00 \cdot \text{debit} + 0,478 \cdot \Delta T + 2,75 \cdot d +$$

$$+ 0,0017 \cdot n(\text{turăția})$$

$$v_1 = 5,65$$

$$v_2 = 2,06$$

Situția erorilor de clasificare (discriminare) este aceeași ca în cazul celor 5 parametrii (pentru stabilirea indispensabilității vezi tabelul de la pag. 67).

In continuare se prezintă unele consecințe ce se pot trage pe baza analizei efectuate :

- Parametrii urmăriți sunt suficienți ca să permită o prognosă a fenomenului de aglomerare, decarece o parte a lor permite

discriminarea (f semnificativ).

Parametru	$U_i$	$\tilde{F}_i$
debit	0,389	6,80
T	0,360	6,17
d	0,523	10,04
turație	0,532	10,27

$$F(1, 26, 95\%) = 4,23$$

- Dintre cei 12 parametri urmăriți, 8 sunt redundanți.
- Astfel, din redundanța parametrilor ce caracterizează calitatea solventului (HMPT), rezultă că acesta nu afectează aglomerarea și că nici o impuritate în urme nu pare să influențeze mersul reacției.
- Rezultă de asemenea că umiditatea în anumite limite, nu are un efect defavorabil provocând aglomerarea. Această concluzie este de certă valoare practică, deoarece nu sunt necesare operații costisitoare de uscare a materiilor prime.
- Se poate conchide că nici modul de aducere în contact al sodiului cu HMPT-ul, temperatura și timpul de dizolvare nu afectează aglomerarea.
- De asemenea nu se poate susține rolul vechimii suspensiei în producerea aglomerării, și acest parametru fiind redundant.
- Parametrii care în mod izolat nu sunt concluvenți (cu excepția dimensiunii particulelor dispersiei), care însă luati în ansamblu permit o prognoză a aglomerării sint :
  - dimensiunea sodiului dispers
  - turbulentă în reactor, măsurată prin turație
  - debitul piridinei
  - intensitatea momentană a procesului, măsurat prin  $\Delta T_{maxim}$ .
- Sensul în care valoarea acestor parametri influențează reacția în favoarea unui mers normal, fără aglomerare, poate fi urmărit în ecuația de discriminare.

Astfel, pentru valori mai mici ale lui  $v$  vom avea cu mare probabilitate sinteze cu mers normal, pentru valori mari avem

Clasificarea efectuată în diverse faze de eliminare  
a parametrilor redundanți

Nr.	Clasa a crt. priori	Cu trei para- metrii	Cu cinci para- metri	Cu patru para- metri	Cu trei para- metri	Cu doi para- metri	Cu un pa- rametru
1.	1	1	2	2	2	2	1
2.	1	1	1	2	2	2	1
3.	1	1	1	2	1	2	1
4.	1	1	1	2	1	2	2
5.	1	1	1	1	1	1	1
6.	1	1	1	1	1	2	2
7.	1	1	1	1	1	2	1
8.	1	1	1	1	2	2	1
9.	1	2	1	1	2	1	1
10.	1	1	1	1	1	1	1
11.	1	1	1	1	1	1	1
12.	2	2	1	2	2	2	2
13.	2	1	2	2	2	2	2
14.	2	2	1	1	2	2	2
15.	2	2	2	2	2	2	2
16.	2	2	2	2	2	2	2
17.	2	1	2	2	2	2	2
18.	2	2	1	2	2	2	1
19.	2	2	2	2	2	2	1
20.	2	1	2	2	2	2	1
21.	2	2	2	2	2	2	1
22.	2	2	2	2	2	2	2
23.	2	2	2	2	2	2	1
24.	2	2	2	2	2	2	2
25.	2	2	2	2	2	2	2
26.	2	2	2	2	2	2	2
27.	2	2	2	2	2	2	2
28.	2	2	2	2	2	2	1
29.	2	2	2	2	2	2	1
30.	2	2	2	2	2	2	1
31.	2	2	2	1	2	2	1

aglomerare. Aceste valori mari se obțin la debite mici,  $\Delta T$  mare, d mare și turărie mare. Se impune o interpretare circumstanciată a acestei ecuații de discriminare. Tendințele consecințe de această ecuație sunt contradictorii. Astfel, o amestecare lentă implică o creștere mărită a temperaturii. De asemenea, mărirea debitului de piridină poate avea ca efect mărirea lui  $\Delta T_{max}$ .

### 3.2.7. Concluzii

Pentru detalierea aspectelor observate la sedarea piridinei și anume faptul că uneori are loc o aglomerare a sodiului fin dispers și o diminuare a conversiei piridinei, s-au efectuat o serie de 31 de sinteze în condiții experimentale descrise în capitolul 3.2.4, observându-se în 11 cazuri aglomerarea sodiului fin dispers. S-a efectuat analiza varianței (dispersională multidimensională conform unui model detaliat în subcapitolul 3.2.3, care a stat la baza unui program de prelucrare a datelor, descris în subcapitolul 3.2.5. Pe baza modelului utilizat s-au putut trage o serie de concluzii importante în ceea ce privește sistemul de reacție luat în studiu.

Astfel, s-a impus concluzia că factorul cel mai important în conducerea fără incidente a reacției este utilizarea unei dispersii fine, micronice, cind este asigurat un mers rapid, uniform și fără complicații. În modul acesta este diminuat timpul de inducție, se exclude posibilitatea de acumulare a piridinei nereacționate și se poate asigura un  $\Delta T$  mic în tot timpul de reacție (este vorba de diferența de temperatură realizată dintre masa de reacție și mediul de răcire).

Insistăm că valoarea  $\Delta T$  obținută în laborator este o valoare relativă, depinzând de o sumă de factori hidrodinamici de transfer termic, și de reacție. O considerăm însă o măsură a intensității momentane a procesului de sedare. Trebuie luate măsuri pentru evitarea unor intensități momentane prea mari. Astfel, agitarea trebuie să fie bună pentru a asigura un control eficient al temperaturii în întreaga masă de reacție, un transfer termic bun.

Revenind la caracterisarea utilității modelului analizei

variantei în abordarea unor sisteme nedeterministe, la care apar două rezultate calitativ diferite (mers normal, mers cu aglomerare) putem trage următoarea concluzie :

In modelul propus cele două rezultate calitativ diferite (normal - cu aglomerare) se privesc ca două clase (nivele) ale unui experiment monofactorial multidimensional (se pot utiliza și alte modele ale analizei varianței).

Modelul permite cuprinderea următorului aspect : suficiența parametrilor experimentalii la caracterizarea indivizilor statistici, în vederea discriminării celor două clase luate în discuție. Dacă discriminarea nu este susținută de analiză, fenomenul "catastrofei" este pur aleator și trebuie eventual largită gama parametrilor studiați.

Modelul utilizat permite decelarea parametrului esențial și dacă există un astfel de parametru. Cu aceasta problema devine determinată. Nu acesta este cazul analizei noastre.

Modelul propus permite decelarea unei determinări multiple, grea de surprins prin vizuarea clasică (de obicei monodimensională). Este cazul tratat în această lucrare, în care fenomenul "catastrofei" apare prin conlucrarea a mai mulți parametri. În acest caz modelul ales are următoarea performanță : din multimea parametrilor luati în considerare apriori se elimină aceia care sunt redundanți, rămânind un număr de parametri care permit o clasificare eficientă, o diagnosticare a fenomenu lui.

Separarea claselor trebuie privită în termeni probabilisti mai degrabă decât în aproximarea logicii bivalente. Cînd separarea claselor (cum rezultă prin aplicarea analizei) este bună, avem cazul determinist. Cînd separare există, dar nu este totală (cazul analizat de noi), cazul trebuie privit nuantat. Evenimentele catastrofice (aglomerările) nu pot fi excluse total ; chiar la menținerea parametrilor optimi, se poate întâmpla să aibă loc o șarjă nereușită, șansa acesteia se poate menține la valori minime. În cazul neseparării totale fenomenul rămîne aleator, sustrăgindu-se pricărei influențe.

In continuare se află în atenția noastră și alte sisteme cu un comportament asemănător :

- la obținerea trifenilfosfinei prin sodarea monoclorbenzenului urmată de reacția cu triclorură de fosfor
- la reacția dintre dinetilfosfit sodat cu acrilamidă

cînd se produc accidental polimerizări

- acetilarea alcoolului terpenic linalol cu anhidridă acetică în cataliză acidă dă întimplător șarje ratate cu un caracter olfactiv total nematisfăcător, ajungînd să predominie reacțiile de eliminare și polimerizare.

### 3.3 Studiu cu reacție liberă, intermediară în sârmă 4,4' -bipiridilului în hexametil- sulfidă acidului fluoric

#### 3.3.1. Descrierea problemei

S-a urmărit lăsarea unor aspecte privind mecanismul de reacție la sodarea piridinei, urmată de oxidare și obținerea 4,4' -bipiridilului în mediu polar al solventului HMPT, și conform cu soluția tehnică brevetată /59/. Acest studiu a fost sugerat și de faptul că reacția are niște performanțe medii deși selectivitatea pentru 4,4' -bipiridil este extrem de bună. Din proiecte de sinteză efectuate în laborator, apoi în instalație pilot și micropilot s-a putut verifica faptul că la conversii medii, în jur de 40-50%, rendamentul cu care se obține produsul dorit este mare, de pagină de cinci sau. Când se forțează conversia, mărind raportul dintre sodiu și piridine, s-a putut observa o reducere a rendamentului la 60-70%.

În diagramă și tabelul prezentat în continuare sunt cuprinse datele obținute referitoare la rendamentul și conversia realizată în sinteza bipiridilului la diverse rapoarte dintre sodiu și piridine. Condițiile de lucru au fost cele precizate în capitolul 3.2.4. Determinările de conversie ale piridinei și al rendamentului de transformare în 4,4' -bipiridil se bazează pe volumul maselor de reacție obținut după oxidare, precipitarea și filtrarea hidroxidului de sodiu. Concentrațiile de piridine, respectiv de 4,4' -bipiridil s-au determinat prin metoda gas chromatografică folosind etaloune externe de piridine și 4,4' -bipiridil.

Condițiile separării chromatografice sunt:

Cromatograf de gaze Carlo Erba

Coloană de s tici și int 4, lungă de 1 m

Umplutura: Chromocarb = silanizat, 60 mesh, tratat cu KOH (5% greutate față de suport)

Faza stăgișăre: apiesem N (10% față de suport)

Temperatură coloanei: 80-230°C cu 5°/ minut

Temperatură blocului de injectare : 230°C

Temperatură detectorului: 230°C

Gasul eluent: hidrogen

Detector: analizor de termoconductibilitate

Injectarea probelor: microsiringă Hamilton de 10 ul

Evaluări quantitative: măsurarea înălțimii picurilor.

În cursul acester analize s-a adus și dovada în legătură cu selectivitatea reacției: singurul pic din domeniul timpului de retenție al bipiridililor este acela al izomerului 4,4', celelalte izomeri lipsind la limita de detecție - aproximativ 0,1%.

Determinari de conversie și de răspachetare la sinteze de 4,4' bipiridil

Nr.	Report	V	$c_{\text{pi}}$		conv.	rend.
			ml	g/100ml		
1	1:1	370	4,782	3,34	60,4	51,8
2	2:1	363	1,17	5,25	90,3	55,4
3	2:1	370	4,11	4,11	61,2	64,3
4	1:1	370	3,70	4,77	65,8	67,9
5	1:1	365	4,24	4,32	61,3	65,1
6	1:1	370	4,60	4,21	57,5	68,6
7	1:1	370	4,76	4,32	59,7	73,0
8	1:1	368	3,63	5,70	66,6	79,7
9	0,5:1	365	8,28	2,60	34,5	98,3
10	0,5:1	370	7,06	2,33	27,0	30,0
		av.	6,08	3,60	41,5	54,4

Umplutură: Chromosorb W silanizat, 60 mesh, tratat cu KON (5% grătate față de suport)

Faza stării lăzii: apiesen A (10% față de suport)

Temperatură coloanei: 80-230°C cu 5°/ minut

Temperatură blocului de injectare: 230°C

Temperatură detectorului: 230°C

Gasul eluant: hidrogen

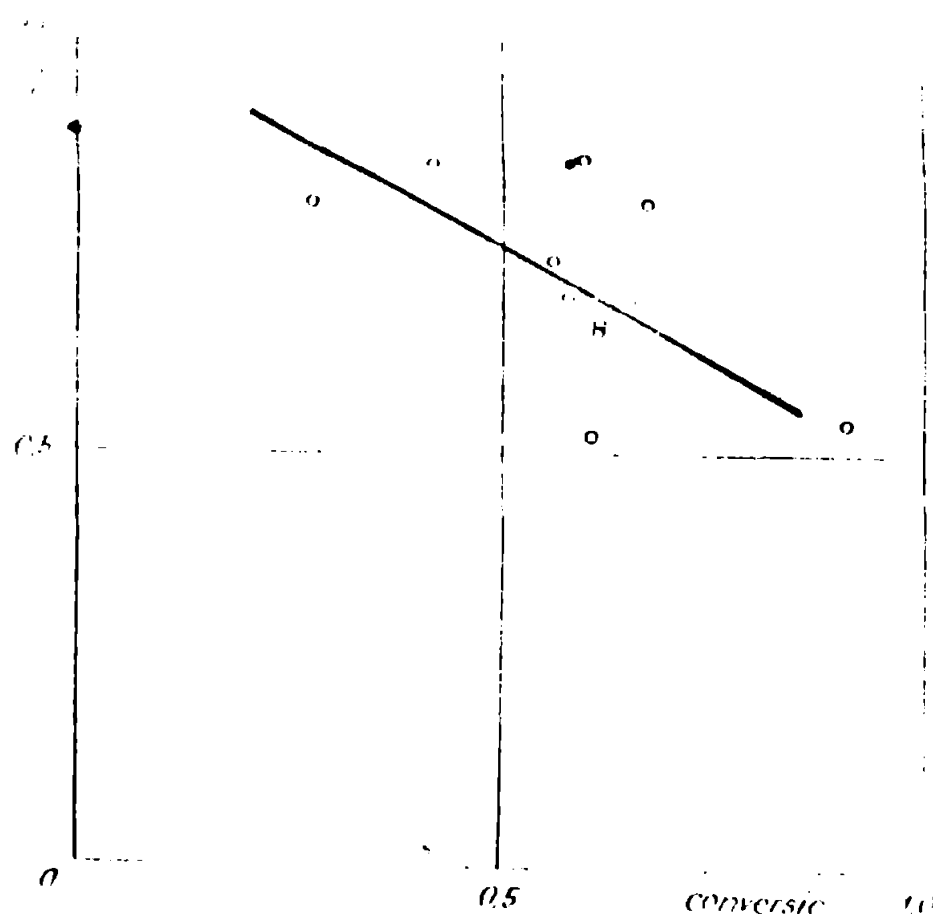
Detector: analizer de termoconductibilitate

Injectarea probelor: microsiringă Hamilton de 10 µl

evaluari cantitative: măsurarea înălțimii picurilor.

In cursul acester analize s-a adus și dovada în legătură cu selectivitatea reacției: singurul pic din domeniul timpului de retenție al bipiridililor este acela al izomerului 4,4', ceea ce îl isomerii lipesc la limita de detecție aproximativ 0,1%.

Fig. 3 Diagramă compresie - răspuns



Determinari de conversie și de rendement la sinteze ce 4,4' bipiridil

nr.	raport Na:pi	V ml	c <sub>pi</sub> g/100ml	c <sub>bip</sub> g/100ml	conv. %	rend. %
1	1:1	370	4,782	3,34	60,4	51,8
2	2:1	363	1,17	5,25	90,3	52,4
3	2:1	370	4,11	4,11	61,2	64,3
4	1:1	370	3,70	4,77	65,8	67,9
5	1:1	365	4,24	4,32	61,3	65,1
6	1:1	370	4,66	4,21	57,5	68,6
7	1:1	370	4,76	4,32	59,7	70,0
8	1:1	366	3,65	5,70	66,6	79,7
9	0,5:1	365	8,28	4,60	14,5	98,3
10	0,5:1	370	7,86	2,33	27,0	30,0
11	0,1:1	335	0,08	3,00	41,5	64,8
12	1:1	363	4,43	5,40	59,2	85

studiu asupra intermediarilor s-a efectuat în cadrul laboratoarelor IWI, iar rezultatele au fost comunicate și publicate în lucrarea /57/.

3.5.2. urgență experimentală

În condițiile descrise în capitolul 3.c.4. s-a efectuat și studiu intermediarilor. De data aceasta însă s-a luat măsuri speciale în ceea ce privește reactivii: reactivul a avut puritatea corespunzătoare calificativului "pro analysie", solventul HMPR preparat în laborator a fost rectificat de două ori în viață sub argon. Cu toate acestea a putut fi observat un slab semnal paramagnetic. Redarea a fost efectuată în atmosferă de gaz inert (argon). Restul de lucru și condițiile c elelalte au fost identice cu cele descrise în capitolul deja menținut. Introducerea piridinei peste amestecul de reacție cu un debit constant se realizează cu o

pompa dozatoare. Se prelevesc probe în diverse faze ale reacției după c un urmărază:

1. Materii prime
2. Soluția de sodiu în NMP
3. Amestecul de reacție cu 1/40 din piridina adăugată
4. Amestecul de reacție cu 1/10 din piridina adăugată
5. Amestecul de reacție cu 1/2 din piridina adăugată
6. Amestecul de reacție după adăusul întregii cantități de piridina
7. Amestecul de reacție după o ora de perfectare
8. Amestecul de reacție în timpul oxidării
9. Amestecul de reacție după terminarea oxidării.

Toate aceste probe sudate în tuburi de sticlă au fost analizate cu ajutorul unui spectrometru NMR Varian-3.

După adăugarea întregii cantități de piridină s-a perfectat amestecul de reacție timp de o oră, apoi s-a efectuat oxidarea la temperatură de  $40-50^{\circ}\text{C}$  timp de 2 ore cu oxigen, cu un debit de 5 l/h.

S-a obținut și radicalii liberi direct din 4,4'-bipiridil și sodiu în NMP într-un tub Schlenk, sub argon. Pentru acesta s-a introdus peste 10 ml NMP o cantitate de disperzie de sodiu în xileni, realizând soluție albăstră, la nevoie încălzindu-se la  $30-40^{\circ}\text{C}$ . Această soluție a fost separată de sodiul ne dizolvat prin filtrare. Soluția albăstră s-a turnat peste o cantitate de bipiridil pregătită într-un alt tub. După c trei minute de agitare s-a prelevat o probă într-o capilară, amănător cu ce le amănără mai sus. În același mod s-a obținut radicali viologeni prin dizolvarea diiodurii de 1,1'-dimetil-4,4'-bipiridil în etanol anhidru și contactarea acestei soluții cu o soluție a tanolică de etoxid de sodiu. Aceste specii radicalice au fost de asemenea analizate prin înregistrarea spectrului NMR.

### 3.3.3. Rezultate și interpretări

Spectrele de NMR înregistrate și cu alură reprezentativă sunt redate la pag.76. Conțin liniile ce s-au desprins pe baza interpretării acestor spectre sint:

După un mic adăos de piridină se obține un spectru

cu structură fină (prima figură). Ipoteza, că structura speciei paramagneticice, este în acest caz de tip bipiridilic se sprijină pe comparația calitativă a acestui spectru RES cu acela obținut prin sodarea directă a bipiridilului (figura a treia), cît și cu spectrul RES al soluției etanol-etoxidică a sării dicuaternare (figura a patra).

Cînd se crește cantitatea de piridină adăugată în masa de reacție, se obține un spectru cu o rezoluție mai slabă, un spectru cu un singur peak (figura a doua).

Concluzia este că se formează un radical liber în faza solidă. Cantitatea fazei solide crește apoi în timpul sodării și descrește în timpul oxidării, iar alura spectrului se păstrează. La terminarea oxidării se păstrează un semnal foarte slab.

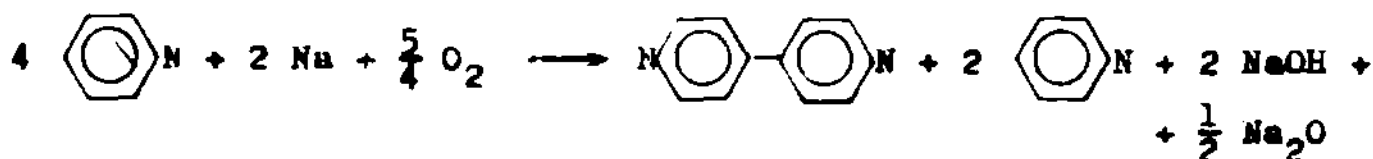
Aceste date experimentale sprijină următoarele concluzii privind mecanismul de reacție :

- În faza de sodare a piridinei are loc și condensarea radicalilor liberi piridinici, ca formarea bipiridilului care apoi trece în stare sodată. Această constatare se sprijină pe asemănarea spectrului RES a speciei radicalice formată cu cea a speciilor bipiridilice și viologene. Această ipoteză a fost exprimată și în lucrarea /67/ pentru un mediu piridinic.

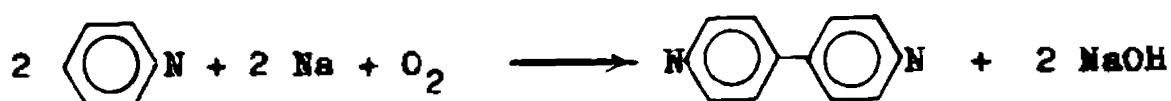
- Această specie paramagnetică nu este un intermediu instabil, ci însuși produsul de reacție la sodare. În timpul reacției de oxidare se regenerează bipiridilul liber, pe lîngă alte reacții de oxidare.

- Eliminarea ionului de hidrură stipulat de /67/ nu a putut fi confirmată în cazul nostru. Această eliminare de hidrură, necesară în cazul formării bipiridilului, ar trebui să fie decelabilă prin adăun de donori de prototni. Nu s-a putut observa degajarea de hidrogen la adăun de acizi.

- Am avansat ipoteza că piridina mereu reacționată poate funcționa ca acceptor de hidrură, formîndu-se speciile anionice reduse (a se vedea mecanismul imaginat pe această bază, redat la pag. 27). În timpul reacției de oxidare are loc și reoxidarea speciei reduse, regenerând piridina. Mecanismul propus are un sprijin în plus în aceea că stoichiometria



coresponde destul de bine cu datele de conversie și randament observate, față de stoichiometria clasică :



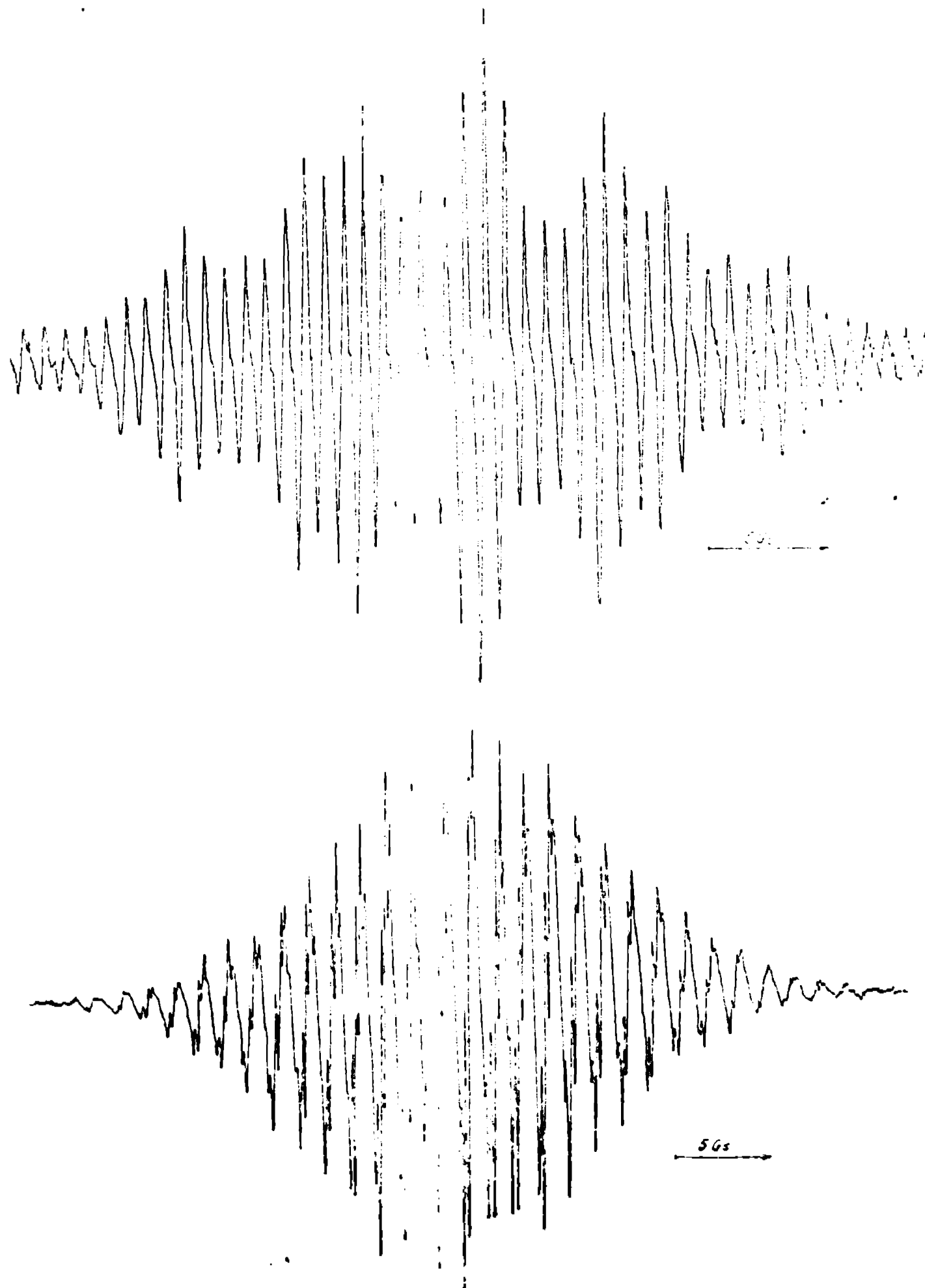
### 3.4. Studiul oxidației piridinei sodate

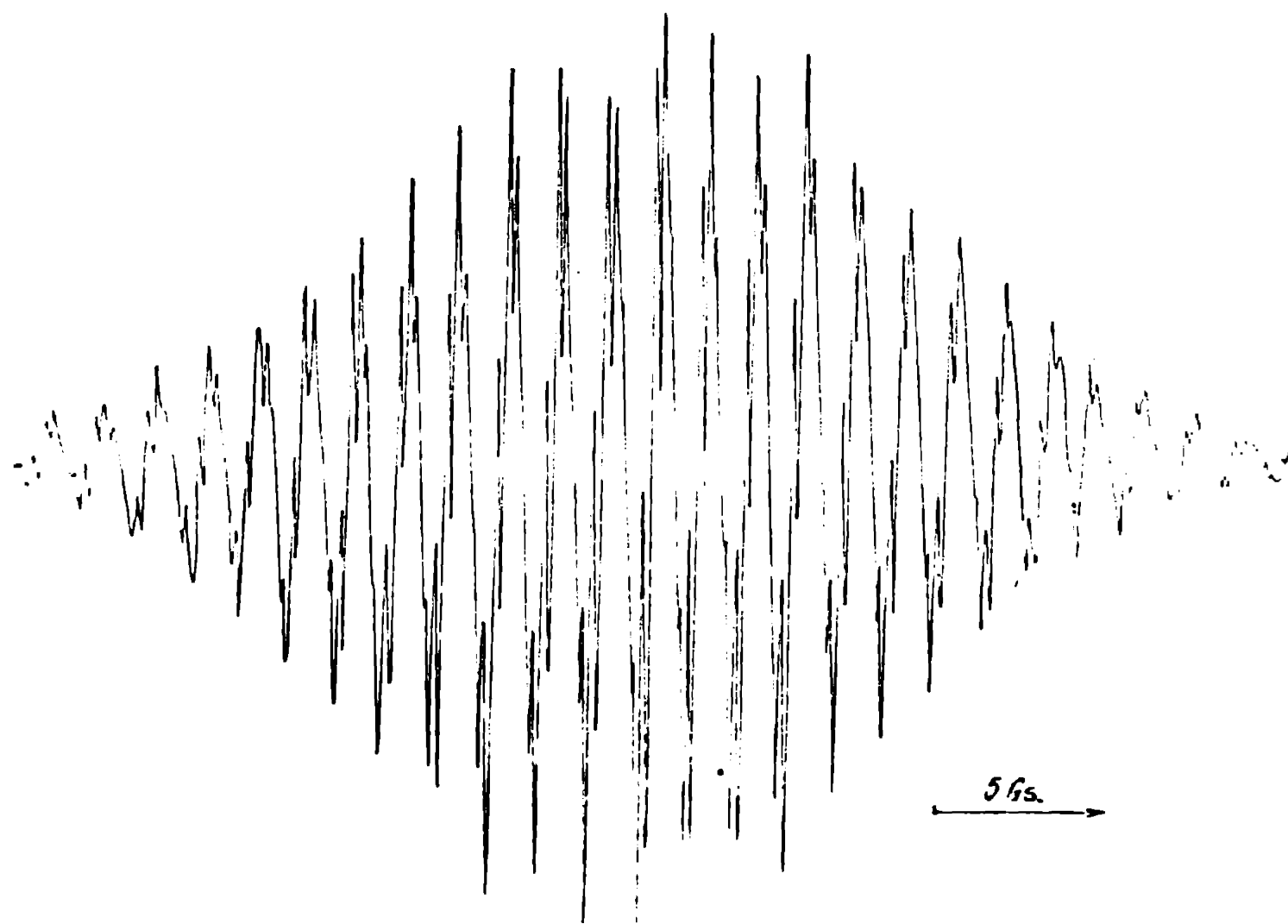
#### 3.4.1. Introducerea

Prin reacția de oxidare a piridinei sodate, în procesul tehnologic propus de obținere a paracuvalului (subcapitolul 3.1) se obține 4,4'-bipiridilul sub o formă liberă, sodiu trecând sub forma de oxid și hidroxid (subcapitolul 3.3). Reacțiile de oxidare s-au efectuat și urmărit la trei scări diferite : în laborator cu cantități de jumătate mol (de piridină), în micro-pilot cu cantități de 8 moli (la scară de 16) și în pilot, la nivelul a 0,5 kmol (scără 50 față de micropilot).

Condițiile reacției de oxidare (stabilite în laborator și verificate în pilot și micropilot) sunt :

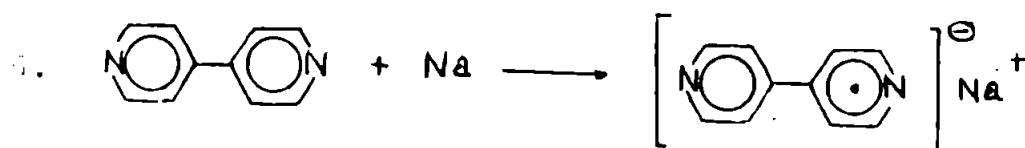
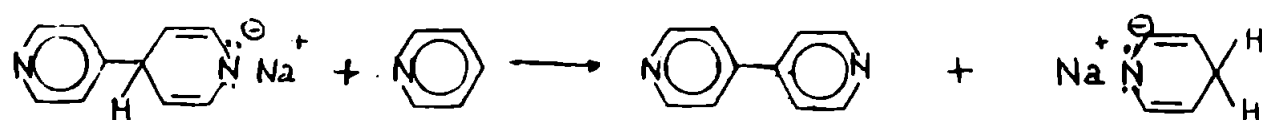
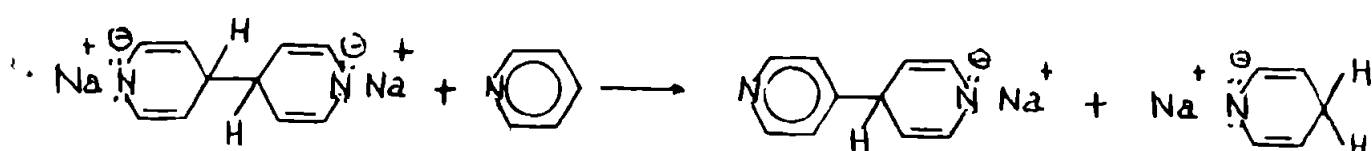
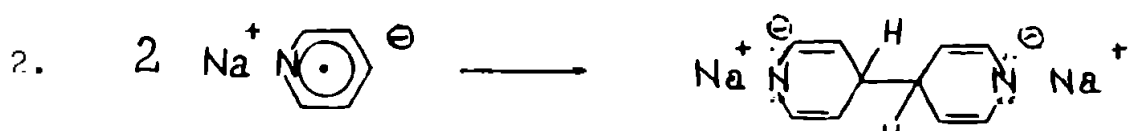
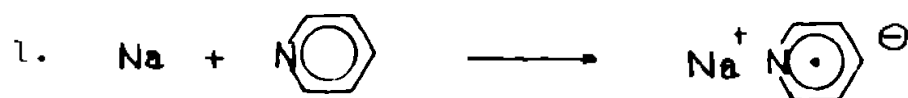
- temperatură : 40-50°C
- presiunea normală
- agitare puternică în vederea omogenizării și facilitării transferului termic
- reacția fiind puternic exotermă, menținerea temperaturii se face prin răcire intensă prin manta
- deasupra masei de reacție se crează o pernă de azot
- oxigenul se introduce în masa de reacție cu ajutorul unui barbotor. Viteza de absorbție a oxigenului în masa de reacție este foarte mare, astfel că la debitele la care s-a lucrat s-a asigurat o absorbție a oxigenului, atât timp cât masa de reacție nu este în cea mai mare parte oxidată. Străpungerea stratului de lichid de către oxidant este un semn că reacția de oxidare este pe terminata.



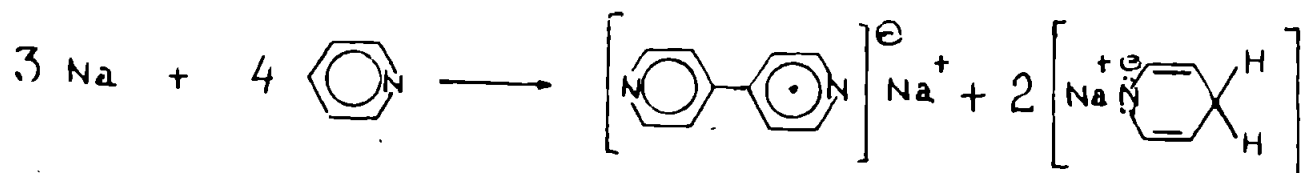


5 Gs.

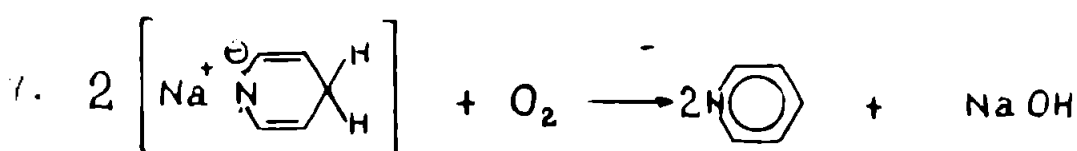
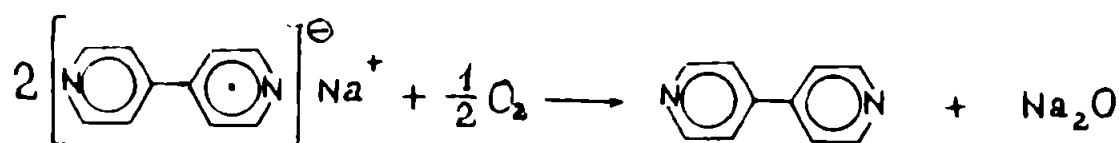
Schemă mecanismului propus (tentativ) la sodare :



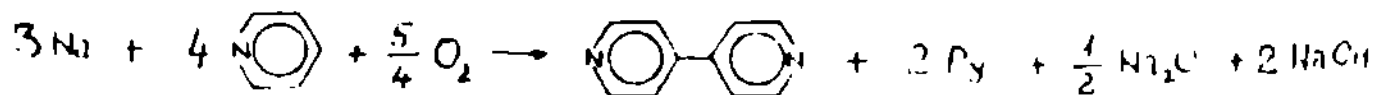
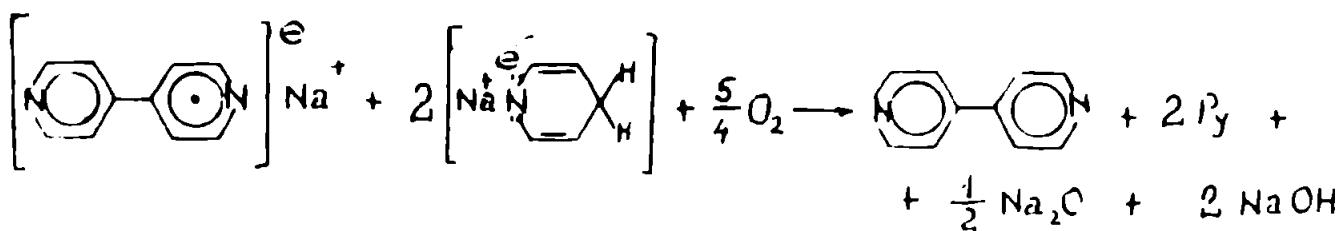
(reacție eloxantă)



(reacție eloxantă)



(reacție eloxantă)



Periculozitatea acestei operații este ușor de înțeles aprioric : în masa de reacție se află pe lîngă H.PT (lichid ne-inflamabil și inoxidabil), o cantitate de piridină sodată, respectiv bipiridil sodat, piridină nereacționată sau regenerată (pînă la 10% față de masa totală de reacție) și în jur de 20% (volume) hidrocarburi utilizate la dispersarea sodiului dar și pentru fluidizarea masei de reacție. Piridina și hidrocarburile sunt compuși combusibili, formînd totodată vaporî care îm amestec cu oxigenul constituie potențiale surse de explozii. Una din sursele de pericol o constituie deci faza gazoasă, care poate fi compusă din oxigen introdus în reacție și vaporî de substanțe organice volatile. Pentru reducerea acestui pericol s-au propus și realizat următoarele măsuri : deasupra masei de reacție se crează o pernă de azot. În timpul conducerii reacției se urmărește conținutul de oxigen în perna de azot printr-un analizor de oxigen continuu (s-a utilizat un analizor tip Kent, bazat pe paramagnetismul oxigenului). Oxidarea se conduce cu astfel de parametri (debit de oxigen) care asigură un conținut de oxigen în fază gazoasă sub 3%. În realitate s-a putut asigura chiar la 200 l/h oxigen în instalație pilot, un conținut de 1-1,5% oxigen în perna de azot, prin faptul că absorbția în masa de reacție este foarte bună. Spre sfîrșitul reacției concentrația de oxigen are tendință de urcare, se reduce debitul oxidantului treptat, pînă se atinge o valoare mică, cînd se consideră reacția încheliată. În modul acesta șările au fost efectuate în condiții de deplină siguranță.

Un alt pericol este legat de fază lichidă. În cazul unor oxidări cu oxigen molecular apar deseori intermediari peroxidaici și hidroperoxidaici /72,73/. Dacă acești compuși labili se acumulează în cantități mai mari (cifra de iod a amestecului depășește 10 mg/g amestec /73/) există pericolul unor explozii în fază lichidă cu efect distrugător deosebit. Se știe /73/ că hidrocarburile alifatici și aromatici se oxidenă cu oxigen molecular doar la temperaturi mult mai mari ( $100-150^{\circ}\text{C}$ ) și prin aceasta pericolul de generare a peroxizilor poate fi localizat la reacția de oxidare a piridinei sodate. Pentru lămurirea acestor aspecte, legate de cinetica reacției de oxidare care are loc cu regim semicontinuu (un reactant, oxigenul, se adaugă continuu peste celălalt), am efectuat un studiu de simulare pe un model de ecuații diferențiale

vectoriale ce va fi prezentat în subcapitolul următor. Opțiunea este justificată prin faptul că reacția are loc în condiții quasiomogene (din punct de vedere al fazei condensate, care este o suspensie fină de compuși organometalici într-un amestec lichid) pe de o parte, pe de alta barbotarea oxigenului și absorbția sa este un proces rapid care nu afectează mersul reacției cît timp acesta are loc. Se poate deci neglija transferul de masă de la fază gazosă la cea lichidă. Ca atare, este fezabil un model cu parametri concentrații, de tipul ecuațiilor diferențiale.

### 3.4.2. Prezentarea modelului de simulare a reacției de oxidare

Lămurirea dependenței temporare a sistemelor chimice în reacție a constituit dintotdeauna o preocupare de bază a cinematicii chimice, ne lîngă elucidarea naturii modificărilor la nivel molecular și a influenței factorilor asupra vitezei de reacție. Motivul pentru care "cinematica chimică" se bucură mai nou, de o atenție mare, este că acest punct de vedere se impune la caracterizarea cantitativă, dinamică a sistemelor chimice (chiar și în chimia analitică). În expunerea de față propunem o abordare din punct de vedere unitar a diferitelor scheme de reacție (vezi și /56/) și tratăm ceea ce în teoria sistemelor se numește "problema directă" /12/, adică calcularea comportării în timp a concentrațiilor (stării) unui sistem cu schema (strucțura) și constante de viteză (parametrii) cunoscute. Această abordare unitară, diferă esențial de cea clasică, care a fost dictată de relativ rarele cazuri care permit obținerea de soluții analitice a sistemului diferențial.

Punctul de vedere unitar (independent de schema și de expresiile de viteză particulare) devine deosebit de interesant cind tratăm modelele matematice prin metode numerice, aplicabile în condiții extrem de generale.

Pentru scrierea unitară a sistemului de ecuații diferen-

țiale introducem următoarele noțiuni (vezi /68,69/, spre deosebire însă de /30/, care se ocupă de rezolvarea digitală scriind însă programul pentru fiecare sistem particular) :

- vectorul concentrațiilor ( $\bar{x}$ ) al cărui componente sunt concentrațiile tuturor reactanților, produșilor, intermediarilor și catalizatorilor implicate în reacție, luate într-o ordine oarecare. Vectorul concentrațiilor, este vectorul mărimilor de stare, va fi o funcție de timp, numărul componentelor fiind n. Dacă avem în vedere sistemul cu volum constant, derivata acestui vector va fi totuși vectorul vitezelor :

$$\dot{\bar{x}} = \left( \frac{d}{dt} \bar{x} \right)' = \left( \frac{dx_1}{dt}, \frac{dx_2}{dt}, \dots, \frac{dx_N}{dt} \right)',$$

Notăm aici cu apostrof, transpunerea vectorului, modul de reprezentare standard al vectorilor fiind acela de coloană.

- matricea stoichiometrică /69/ are dimensiunea  $m \times n$  pentru m reacții interconectate și rezultă prin scrierea algebrică a reacțiilor :

$$\begin{aligned} v_{11}x_1 + v_{12}x_2 + \dots + v_{1n}x_n &= 0 \\ v_{21}x_1 + v_{22}x_2 + \dots + v_{2n}x_n &= 0 \text{ etc.} \end{aligned}$$

In scrierea algebrică coeficienții stoichiometrici au următoarea semnificație :

- $v_{ij} = 0$  dacă componenta j nu reacționează în reacția i
- $v_{ij} < 0$  și întreg, dacă  $x_j$  este reactant în reacția i
- $v_{ij} > 0$  și întreg, dacă  $x_j$  este produs în reacția i.

Matricea stoichiometrică are deci structura :

$$NIU = \{v_{ij}\} \quad i = 1, \dots, m \quad 3 \\ j = 1, \dots, n$$

- matricea ordinelor de reacție, conține ordinul cu care componenta j intră la reacția i în expresia vitezei de reacție :

$$\text{ORD} = \{n_{ij}\} \quad i = 1, \dots, m \quad 4 \\ j = 1, \dots, n$$

$n_{ij}$  va fi de obicei un număr natural și mic, 1 sau 2 (la reacțiile considerate elementare), va fi zero, dacă o specie moleculară j nu participă la expresia vitezei de reacție.

Vectorul expresiilor vitezelor de reacție,  $\bar{r}$ , are m compo-

nente (egal cu numărul reacțiilor), funcții de concentrații, de ordine de reacție și de constante de viteză :

$$\bar{r} = (k_1 \prod_j x_j^{n_{1j}}, k_2 \prod_j x_j^{n_{2j}}, \dots, k_m \prod_j x_j^{n_{mj}})$$
5

Cu ajutorul acestor noțiuni sistemul chimic dinamic poate fi caracterizat cu ajutorul unui sistem de ecuații diferențiale de ordinul 1 :

$$\frac{dx_1}{dt} = v_{11} k_1 \prod_j x_j^{n_{1j}} + v_{12} k_2 \prod_j x_j^{n_{2j}} + \dots$$
6

sau, pe scurt, sub formă vectorială :

$$\frac{d\bar{x}}{dt} = NIU^* \cdot \bar{r}$$
7

Modelul expus este compatibil cu scheme oricără de complexe de reacții. El constituie un sistem de ecuații diferențiale în general neliniare, autonom (variabila timp nu apare), căci coeficientii stoichiometrici, constantele de viteză, nu depind de timp. Modelul se poate extinde și la altfel de sisteme. Dacă sistemul reactant nu-și păstrează volumul se pornește de la ecuația diferențială :

$$\frac{d(Vc_1)}{dt} = V \frac{dc_1}{dt} + c_1 \frac{dv}{dt}$$
8

introducind  $x_1 = Vc_1$ , conversia componentei i pe reactor drept funcție necunoscută, obținem :

$$\frac{dx_1}{dt} = \frac{\sum v_{ij} r_j(x_i)}{V \sum_{i=1}^{n-1} n_{ij}} + x_1 \frac{q}{V}$$
9

unde am notat  $q = \frac{dv}{dt}$ , iar expresia vitezelor,  $r$ , a devenit funcție de noile mărimi  $x_i$ , conversiile.

Astfel s-a obținut modelul unui reactor cu volum variabil, realizat de exemplu în cazul unui reactor semicontinuu. Totodată s-a realizat modelul unui sistem cu intrare. Putem considera  $q$ , o mărime de intrare, deoarece dependența de timp a lui  $q$  poate fi aleasă independent de valoarea variabilelor de stare (concentrații) și ea determină împreună cu acestea ieșirea sistemului, care va fi trivială : chiar starea se poate considera ieșirea sistemului.

In cazul in care reactantul adaugat nu afecteaza sensibil volumul de reactie,  $dV = 0$  (practic cresterea de volum este neglijabila), obtinem un sistem de forma :

$$\frac{d\bar{x}}{dt} = NIU' \cdot \bar{x} + \bar{x}_{int}^q$$

/70

aici  $\bar{x}_{int}$  este vectorul concentratiilor de alimentare, care indică care componentă se alimentează continuu,  $q$  fiind debitul de alimentare continuu.

In ceea ce priveste sistemele de ecuații diferențiale obtinute ele sunt neliniare in general, sau liniare (cind toate vitezele depind de o singură concentrație și cind ordinul tuturor reacțiilor este unu). In cazuri excepționale se obtin deci sisteme liniare cu coeficienți constanti, omogene (in sistemul inchis modelul 7), sau neomogene (modelul 10). Aceste două se pot rezolva analitic in unele cazuri. In cazuri mai generale, și întotdeauna cind ordinele de reacție nu sunt unitare, se obtin soluții doar prin metode numerice /70/.

### 3.4.3. Alcătuirea programului de simulare și testarea sa

Pentru integrarea sistemului de ecuații diferențiale ale modelelor expuse in subcapitolul 4.2, am intocmit programul DINAMIC in FORTRAN. Programul are 117 cartele (fără cele de date) și este organizat după schema bloc din pagina 85. In programul principal se introduc datele structurale, parametrii sistemului dinamic și valorile initiale ale mărimilor de stare, toate in matricea de valori reale cu numele de NIU, primele rânduri conțin coeficienții stoichiometriici, in fiecare rind coeficienții unei reacții, următorul rind conține valoarea initială a mărimilor de stare (concentrațiile initiale), iar ultimul rind conține constantele de viteză ale tuturor reacțiilor. Ordinele de reacție se introduce sub forma matricei de ordine. Toate aceste date sunt totodată afișate pe listing după care urmează integrarea ecuațiilor diferențiale. Se utilizează algoritmul de integrare aproximativă Runge Kutta /70/, cu pasul de integrare adaptiv : fiecare

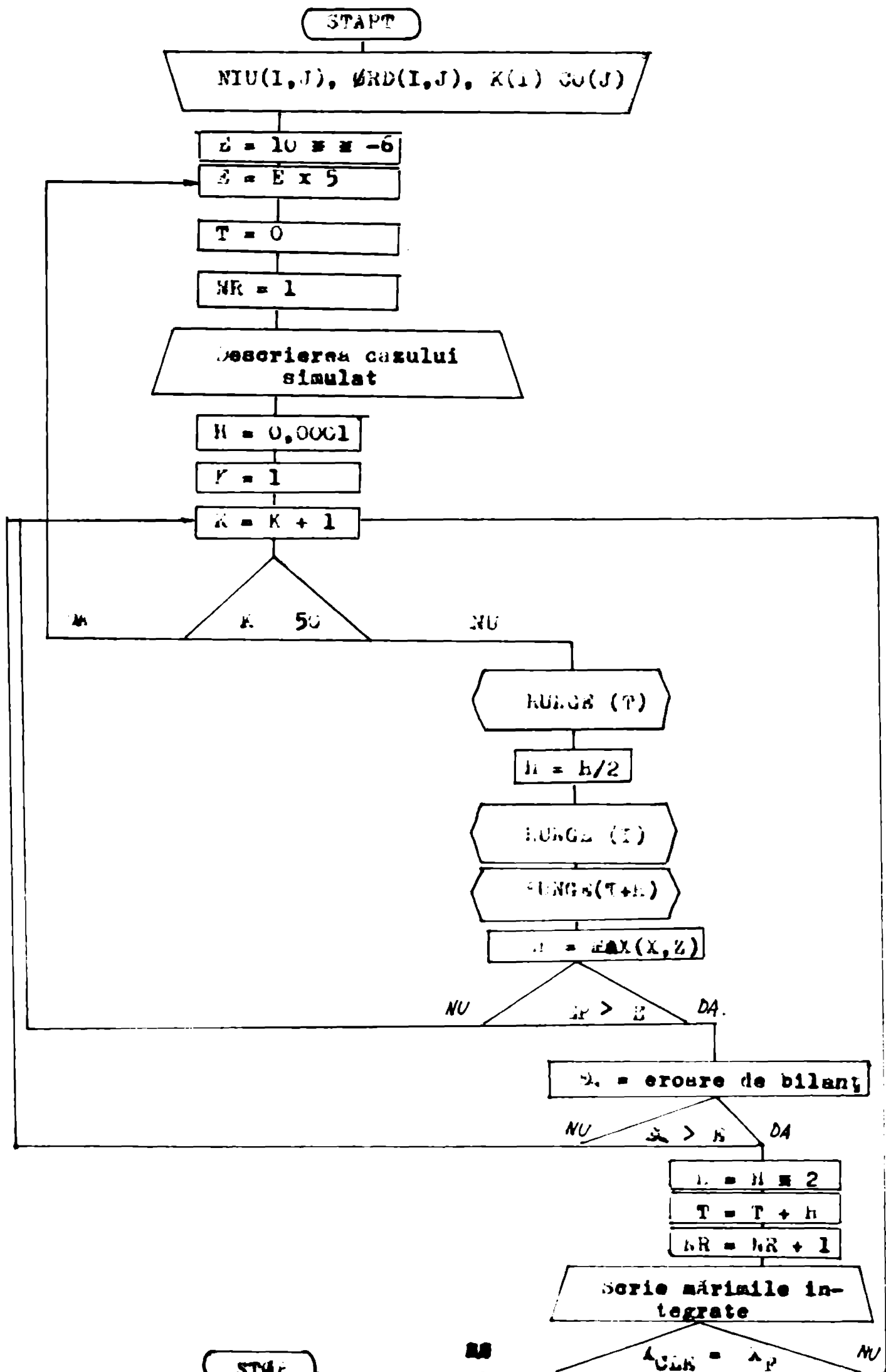
pas de integrare este verificat (prin integrare cu pas înjumătățit), iar în funcție de performanța realizată, adică în funcție de valoarea erorii realizate se optează pentru :

- continuarea cu același pas
- continuarea cu pasul de valoare înjumătățită
- continuarea cu pasul de valoarea dublă

Integrarea se realizează în subprogramul subrutină cu numele de RUNGE, care utilizează la rândul său subrutina DERIV, ce calculează partea dreaptă a ecuațiilor diferențiale.

La fiecare pas se înscriu într-un tabel valorile variabilelor de stare după care se reia integrarea. Integrarea se consideră terminată și se oprește în momentul în care una din variabilele de stare, aleasă ca variabilă cheie are o valoare prestatabilită. Subrutele RUNGE au o structură simplă, lineară constând din 4 estimări în diverse puncte ale derivatei. În subrutina DERIV s-a prevăzut posibilitatea realizării atât a modelului fără intrare 7, cât și a modelului cu intrare 9 sau 10 la aceeași integrare. Până la atingerea valorii  $T = T_0$  se integrează sistemul cu intrare, sistemul semicontinuu, apoi se trece la intrarea nulă și se integrează sistemul fără intrare (se află astfel ce se întâmplă în timpul "perfecționării" azuale în multe reacții conduse semicontinuu). Timpul necesar unei integrări variază în funcție de natura parametrilor de la cîteva secunde la cîteva minute. Am putut depista sistemul "rău" definit, care nu ar accepta un pas de integrare mai mare de  $10^{-5}$ , la care în consecință și timpul de integrare s-a lungit apreciabil. În continuare se reproduce un listing al programului DINAMIC. De asemenea se dă un tabel al variabilelor programului alături de variabilele modelului expus în subcapitolul 3.4.2.

Schemă bloc a programului DINAMIC



INAHIC-ANI/824, PLAKELVI, LU-0; (126,LT)  
LE FORTRAN

DINAMIC 10/02/78 21.11.03

```

EXTERNAL DERIV
REAL NTU
DIMENSION NIU(10,10),CRD(10,10),X(10),Y(10),Z(10)
COMMON NIU,ORD,N,M,H
READ S1,F1,L1,RF
N2EN+2
104 PFA0 52,(NIU(I,J),I=1,N),J=1,N2)
105 PFA0 52,(NTU(I,J),I=1,N)
51 FORMAT(S1S,F6,4)
52 FORMAT(10F8,4)
DO 1 I=1,N
DO 1 J=1,N
1 NIU(I,J)=NIU(I,J)
F=0.00001
100 FREE+5
DO 3 I=1,N
Y(I)=NIU(I,N+1)
3 Y(I)=Y(I)
T=0
NRE=1
PRINT 83,M,N
DO 8 J=1,N
8 PRINT 85,(NIU(I,J),I=1,N)
DO 9 J=1,N
9 PRINT 85,(CRD(I,J),I=1,N)
PRINT F4.1,XF,(NIU(I,N+1),I=1,N),(NIU(I,N+2)+I=1,N)
PRINT F1.0
PRINT 82,NTU,T,(X(I),I=1,N)
81 FORMAT(1>,//,2(X,'VECTOAREL COMPONENTELOR',/,.3),/4Q,CRT,/,T)4,'TIME
CUT.REL',/,T25,'COMPONENTELE IN ORDINEA MATRICEI NTU',Y110,'F 8 ',/
C610,3,2)
82 FORMAT(5>,I>,5X,F10.3,10E11,4)
83 FORMAT(20Y,'INAHIC-ANI SISTEM',13,'-DIMENSIALE,LU',13,'CONSTAN
TE DE TIEST',/20Y,'MATRICEA COEFFICIENTILOR',/13)
84 FORMAT(20>,51D16,E16.13,10E11,F9.4,
6/201,'DATELEA TIESTATE',90(2X,F8.4),/201,'CONSTANTELE DE TIEMPO APIAT
CIVEL',/201,10E11,4)
H=0,CC00L1
85 FORMAT(5Y,10F10.1)
101 K=1
102 K=N+1
TF(K,GT,50)GO TO 100
CALL RUNGE(DERIV,T)
DO 4 T=T1,M
4 Y(I)=Y(I)
5 Y(I)=Y(I)
H=H/2.

```

DINAMIC 10/02/78 21.11.03

```

CALL RUNGE(DERIV,T)
CALL RUNGE(DERTM,T+H)
FORABS(X(1)-Z(1))
DO 2 I=2,N
2 FFRMAX1(EP,AUS(Y(I)-Z(I)))
FSTL01,EP
IF(LRS(EP),0,T,100)TO 10
10 ((1,-X(1))/2,-Y(2)-Y(2)),CT,F000 TO 10
H=H/2.
T=T+H
FFRMAX1
PP1,T,B2,EP,T,X(1),I=1,N)
203 I=1,N
153 Y(I),T,0,0 GO TO 101
154 CT,T,0,0 GO TO 102
155 CT,T,0,0 GO TO 103
156 CT,T,0,0 GO TO 104
157 CT,T,0,0 GO TO 105
158 CT,T,0,0 GO TO 106
159 CT,T,0,0 GO TO 107
160 CT,T,0,0 GO TO 108
161 CT,T,0,0 GO TO 109
162 CT,T,0,0 GO TO 110
163 CT,T,0,0 GO TO 111
164 CT,T,0,0 GO TO 112
165 CT,T,0,0 GO TO 113
166 CT,T,0,0 GO TO 114
167 CT,T,0,0 GO TO 115
168 CT,T,0,0 GO TO 116
169 CT,T,0,0 GO TO 117
170 CT,T,0,0 GO TO 118
171 CT,T,0,0 GO TO 119
172 CT,T,0,0 GO TO 120
173 CT,T,0,0 GO TO 121
174 CT,T,0,0 GO TO 122
175 CT,T,0,0 GO TO 123
176 CT,T,0,0 GO TO 124
177 CT,T,0,0 GO TO 125
178 CT,T,0,0 GO TO 126
179 CT,T,0,0 GO TO 127
180 CT,T,0,0 GO TO 128
181 CT,T,0,0 GO TO 129
182 CT,T,0,0 GO TO 130
183 CT,T,0,0 GO TO 131
184 CT,T,0,0 GO TO 132
185 CT,T,0,0 GO TO 133
186 CT,T,0,0 GO TO 134
187 CT,T,0,0 GO TO 135
188 CT,T,0,0 GO TO 136
189 CT,T,0,0 GO TO 137
190 CT,T,0,0 GO TO 138
191 CT,T,0,0 GO TO 139
192 CT,T,0,0 GO TO 140
193 CT,T,0,0 GO TO 141
194 CT,T,0,0 GO TO 142
195 CT,T,0,0 GO TO 143
196 CT,T,0,0 GO TO 144
197 CT,T,0,0 GO TO 145
198 CT,T,0,0 GO TO 146
199 CT,T,0,0 GO TO 147
200 CT,T,0,0 GO TO 148
201 CT,T,0,0 GO TO 149
202 CT,T,0,0 GO TO 150
203 CT,T,0,0 GO TO 151
204 CT,T,0,0 GO TO 152
205 CT,T,0,0 GO TO 153
206 CT,T,0,0 GO TO 154
207 CT,T,0,0 GO TO 155
208 CT,T,0,0 GO TO 156
209 CT,T,0,0 GO TO 157
210 CT,T,0,0 GO TO 158
211 CT,T,0,0 GO TO 159
212 CT,T,0,0 GO TO 160
213 CT,T,0,0 GO TO 161
214 CT,T,0,0 GO TO 162
215 CT,T,0,0 GO TO 163
216 CT,T,0,0 GO TO 164
217 CT,T,0,0 GO TO 165
218 CT,T,0,0 GO TO 166
219 CT,T,0,0 GO TO 167
220 CT,T,0,0 GO TO 168
221 CT,T,0,0 GO TO 169
222 CT,T,0,0 GO TO 170
223 CT,T,0,0 GO TO 171
224 CT,T,0,0 GO TO 172
225 CT,T,0,0 GO TO 173
226 CT,T,0,0 GO TO 174
227 CT,T,0,0 GO TO 175
228 CT,T,0,0 GO TO 176
229 CT,T,0,0 GO TO 177
230 CT,T,0,0 GO TO 178
231 CT,T,0,0 GO TO 179
232 CT,T,0,0 GO TO 180
233 CT,T,0,0 GO TO 181
234 CT,T,0,0 GO TO 182
235 CT,T,0,0 GO TO 183
236 CT,T,0,0 GO TO 184
237 CT,T,0,0 GO TO 185
238 CT,T,0,0 GO TO 186
239 CT,T,0,0 GO TO 187
240 CT,T,0,0 GO TO 188
241 CT,T,0,0 GO TO 189
242 CT,T,0,0 GO TO 190
243 CT,T,0,0 GO TO 191
244 CT,T,0,0 GO TO 192
245 CT,T,0,0 GO TO 193
246 CT,T,0,0 GO TO 194
247 CT,T,0,0 GO TO 195
248 CT,T,0,0 GO TO 196
249 CT,T,0,0 GO TO 197
250 CT,T,0,0 GO TO 198
251 CT,T,0,0 GO TO 199
252 CT,T,0,0 GO TO 200
253 CT,T,0,0 GO TO 201
254 CT,T,0,0 GO TO 202
255 CT,T,0,0 GO TO 203
256 CT,T,0,0 GO TO 204
257 CT,T,0,0 GO TO 205
258 CT,T,0,0 GO TO 206
259 CT,T,0,0 GO TO 207
260 CT,T,0,0 GO TO 208
261 CT,T,0,0 GO TO 209
262 CT,T,0,0 GO TO 210
263 CT,T,0,0 GO TO 211
264 CT,T,0,0 GO TO 212
265 CT,T,0,0 GO TO 213
266 CT,T,0,0 GO TO 214
267 CT,T,0,0 GO TO 215
268 CT,T,0,0 GO TO 216
269 CT,T,0,0 GO TO 217
270 CT,T,0,0 GO TO 218
271 CT,T,0,0 GO TO 219
272 CT,T,0,0 GO TO 220
273 CT,T,0,0 GO TO 221
274 CT,T,0,0 GO TO 222
275 CT,T,0,0 GO TO 223
276 CT,T,0,0 GO TO 224
277 CT,T,0,0 GO TO 225
278 CT,T,0,0 GO TO 226
279 CT,T,0,0 GO TO 227
280 CT,T,0,0 GO TO 228
281 CT,T,0,0 GO TO 229
282 CT,T,0,0 GO TO 230
283 CT,T,0,0 GO TO 231
284 CT,T,0,0 GO TO 232
285 CT,T,0,0 GO TO 233
286 CT,T,0,0 GO TO 234
287 CT,T,0,0 GO TO 235
288 CT,T,0,0 GO TO 236
289 CT,T,0,0 GO TO 237
290 CT,T,0,0 GO TO 238
291 CT,T,0,0 GO TO 239
292 CT,T,0,0 GO TO 240
293 CT,T,0,0 GO TO 241
294 CT,T,0,0 GO TO 242
295 CT,T,0,0 GO TO 243
296 CT,T,0,0 GO TO 244
297 CT,T,0,0 GO TO 245
298 CT,T,0,0 GO TO 246
299 CT,T,0,0 GO TO 247
300 CT,T,0,0 GO TO 248
301 CT,T,0,0 GO TO 249
302 CT,T,0,0 GO TO 250
303 CT,T,0,0 GO TO 251
304 CT,T,0,0 GO TO 252
305 CT,T,0,0 GO TO 253
306 CT,T,0,0 GO TO 254
307 CT,T,0,0 GO TO 255
308 CT,T,0,0 GO TO 256
309 CT,T,0,0 GO TO 257
310 CT,T,0,0 GO TO 258
311 CT,T,0,0 GO TO 259
312 CT,T,0,0 GO TO 260
313 CT,T,0,0 GO TO 261
314 CT,T,0,0 GO TO 262
315 CT,T,0,0 GO TO 263
316 CT,T,0,0 GO TO 264
317 CT,T,0,0 GO TO 265
318 CT,T,0,0 GO TO 266
319 CT,T,0,0 GO TO 267
320 CT,T,0,0 GO TO 268
321 CT,T,0,0 GO TO 269
322 CT,T,0,0 GO TO 270
323 CT,T,0,0 GO TO 271
324 CT,T,0,0 GO TO 272
325 CT,T,0,0 GO TO 273
326 CT,T,0,0 GO TO 274
327 CT,T,0,0 GO TO 275
328 CT,T,0,0 GO TO 276
329 CT,T,0,0 GO TO 277
330 CT,T,0,0 GO TO 278
331 CT,T,0,0 GO TO 279
332 CT,T,0,0 GO TO 280
333 CT,T,0,0 GO TO 281
334 CT,T,0,0 GO TO 282
335 CT,T,0,0 GO TO 283
336 CT,T,0,0 GO TO 284
337 CT,T,0,0 GO TO 285
338 CT,T,0,0 GO TO 286
339 CT,T,0,0 GO TO 287
340 CT,T,0,0 GO TO 288
341 CT,T,0,0 GO TO 289
342 CT,T,0,0 GO TO 290
343 CT,T,0,0 GO TO 291
344 CT,T,0,0 GO TO 292
345 CT,T,0,0 GO TO 293
346 CT,T,0,0 GO TO 294
347 CT,T,0,0 GO TO 295
348 CT,T,0,0 GO TO 296
349 CT,T,0,0 GO TO 297
350 CT,T,0,0 GO TO 298
351 CT,T,0,0 GO TO 299
352 CT,T,0,0 GO TO 300
353 CT,T,0,0 GO TO 301
354 CT,T,0,0 GO TO 302
355 CT,T,0,0 GO TO 303
356 CT,T,0,0 GO TO 304
357 CT,T,0,0 GO TO 305
358 CT,T,0,0 GO TO 306
359 CT,T,0,0 GO TO 307
360 CT,T,0,0 GO TO 308
361 CT,T,0,0 GO TO 309
362 CT,T,0,0 GO TO 310
363 CT,T,0,0 GO TO 311
364 CT,T,0,0 GO TO 312
365 CT,T,0,0 GO TO 313
366 CT,T,0,0 GO TO 314
367 CT,T,0,0 GO TO 315
368 CT,T,0,0 GO TO 316
369 CT,T,0,0 GO TO 317
370 CT,T,0,0 GO TO 318
371 CT,T,0,0 GO TO 319
372 CT,T,0,0 GO TO 320
373 CT,T,0,0 GO TO 321
374 CT,T,0,0 GO TO 322
375 CT,T,0,0 GO TO 323
376 CT,T,0,0 GO TO 324
377 CT,T,0,0 GO TO 325
378 CT,T,0,0 GO TO 326
379 CT,T,0,0 GO TO 327
380 CT,T,0,0 GO TO 328
381 CT,T,0,0 GO TO 329
382 CT,T,0,0 GO TO 330
383 CT,T,0,0 GO TO 331
384 CT,T,0,0 GO TO 332
385 CT,T,0,0 GO TO 333
386 CT,T,0,0 GO TO 334
387 CT,T,0,0 GO TO 335
388 CT,T,0,0 GO TO 336
389 CT,T,0,0 GO TO 337
390 CT,T,0,0 GO TO 338
391 CT,T,0,0 GO TO 339
392 CT,T,0,0 GO TO 340
393 CT,T,0,0 GO TO 341
394 CT,T,0,0 GO TO 342
395 CT,T,0,0 GO TO 343
396 CT,T,0,0 GO TO 344
397 CT,T,0,0 GO TO 345
398 CT,T,0,0 GO TO 346
399 CT,T,0,0 GO TO 347
400 CT,T,0,0 GO TO 348
401 CT,T,0,0 GO TO 349
402 CT,T,0,0 GO TO 350
403 CT,T,0,0 GO TO 351
404 CT,T,0,0 GO TO 352
405 CT,T,0,0 GO TO 353
406 CT,T,0,0 GO TO 354
407 CT,T,0,0 GO TO 355
408 CT,T,0,0 GO TO 356
409 CT,T,0,0 GO TO 357
410 CT,T,0,0 GO TO 358
411 CT,T,0,0 GO TO 359
412 CT,T,0,0 GO TO 360
413 CT,T,0,0 GO TO 361
414 CT,T,0,0 GO TO 362
415 CT,T,0,0 GO TO 363
416 CT,T,0,0 GO TO 364
417 CT,T,0,0 GO TO 365
418 CT,T,0,0 GO TO 366
419 CT,T,0,0 GO TO 367
420 CT,T,0,0 GO TO 368
421 CT,T,0,0 GO TO 369
422 CT,T,0,0 GO TO 370
423 CT,T,0,0 GO TO 371
424 CT,T,0,0 GO TO 372
425 CT,T,0,0 GO TO 373
426 CT,T,0,0 GO TO 374
427 CT,T,0,0 GO TO 375
428 CT,T,0,0 GO TO 376
429 CT,T,0,0 GO TO 377
430 CT,T,0,0 GO TO 378
431 CT,T,0,0 GO TO 379
432 CT,T,0,0 GO TO 380
433 CT,T,0,0 GO TO 381
434 CT,T,0,0 GO TO 382
435 CT,T,0,0 GO TO 383
436 CT,T,0,0 GO TO 384
437 CT,T,0,0 GO TO 385
438 CT,T,0,0 GO TO 386
439 CT,T,0,0 GO TO 387
440 CT,T,0,0 GO TO 388
441 CT,T,0,0 GO TO 389
442 CT,T,0,0 GO TO 390
443 CT,T,0,0 GO TO 391
444 CT,T,0,0 GO TO 392
445 CT,T,0,0 GO TO 393
446 CT,T,0,0 GO TO 394
447 CT,T,0,0 GO TO 395
448 CT,T,0,0 GO TO 396
449 CT,T,0,0 GO TO 397
450 CT,T,0,0 GO TO 398
451 CT,T,0,0 GO TO 399
452 CT,T,0,0 GO TO 400
453 CT,T,0,0 GO TO 401
454 CT,T,0,0 GO TO 402
455 CT,T,0,0 GO TO 403
456 CT,T,0,0 GO TO 404
457 CT,T,0,0 GO TO 405
458 CT,T,0,0 GO TO 406
459 CT,T,0,0 GO TO 407
460 CT,T,0,0 GO TO 408
461 CT,T,0,0 GO TO 409
462 CT,T,0,0 GO TO 410
463 CT,T,0,0 GO TO 411
464 CT,T,0,0 GO TO 412
465 CT,T,0,0 GO TO 413
466 CT,T,0,0 GO TO 414
467 CT,T,0,0 GO TO 415
468 CT,T,0,0 GO TO 416
469 CT,T,0,0 GO TO 417
470 CT,T,0,0 GO TO 418
471 CT,T,0,0 GO TO 419
472 CT,T,0,0 GO TO 420
473 CT,T,0,0 GO TO 421
474 CT,T,0,0 GO TO 422
475 CT,T,0,0 GO TO 423
476 CT,T,0,0 GO TO 424
477 CT,T,0,0 GO TO 425
478 CT,T,0,0 GO TO 426
479 CT,T,0,0 GO TO 427
480 CT,T,0,0 GO TO 428
481 CT,T,0,0 GO TO 429
482 CT,T,0,0 GO TO 430
483 CT,T,0,0 GO TO 431
484 CT,T,0,0 GO TO 432
485 CT,T,0,0 GO TO 433
486 CT,T,0,0 GO TO 434
487 CT,T,0,0 GO TO 435
488 CT,T,0,0 GO TO 436
489 CT,T,0,0 GO TO 437
490 CT,T,0,0 GO TO 438
491 CT,T,0,0 GO TO 439
492 CT,T,0,0 GO TO 440
493 CT,T,0,0 GO TO 441
494 CT,T,0,0 GO TO 442
495 CT,T,0,0 GO TO 443
496 CT,T,0,0 GO TO 444
497 CT,T,0,0 GO TO 445
498 CT,T,0,0 GO TO 446
499 CT,T,0,0 GO TO 447
500 CT,T,0,0 GO TO 448
501 CT,T,0,0 GO TO 449
502 CT,T,0,0 GO TO 450
503 CT,T,0,0 GO TO 451
504 CT,T,0,0 GO TO 452
505 CT,T,0,0 GO TO 453
506 CT,T,0,0 GO TO 454
507 CT,T,0,0 GO TO 455
508 CT,T,0,0 GO TO 456
509 CT,T,0,0 GO TO 457
510 CT,T,0,0 GO TO 458
511 CT,T,0,0 GO TO 459
512 CT,T,0,0 GO TO 460
513 CT,T,0,0 GO TO 461
514 CT,T,0,0 GO TO 462
515 CT,T,0,0 GO TO 463
516 CT,T,0,0 GO TO 464
517 CT,T,0,0 GO TO 465
518 CT,T,0,0 GO TO 466
519 CT,T,0,0 GO TO 467
520 CT,T,0,0 GO TO 468
521 CT,T,0,0 GO TO 469
522 CT,T,0,0 GO TO 470
523 CT,T,0,0 GO TO 471
524 CT,T,0,0 GO TO 472
525 CT,T,0,0 GO TO 473
526 CT,T,0,0 GO TO 474
527 CT,T,0,0 GO TO 475
528 CT,T,0,0 GO TO 476
529 CT,T,0,0 GO TO 477
530 CT,T,0,0 GO TO 478
531 CT,T,0,0 GO TO 479
532 CT,T,0,0 GO TO 480
533 CT,T,0,0 GO TO 481
534 CT,T,0,0 GO TO 482
535 CT,T,0,0 GO TO 483
536 CT,T,0,0 GO TO 484
537 CT,T,0,0 GO TO 485
538 CT,T,0,0 GO TO 486
539 CT,T,0,0 GO TO 487
540 CT,T,0,0 GO TO 488
541 CT,T,0,0 GO TO 489
542 CT,T,0,0 GO TO 490
543 CT,T,0,0 GO TO 491
544 CT,T,0,0 GO TO 492
545 CT,T,0,0 GO TO 493
546 CT,T,0,0 GO TO 494
547 CT,T,0,0 GO TO 495
548 CT,T,0,0 GO TO 496
549 CT,T,0,0 GO TO 497
550 CT,T,0,0 GO TO 498
551 CT,T,0,0 GO TO 499
552 CT,T,0,0 GO TO 500
553 CT,T,0,0 GO TO 501
554 CT,T,0,0 GO TO 502
555 CT,T,0,0 GO TO 503
556 CT,T,0,0 GO TO 504
557 CT,T,0,0 GO TO 505
558 CT,T,0,0 GO TO 506
559 CT,T,0,0 GO TO 507
560 CT,T,0,0 GO TO 508
561 CT,T,0,0 GO TO 509
562 CT,T,0,0 GO TO 510
563 CT,T,0,0 GO TO 511
564 CT,T,0,0 GO TO 512
565 CT,T,0,0 GO TO 513
566 CT,T,0,0 GO TO 514
567 CT,T,0,0 GO TO 515
568 CT,T,0,0 GO TO 516
569 CT,T,0,0 GO TO 517
570 CT,T,0,0 GO TO 518
571 CT,T,0,0 GO TO 519
572 CT,T,0,0 GO TO 520
573 CT,T,0,0 GO TO 521
574 CT,T,0,0 GO TO 522
575 CT,T,0,0 GO TO 523
576 CT,T,0,0 GO TO 524
577 CT,T,0,0 GO TO 525
578 CT,T,0,0 GO TO 526
579 CT,T,0,0 GO TO 527
580 CT,T,0,0 GO TO 528
581 CT,T,0,0 GO TO 529
582 CT,T,0,0 GO TO 530
583 CT,T,0,0 GO TO 531
584 CT,T,0,0 GO TO 532
585 CT,T,0,0 GO TO 533
586 CT,T,0,0 GO TO 534
587 CT,T,0,0 GO TO 535
588 CT,T,0,0 GO TO 536
589 CT,T,0,0 GO TO 537
590 CT,T,0,0 GO TO 538
591 CT,T,0,0 GO TO 539
592 CT,T,0,0 GO TO 540
593 CT,T,0,0 GO TO 541
594 CT,T,0,0 GO TO 542
595 CT,T,0,0 GO TO 543
596 CT,T,0,0 GO TO 544
597 CT,T,0,0 GO TO 545
598 CT,T,0,0 GO TO 546
599 CT,T,0,0 GO TO 547
600 CT,T,0,0 GO TO 548
601 CT,T,0,0 GO TO 549
602 CT,T,0,0 GO TO 550
603 CT,T,0,0 GO TO 551
604 CT,T,0,0 GO TO 552
605 CT,T,0,0 GO TO 553
606 CT,T,0,0 GO TO 554
607 CT,T,0,0 GO TO 555
608 CT,T,0,0 GO TO 556
609 CT,T,0,0 GO TO 557
610 CT,T,0,0 GO TO 558
611 CT,T,0,0 GO TO 559
612 CT,T,0,0 GO TO 560
613 CT,T,0,0 GO TO 561
614 CT,T,0,0 GO TO 562
615 CT,T,0,0 GO TO 563
616 CT,T,0,0 GO TO 564
617 CT,T,0,0 GO TO 565
618 CT,T,0,0 GO TO 566
619 CT,T,0,0 GO TO 567
620 CT,T,0,0 GO TO 568
621 CT,T,0,0 GO TO 569
622 CT,T,0,0 GO TO 570
623 CT,T,0,0 GO TO 571
624 CT,T,0,0 GO TO 572
625 CT,T,0,0 GO TO 573
626 CT,T,0,0 GO TO 574
627 CT,T,0,0 GO TO 575
628 CT,T,0,0 GO TO 576
629 CT,T,0,0 GO TO 577
630 CT,T,0,0 GO TO 578
631 CT,T,0,0 GO TO 579
632 CT,T,0,0 GO TO 580
633 CT,T,0,0 GO TO 581
634 CT,T,0,0 GO TO 582
635 CT,T,0,0 GO TO 583
636 CT,T,0,0 GO TO 584
637 CT,T,0,0 GO TO 585
638 CT,T,0,0 GO TO 586
639 CT,T,0,0 GO TO 587
640 CT,T,0,0 GO TO 588
641 CT,T,0,0 GO TO 589
642 CT,T,0,0 GO TO 590
643 CT,T,0,0 GO TO 591
644 CT,T,0,0 GO TO 592
645 CT,T,0,0 GO TO 593
646 CT,T,0,0 GO TO 594
647 CT,T,0,0 GO TO 595
648 CT,T,0,0 GO TO 596
649 CT,T,0,0 GO TO 597
650 CT,T,0,0 GO TO 598
651 CT,T,0,0 GO TO 599
652 CT,T,0,0 GO TO 600
653 CT,T,0,0 GO TO 601
654 CT,T,0,0 GO TO 602
655 CT,T,0,0 GO TO 603
656 CT,T,0,0 GO TO 604
657 CT,T,0,0 GO TO 605
658 CT,T,0,0 GO TO 606
659 CT,T,0,0 GO TO 607
660 CT,T,0,0 GO TO 608
661 CT,T,0,0 GO TO 609
662 CT,T,0,0 GO TO 610
663 CT,T,0,0 GO TO 611
664 CT,T,0,0 GO TO 612
665 CT,T,0,0 GO TO 613
666 CT,T,0,0 GO TO 614
667 CT,T,0,0 GO TO 615
668 CT,T,0,0 GO TO 616
669 CT,T,0,0 GO TO 617
670 CT,T,0,0 GO TO 618
671 CT,T,0,0 GO TO 619
672 CT,T,0,0 GO TO 620
673 CT,T,0,0 GO TO 621
674 CT,T,0,0 GO TO 622
675 CT,T,0,0 GO TO 623
676 CT,T,0,0 GO TO 624
677 CT,T,0,0 GO TO 625
678 CT,T,0,0 GO TO 626
679 CT,T,0,0 GO TO 627
680 CT,T,0,0 GO TO 628
681 CT,T,0,0 GO TO 629
682 CT,T,0,0 GO TO 630
683 CT,T,0,0 GO TO 631
684 CT,T,0,0 GO TO 632
685 CT,T,0,0 GO TO 633
686 CT,T,0,0 GO TO 634
687 CT,T,0,0 GO TO 635
688 CT,T,0,0 GO TO 636
689 CT,T,0,0 GO TO 637
690 CT,T,0,0 GO TO 638
691 CT,T,0,0 GO TO 639
692 CT,T,0,0 GO TO 640
693 CT,T,0,0 GO TO 641
694 CT,T,0,0 GO TO 642
695 CT,T,0,0 GO TO 643
696 CT,T,0,0 GO TO 644
697 CT,T,0,0 GO TO 645
698 CT,T,0,0 GO TO 646
699 CT,T,0,0 GO TO 647
700 CT,T,0,0 GO TO 648
701 CT,T,0,0 GO TO 649
702 CT,T,0,0 GO TO 650
703 CT,T,0,0 GO TO 651
704 CT,T,0,0 GO TO 652
705 CT,T,0,0 GO TO 653
706 CT,T,0,0 GO TO 654
707 CT,T,0,0 GO TO 655
708 CT,T,0,0 GO TO 656
709 CT,T,0,0 GO TO 657
710 CT,T,0,0 GO TO 658
711 CT,T,0,0 GO TO 659
712 CT,T,0,0 GO TO 660
713 CT,T,0,0 GO TO 661
714 CT,T,0,0 GO TO 66
```

```

1      SUBROUTINE RERGE(CERIV,T)
2      REAL NIU
3      DIMENSION NIU(10,10),ORD(10,10),X(10),Y(10),Z(10)
4      COMMON NIU,ORD,X,N,M,H
5      DO 1 I=1,N
6      1 Y(I)=X(I)
7      CALL DERIV(T)
8      DO 2 I=1,M
9      2 Z(I)=Y(I)
10     4 X(I)=Y(I)+X(I)*H/2.
11     CALL DERTV(T+H/2.)
12     DO 3 I=1,M
13     3 Z(I)=Z(I)+X(I)*2.
14     5 X(I)=Y(I)+X(I)*H/2.
15     CALL DERTV(T+H/2.)
16     DO 4 I=1,M
17     4 Z(I)=Z(I)+X(I)*2.
18     6 X(I)=Y(I)+X(I)*H
19     CALL DERTV(T+H)
20     DO 5 I=1,M
21     5 Z(I)=Z(I)+X(I)
22     7 Y(I)=Z(I)*H/6.+Y(I)
23     RETURN
24     END

```

DYNAMIC 10/02/78 21,11,58

```

1      SUBROUTINE DERIV(T)
2      REAL NIU
3      DIMENSION NIU(10,10),ORD(10,10),X(10),DX(10)
4      COMMON NIU,ORD,X,N,M,H
5      DO 1 J=1,N
6      1 NX(J)=NIU(J,N+2)
7      DO 2 J=1,N
8      2 DO 2 I=1,M
9      2 IF(X(I))2,6,6
10     6 IF(ORD(I,J))2,4,3
11     3 NX(J)=DX(J)+X(I)*ORD(I,J)
12     4 CONTINUE
13     DO 5 I=1,M
14     5 X(I)=0
15     IF(T.GT.(1./NIU(N+1,N+2))) GO TO 7
16     X(2)=X(2)+NIU(N+1,N+2)
17     DO 5 I=1,M
18     5 DO 5 J=1,N
19     5 X(I)=X(I)-NIU(I,J)*DX(J)
20     TET
21     RETURN
22     END

```

DYNAMIC 10/02/78 21,11,58

MODULE	FYBLK	TYPE	C	LONGUEUR	0324 (00852)
MODULE	FYMCATA	TYPE	P	LONGUEUR	0AF9 (02296)
MODULE	FYBLK	TYPE	C	LONGUEUR	0352 (00852)
MODULE	RERGE	TYPE	P	LONGUEUR	0279 (00A32)
MODULE	FYBLK	TYPE	C	LONGUEUR	0354 (00852)
MODULE	DERIV	TYPE	P	LONGUEUR	0250 (00572)

DISPLAYATION A PLUS HAUT POUR LA PREMIERE RECHERCHE = 1) 21,11,58  
1137 DYNAMIC AT = 7524 TH = 0001 RATE = 10/12/78  
1.0EB = 100 100 100 100 100 100 100 100 100 100  
CP = CPT = 11 IT = 11 DT = 0.0001 T = 0.0001  
IT = 11 PT = 11

Variabilele utilizate în modelul diferențial și  
în programul DINAMIC

Denumirea variabilei	Simbol în subcap.3.4.2	Descriptor în DINAMIC	Dimensiunea
Matricea stoichiometrică	, NIU	NIU(I,J)	10 x 10
Matricea ordinelor	ORD	ORD(I,J)	10 x 10
	$\bar{x}$	X(I)	10
Vectorii de stare		Y(I)	10
		Z(I)	10
Subrutina de integrare Range Kutta	-	RUNGE	-
Subrutina de calcul al derivatelor	-	DERIV	-
Număr de reacții	m	M	1
Număr de componente	n	N	1
Timpul		T	1
Erori de integrare		EP, EPSILON	1
Constantele de viteză	$k_1$	NIU(N+1,I)	10
Debitul de intrare	q	NIU(N+1,M+1)	1

In vederea testării programului s-au introdus datele structurale aferente unui sistem dinamic cu soluția analitică cunoscută. Am ales sistemul de reacții consecutive de ordinul I.



avind matricea stoichiometrică :

$$\text{NIU}(I,J) = \begin{vmatrix} 1 & -1 & 0 \\ 0 & 1 & 1 \end{vmatrix}$$

și matricea ordinelor de reacție :

$$\text{ORD} = \begin{vmatrix} 1 & 0 & 0 \\ 0 & 1 & 0 \end{vmatrix}$$

$$\begin{aligned} k_1 &= 1 \\ k_2 &= 0,1 \\ CO &= (1, 0, 0) \end{aligned}$$

Datele obținute la integrare sunt expuse în pagina 89.  
 Se pot compara cu valorile obținute prin calcul analitic. De exemplu, timpul la care se obține valoarea maximă a concentrației speciei  $X_2$ , și concentrația acesteia în acel moment, se obține cu următoarele formule /85/ :

$$\tau_{\max} = \frac{1}{k_2/k_1 - 1} \ln \frac{k_2}{k_1} \quad t_{\max} = \frac{1}{0,1 - 1} \ln 0,1 = 2,559$$

$$C_{\max} = \left( \frac{k_2}{k_1} \right) \frac{k_2/k_1}{1 - k_2/k_1} \quad C_{\max} = (0,1) \frac{0,1}{1-0,1} = 0,7743$$

Corespondența cu valorile obținute prin simulare este excepțională.

Nr. crt.	Timpul rel.	Componentele în ordinea matricelor NIU		
1.	0,000	1.000	0.0000	0.0000
11.	0.000	0.9999	0.1023E-03	0.1357E-08
21.	0.079	0.9244	0.7533E-01	0.3005E-03
31.	0.341	0.7112	0.2837	0.5140E-02
41.	0.603	0.5472	0.4381	0.1470E-01
51.	0.865	0.4210	0.5512	0.2775E-01
61.	1.127	0.3239	0.6327	0.4333E-01
71.	1.389	0.2492	0.6901	0.6071E-01
81.	1.652	0.1918	0.7289	0.7934E-01
91.	1.914	0.1475	0.7537	0.9880E-01
101.	2.176	0.1135	0.7677	0.1188
111.	2.438	0.8734E-01	0.7737	0.1390
115.	2.543	0.7865E-01	0.7743	0.1471
116.	2.569	0.7661E-01	0.7743	0.1491
121.	2.700	0.6720E-01	0.7735	0.1593
131.	2.962	0.5170E-01	0.7688	0.1795
141.	3.224	0.3978E-01	0.7607	0.1996
151.	3.417	0.3061E-01	0.7500	0.2194
161.	3.149	0.2355E-01	0.7376	0.2389
171.	4.011	0.1812E-01	0.7239	0.2580
181.	4.273	0.1394E-01	0.7093	0.2768
191.	4.535	0.1073E-01	0.6941	0.2952
201.	4.797	0.8253E-02	0.6786	0.3132
211.	5.059	0.6350E-02	0.6629	0.3308
221.	5.322	0.4885E-02	0.6472	0.3479

STOP

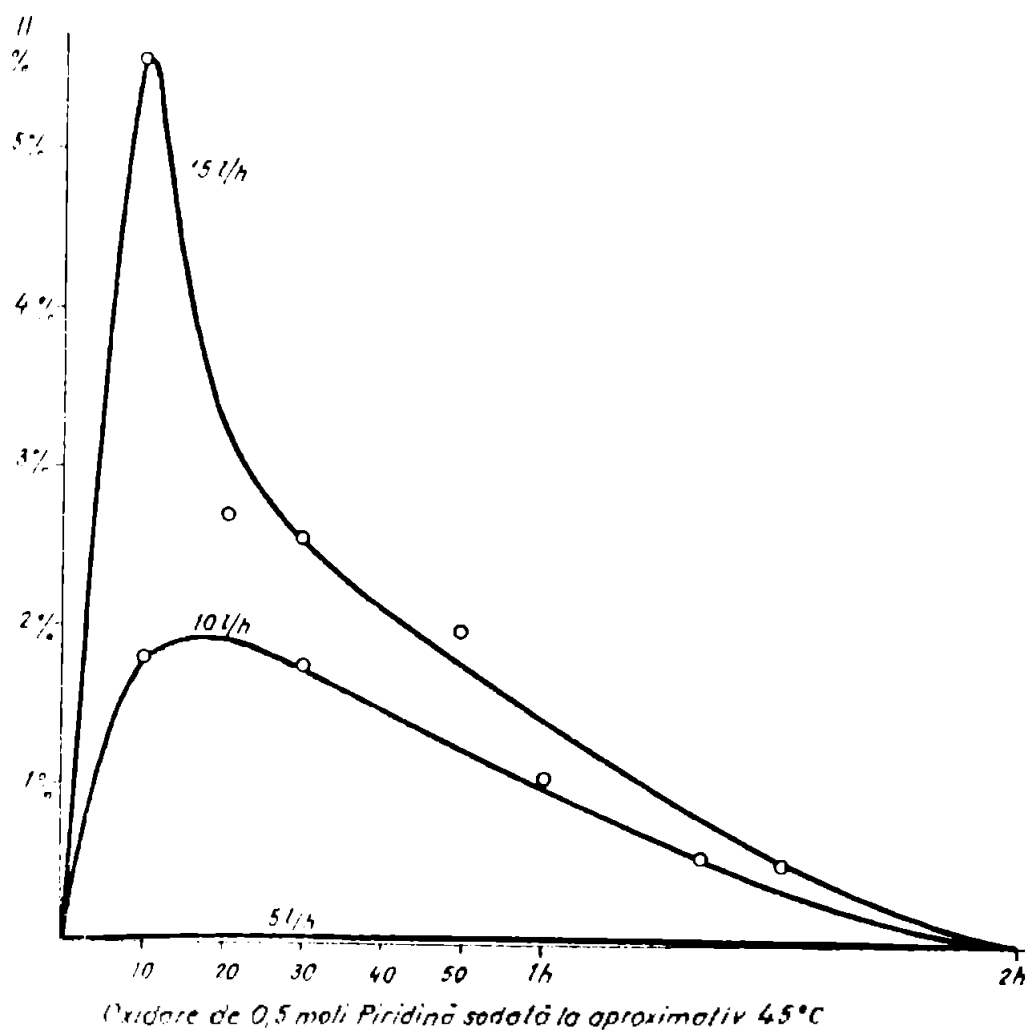
### 3.4.3. Determinări experimentale

In vederea determinării periculozității fazei de oxidare, periculozitate datorată acumulării de compuși intermediari peroxidici și hidroperoxidici, s-au efectuat oxidări ale masei de reacție provenite de la fază denumită sodarea piridinei, urmărindu-se formarea și concentrația intermediarilor peroxidici. S-a urmărit apoi și corelarea acestor date experimentale cu rezultatele obținute prin simulare.

Reacția de oxidare a piridinei sodate s-a condus în laborator în condițiile deja descrise la începutul acestei părți, în subcapitolul 3.4.1. Masa de reacție (din 0,5 molă piridină și sodiu) se oxidează într-un balon de sticlă (cu patru găuri) scufundat într-o baie de răcire cu apă. După cum s-a arătat, masa de reacție nu reacționează violent în contact direct cu apa (3.3.3). Balonul este prevăzut cu un agitator eficient, termometru scufundat în masa de reacție, barbotor de oxigen. Oxigenul se dozează din butelie peste un reductor și un ventil de dozare fină (ventil cu ac), debitul se măsoară continuu cu ajutorul unui rotametru. Urmărirea reacției s-a efectuat la această scară redusă prin urmărirea debitului de gaz la ieșirea din reactor. Pentru aceasta cel de al patrulea șif s-a dotat cu un refrigerent ascendent, închis etanș, fiind pus în legătură cu un vas barbotor. Astfel s-a putut urmări faptul că la debitele de oxigen realizate între 5 și 15 l/h, masa de reacție absoarbe tot reactantul introdus prin barbotor. De asemenea s-a putut constata sfârșitul reacției, cind capacitatea de resorbție pentru oxigen scade brusc. Pentru perfectarea reacției de oxidare, în aceste condiții, s-a redus în mod corespunzător debitul oxigenului (pentru a asigura resorbția să fie în cea mai mare parte), continuându-se încă timp de o oră. Oxidările conform acestei descrieri s-au întrerupt din timp în timp prelevindu-se probe de 1 ml din masa de reacție. Aceste probe s-au introdus în fiole cu acid acetic glacial, tăiate în prealabil, s-a cintărit exact conținutul de probă, după care s-a efectuat determinarea conținutului de peroxizi.

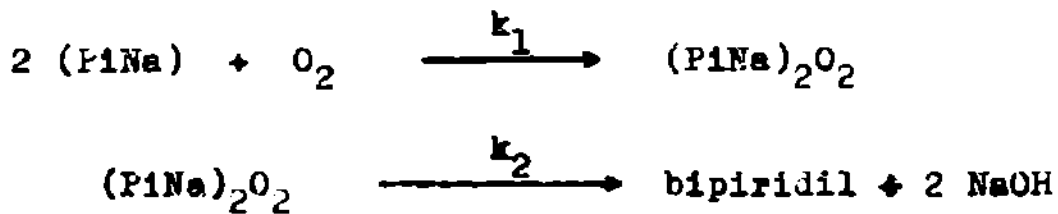
Determinarea concentrației de peroxizi și hidroperoxizi s-a efectuat prin dosări iodometriche /74,75/. La probele prelevate după cum s-a arătat mai înainte în acid acetic glacial (pentru oprirea reacției de oxidare), s-au adăugat 10 ml de soluție

de KI 5% după care iodul eliberat se titrează cu tiosulfat de sodiu. În paralel se titrează o probă carbă, pregătită în mod asemănător, dar căreia îi lipsește proba de masă oxidată. Indicele de iod s-a exprimat procentual ca raport dintre masa iodului echivalent cu soluția de tiosulfat consumată și masa probei. Titrarea iodometrică s-a efectuat în modul ușual, adăugând soluției de tiosulfat s-a făcut pînă la obținerea unei colorații mai slabe (galbene din cauza compușilor organici dizolvăți), apoi s-a adăugat soluția de amidon, titrindu-se din nou pînă la galben. Rezultatele unor astfel de titrări, efectuate asupra unor șarje la debite de oxigen de 5, 10, 15 l/h, sunt redate în graficul alăturat. Punctele referitoare la o determinare se află pe curbele obținute la simulări.

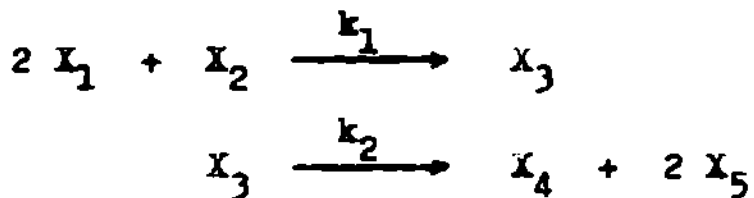


### 3.4.5. Rezultate și concluzii

În vederea lămuririi comportării sistemului piridină adăugată la oxidare semicontinuă, am implementat următoarea structură în programul de simulare prezentat la subcapitolul 3.4.3 :



sau mai abstract :



Această schemă este suficient de generală și a fost tratată în literatură /71/ pentru cazul discontinuu (autonom). Este schema unei reacții cu formare de intermediar, care se descompune într-o reacție consecutivă. Cu notatiile introduse în subcapitolul 3.4.3 avem :

$$\begin{array}{l} n=5 \\ m=2 \end{array} \quad NIU = \begin{vmatrix} -2 & -1 & 1 & 0 & 0 \\ 0 & 0 & -1 & 1 & 2 \end{vmatrix} \quad \text{ORD} = \begin{vmatrix} 1 & 1 & 0 & 0 & 0 \\ 0 & 0 & 1 & 0 & 0 \end{vmatrix}$$

Fiind vorba de oxidarea concomitentă a radicalului bipiridilic și a celorlalți compuși reduși (vezi schema de la pag.78) nu detaliam aceste procese precum și speciile peroxidice intermedii. Modelul cinetic pe care îl propunem este acela al reacției globale, care poate fi urmarită experimental.

Datele inițiale sunt  $\text{CO}(2, 0, 0, 0, 0)$ , adică se pornește de la componenta 1, ce se oxidează. Convențional, datorită coeficientului stoichiometric dublu, această concentrație se ia 2.

Reacția s-a simulat cu mers semicontinuu, componența adăugată s-a notată cu  $X_2$ . Din motive de ușurare a descrierii condițiilor de integrare (când timpul devine 1 se trece la integrarea sistemului fără intrare,  $q = 0$ ), s-a ales arbitrar debiul de alimentare al componentei adăugate cu  $q = 1$ , ceea ce echivalează

valează cu o alegere arbitrară a scării timpului. Oxidarea se face la volum constant al masei de reacție, astfel încât modificarea concentrațiilor datorită modificării volumului este zero. Intrarea este constantă : la concentrația componentei doi (oxigenul) apare un debit  $q \cdot x_0$  constant, celelalte intrări fiind nule.

Comportamentul sistemului este determinat (în afară de structură) de valoarea celor trei parametri  $k_1$ ,  $k_2$ , constantele celor două reacții consecutive, și  $q$ , debitul de alimentare al oxigenului. Deoarece s-a ales arbitrar scara timpului,  $q$  a fost luat arbitrar egal cu 1, rămnind doi parametri. În certeza efectuată s-a căutat acoperirea întregului domeniu de variație al acestor constante. S-a pornit de la constatarea că valori de peste 200, sau sub 1/100 constituie valori foarte mari, respectiv foarte mici, care permit neglijarea sau tratarea aproximativă a cazului. Mai explicit : dacă o constantă, de exemplu  $k_1$ , are valoarea peste 200, reacția devine rapidă, astfel că tot oxigenul introdus se transformă imediat în peroxid și produși, componenta nu se acumulează (oxigen dizolvat), concentrația ei liberă este foarte mică. În mod asemănător, o valoare foarte mare a constantei  $k_2$  duce la dispariția intermediarului (peroxidic), el nu apare în concentrații sensibile în tot timpul reacției. Pe de altă parte, valori foarte mici ale constantei  $k_1$  duc la acumularea oxigenului (prin dizolvare), reacția este trabilă prin modelul discontinuu, căci reacția are loc mult mai incet decât adăugarea de reactivi. Dacă  $k_2$  este foarte mic, are loc acumularea oxigenului în peroxid, care are concentrații aproape de cea unitară.

Valurile alese pentru constantele  $k_1$  și  $k_2$  în cazurile simulate au fost în consecință 0,01, 0,1, 1, 10, 100, 200, ceea ce duce la  $6 \times 6 = 36$  cazuri pentru acoperirea întregului domeniu de variație al parametrilor.

Integrările au fost executate pentru cele mai multe cazuri. Din evoluția în timp a acestor sisteme s-au reținut ca deosebit de importante, din punctul nostru de vedere (al siguranței în timpul oxidării), valorile de concentrație maximă a compusului  $X_3$  (peroxidic) și momentul cind se obține respectiva valoare maximă. Aceste date se redau în următoarele două tabele.

Tabel de tempi în care se obțin concentrații maxime  
în peroxizi la oxidarea semicontinuă ( $q = 1$ ) (date  
de simulare)

$k_2 \backslash k_1$	0,01	0,1	1	10	100	200
0,01	76	18	7,6	3	1,6	1
0,1	13	6	2,6	1,5	1	1
1	3	2	1,3	1	0,83	-
10	5	1,1	0,88	0,65	0,53	0,36
100	1,23	1	0,79	0,3	0,1	0,06
200	-	-	-	0,2	-	-

Tabel de concentrații maxime în peroxizi la oxidarea  
semicontinuă (date de simulare, în procente față de  
oxigen)

$k_2 \backslash k_1$	0,01	0,1	1	10	100	200
0,01	38	68	88	96	98	100
0,1	11	38	68	85	92	98
1	1,7	10	35	52	58	-
10	0,37	1,6	6	9,0	9,8	10
100	0,037	0,16	0,6	1	1,1	1,2
200	-	-	-	0,46	-	-

Din cazurile examineate se desprind următoarele concluzii :  
Pentru valori mici ale constantelor  $k_1$ ,  $k_2$ , timpul la care se obține valoarea maximă a peroxidului are o valoare mare. Deasupra diagonalei secundare a tabelului această concentrație maximă se atinge după închiderea adausului de oxigen (timp  $> 1$ ).

Aluri cu maxim, în timpul adausului de oxigen, se obțin pentru  $k_1 = 1$  și  $k_2 = 1$ , timpul la care se obține valoarea maximă este cu mult mai scurt cu cît constantele au valori mari. Va-

loarea maximă a concentrației compușilor peroxidici se obține pentru valori mari ale vitezei de combinare cu oxigenul. Valoările sunt cu atât mai mici cu cât prima constantă de viteză este mai mică, și două mai mare. O astfel de alură (cu extremități în timpul adăugării oxigenului) o prezintăm la pagina 96.

Tabelul prezintă datele săa cum sunt obținute la calculator. În tabel s-au inclus pe lîngă timp (coloana 2, care variază între 0 și 2.000, cînd în cazul ilustrat se stinge valoarea limită a componentei cheie) cele 5 concentrații (coloana a patra conține concentrațiile peroxidului) și eroarele realizate la respectivul pas de integrare și anume diferența obținută prin înjumătătirea pasului, și eroarea la bilanțul unei specii (atomice). Eroarele sunt de ordinul  $10^{-6}$  și sub această valoare. În ultima coloană s-au trecut numărul de pași de integrare prin care s-a realizat integrarea cu  $t = 0,1$ . (S-a ales acest mod de afișare pentru a obține tabele mai scurte, mai ușor de analizat).

Urmărind acum valorile obținute pentru cifra de iod, în timpul oxidării (subcapitolul anterior), constatăm că valoarea maximă a acesteia se obține în timpul adausului de oxigen și anume la adăugarea a 0,25 din cantitatea totală. Urmărind în tabelul timpilor la care se obțin valori maxime (pag. 94), observăm că aceasta ar corespunde unor valori ale lui  $k_1$  între 10 și 200, în timp ce pentru  $k_2$  am avea valori între 10 și 100. Aceluiași domeniu de valori ale constantelor de viteză  $k_1$ ,  $k_2$  îi corespund concentrații maxime între 1 și 10% (ale cifrei de iod).

Valorile obținute la simulare se coreleză perfect și cu constatările experimentale și anume, cu faptul că la reducerea debitului se obțin valori maxime ale concentrației compușilor peroxidici substanțial mai mici. Intr-adevăr prin reducerea debitului de oxigen la aceleași valori ale constantelor ( $k_1$  și  $k_2$ ), în exprimarea adimensională adoptată, aceasta se manifestă prin creșterea lui  $k_1/q$  și a lui  $k_2/q$ , ceea ce implică faptul că concentrația maximă (vezi tabelul de la pag. 94) are valori mai mici.

Concordanța dintre modelul propus și datele experimentale obținute ne asigură că prin alegerea adecvată a vitezei de introducere a oxigenului se poate menține concentrație intermediară peroxidici periculoși în limită de sub 1% a cifrei de iod, adică pericolul explozicii în fază lichidă poate fi redus la zero în modul acesta.

רְבָבָה בְּנֵי יִשְׂרָאֵל שֶׁעֲמַדְתָּן  
בְּנֵי יִשְׂרָאֵל שֶׁעֲמַדְתָּן

卷之三

### Concluzii generale

Cercetările efectuate în cadrul prezentei teze de doctorat au avut ca scop fundamentarea unei tehnologii originale de obținere a 4,4'-bipiridilului pe calea sodării piridinei în prezența HMPT-ului și a oxidării cu oxigen a intermediarului sedat. Totodată, cercetările întreprinse constituie contribuții la tehnica reacțiilor organometalice, ce depășesc cadrul concret al tehnologiei bipiridilului.

Studiile efectuate pot constitui o ilustrare a legăturii strinse și fructuoase dintre teorie și experiment realizat prin medierea matematică.

Resultatele cercetărilor fac obiectul unui număr de cinci note științifice publicate în reviste de specialitate /50,51,52, 56,57/ și un brevet de invenție /59/.

Principalele contribuții cu caracter original obținute în cadrul tezei sunt :

1. Se atrage atenția asupra fenomenului cu caracter aleator de aglomerare a sodiului fin dispers observat uneori în cursul reacției de sodare a piridinei.

2. În vederea aprofundării acestui fenomen s-au efectuat o serie de 31 de sodări de piridină în condiții experimentale bine precizate (subcapitolul 3.2.4) urmărindu-se cît mai mulți parametri presupuși definitorii.

3. Se adoptă un model al analizei varianței multidimensionale, prezentat în detaliu în subcapitolul 3.2.3, în vederea diagnosticării fenomenului descris.

4. Se transpune modelul propus într-un program FORTRAN care se rulează pe calculatorul Felix C-256 implementând setul de date obținute experimental.

5. Pe baza modelului utilizat și a datelor experimentale obținute se pot trage o serie de concluzii semnificative pentru sistemul de reacție luat în studiu.

a) Se relevă manifestarea unei condiționări complexe, multiparametrice a aglomerării: debitul piridinei, dimensiunea particoilelor, turagia agitatorului și gradientul termic dintre masa de reacție și mediul de temperare permit distingerea multidimensională a cazului de aglomerare de cel normal.

b) Factorul cel mai important în conducerea fără incidente a reacției este utilizarea unei dispersii fine microscopice a metalului, care asigură un mers rapid și uniform, lipsit de complicații. Are loc eliminarea timpului de inducție, este excludată acumularea piridinei nereacționate și se poate asigura un gradient de temperatură  $\Delta T$  redus între masa de reacție și agentul de răcire.

c) Acest gradient de temperatură, deși dependent de o gamă de factori hidrodinamici, de transfer termic și de reacție, poate fi considerat drept măsură a intensității momentane a procesului de metalare. Se impune concluzia că trebuie evitate intensități momentane mari în procesul de metalare.

d) Agitarea trebuie să fie eficientă pentru a asigura uniformitatea masei de reacție.

e) Parametrii, precum umiditatea din mediul de reacție, calitatea H<sub>2</sub>PT-ului, vechimea suspensiei de sodiu etc., contrar așteptărilor, nu influențează apariția aglomerării.

7. Modelul analizei variantei propus este deosebit de util abordării unor sisteme nedeterministe la care apar două sau mai multe rezultate calitativ diferite :

a) Permite stabilirea suficienței parametrilor experimentalii luati în considerare în vederea caracterizării "indivizilor" în vederea separării (discriminării) lor în clase.

b) Dacă discriminarea nu este posibilă datelor experimentale, fenomenul "catastrofic" este fie pur aleator, fie trebuie lărgită gama parametrilor studiați.

c) Modelarea permite decelarea parametrilor esențiali și eliminarea celor redundanți, precum și decelarea dependențelor față de mărimea parametrilor.

8. S-au efectuat sinteze de sedare a piridinei cu urmărirea prin spectru RES a intermediarilor radicalici. S-au găsit specii radicalice de tip bipiridilic în concentrație masivă care explică consumul ridicat de sodiu în reacție.

9. Aceste date experimentale sprijină un mecanism de reacție la sedare conform căruia formarea bipiridilului are loc la sedare fiind urmată de sedarea și a acestuia. Se prezintă o schemă a mecanismului probabil.

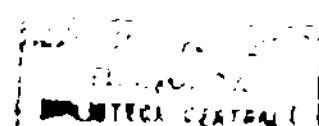
10. Se studiază prin metoda simulării pe calculator cinetica reacției de oxidare în condiții pseudoomogene și semicontinu. Se urmărește definirea condițiilor în care concentrația intermediarilor hidroperoxidici și peroxidici se menține în limite de concentrații nepericuloase.

11. Rezultatele simulărilor, care arată că există un mod de conducere al oxidării cu o acumulare modestă a speciei periculoase, au fost confirmate experimental în cazul sistemului studiat.

12. În studiile efectuate s-a desprins deosebita utilitate a metodei modelării matematice și în rezolvarea unor probleme ce le pun tehnologiile chimice. În Anexă se propune o privire de ansamblu originală asupra metodei modelării, care constituie o preocupare permanentă a doctorandului.

13. Cercetările cuprinse în această lucrare au constituit parte integrantă a unor studii efectuate de un colectiv al Centrului de Chimie Timișoara (din care a făcut parte autorul), pentru realizarea fabricării indigene a 4,4'-bipiridilului, cu o tehnologie originală și cu performanțe superioare.

14. Elementele de originalitate ale brevetului de obținere a 4,4'-bipiridilului sunt: conducedea reacției în amestecul de solvenți HMPT-hidrocarbură, precizarea condițiilor tehnologice precum: dimensiunea particolelor de sodiu, timpul de introducere și piridinei, temperatura de lucru, intensitatea agitării pentru conducederea optima a procesului de sedare, precizarea condițiilor de conducedere a reacției de oxidare în deplină siguranță, separarea amestecului de reacție prin diluare cu hidrocarburi alifatice și filtrare, concentrarea prin evaporare și realizarea sarcii decuaternare în soluție de HMPT sau apa.



ANEXA

1. METODA MODELLARII

1.1. Model și modelare - termeni polisemantici

Sunt puțini termeni utilizati cu o asemenea frecvență, în limbajul științific contemporan, ca cei de model și modelare : în revista de titluri "Current Contents" se pot găsi anual între 1000 și 2000 de utilizări ai lor chiar în titlurile lucrărilor științifice. Aceasta are de a face pe de o parte cu o modă, însă totodată și cu caracterul polisemantic al acestor termeni, pe care fenomenul de masă o și întreține.

Despre semnificația termenilor model, modelare s-au ocupat lingviști /101,107/, logicieni /102,103/, dar și cei care studiază modelele ca principali utilizatori ai lor, ciberneticieni, ingineri /104,105,106/ (literatura citată constituie exemplificări). În cele ce urmează vom efectua o trecere în revistă a principalelor sensuri atribuite termenilor model, modelare – care să lămurească contextele în care sunt utilizati (de încercări de definiție ne vom ocupa în capitolul următor).

Termenul de model are o origine latină, "modulus" fiind diminutivul lui modus = măsură /106/. Termenul a evoluat având semnificații mai concrete (tipar, matrice), sau mai abstract (modul, în arhitectură) în paralel în limbile italiană, franceză, germană și engleză și în domenii ca tehnologia, arta, știință.

Primul și cel mai vechi sens al termenului este probabil cel de exemplu ideal, etalon /102/, adică obiect conform anumitor idei, anumitor prescripții pe care noi le formulăm, de exemplu : gaz ideal, sau în legătură cu comportamentul uman : elev ideal = elev model.

Alt sens este acela de imitație a unui lucru – sculptura este un model al obiectului sculptat, dar și obiectul este model pentru o sculptură sau pictură /102/. Relația de modelare apare aici simetrică.

Al treilea sens este cel de imagină a unui lucru, o copie, de exemplu o pictură, o fotografie etc.

Mai abstract este sensul de schită a ceva : a lua model la un lucru înseamnă a schița acel lucru.

Inrudit cu acest sens, însă cu completarea elementului de observație cu elemente imaginate, este cel de schemă a unui lucru, care nu este accesibil direct și complet. Astfel, avem modelele cosmologice ale lui Ptolemeu, Copernic, Einstein și modelele atomice ale lui Thomson, Rutherford, Bohr, în care elementele imaginate au un caracter mai mult sau mai puțin științific /105/.

Alt sens se referă mai degrabă la procese și nu la obiecte (reale sau ideale). Astfel se utilizează termenul de model în sensul de program, prescripție după care se desfășoară sau urmăză să se desfășoare un proces complex, de exemplu un proces de producție, un proces de învățămînt, procesul de transformare a unei societăți /102/.

Pornind de la constatarea că ceea ce este esențial în descrierea modelului este un ansamblu de reguli de corespondență, un dicționar între două mulțimi de obiecte (sisteme), termenul de model s-a extins în mod deosebit pentru a reflecta raportul dintre teorii și entitățile cu care sint în relație acestea.

Astfel, o teorie poate fi desemnată ca model a ceva, al unui sistem de entități /102/.

În modelarea teoriilor formalizate se utilizează probabil cea mai precisă accepțiune a termenului de model /104/. În acest sens un model este o entitate mulțimistă, care stă într-o relație specială cu o teorie abstractă, de obicei formalizată axiomatice. Un asemenea model se numește model semantic. Modelele lui Beltrami, Klein, Poincaré, ale unor geometrii neeuclidiene, introduc utilizarea modelelor de acest fel în matematică, cele ale lui Frege, Russel în logica, consacrîndu-le în studiul sistemelor deductive. Vom exemplifica aici pe scurt cu modelul lui Poincaré, al unei geometrii neeuclidiene a planului printr-un semiplan euclidian. Dicționarul ce se stabilește între elementele realizării și ale modelului este următorul :

Realizare	Model
planul neeuclidian	semiplan euclidian fără dreaptă de delimitare D
dreapta neeuclidiană	semicerc cu centrul pe D
punctul neeuclidian	punctul din semiplan
unghiul dintre două drepte	unghiul dintre două semicircuri

etc.

Lista dicționarului se poate continua pentru toate elementele ce constituie o geometrie, de asemenea se poate găsi echivalentul multor teoreme care nu depind de axioma paralezelor. Ceea ce este însă important de arătat, este că în acest model se pot duce mai multe "drepte" printr-un punct exterior unei drepte, care să nu aibă nici un punct comun cu dreapta inițială, ceea ce corespunde cu cerința axiomei paralezelor în geometria neeuclidiană a lui Lobacevski. Acest model demonstrează prin însăși faptul că există, că sistemul axiomatic al geometriei neeuclidiene hiperbolice este necontradicitoriu, dacă geometria euclidiană este necontradictorie.

Einstein consideră că modelul geometriei euclidiene constă din regulile de comportare cu corpurile practic rigide /102/, ceea ce constituie deja o mică deplasare a sensului față de definiția modelului semantic de mai sus.

Efortul de a impune această viziune asupra modelării și în afara domeniilor amintite nu a avut succesul scontat /104/ din cauza faptului că se utilizează modele și în domenii ale cunoașterii mult mai puțin formalizate.

Semnificația termenului de model în științele naturii, științele tehnice, medicale sau sociale este într-un anumit sens opusă celeia de model semantic. După cum dezvăluie G.Klaus /103/, ea poate fi caracterizată ca fiind generalul, model al particularului, în timp ce ca model semantic al unui sistem formalizat ea este o particularisare care dovedește coerenta referentului. În științele naturii, tehnice, medicale, sociale se utilizează termenul de model în sens de obiect, desecori sistem, concret sau abstract ajutător, care reprezintă obiectul real sau posibil. Această substituire implică o idealizare a fenomenului modelat, însă spre deosebire de modelul semantic, orientarea nu este aceea spre o teorie în primul rînd, ci spre o descriere idealizată a fenomenului concret, cu tendință de autonomizare. Modelele se întrepăru într-o lumea reală și teorii /104/. Modelele și modelarea joacă un rol de acest fel și important, de exemplu, în teoria probabilității și în teoria generală a sistemelor (față de care sunt necesare o serie de precizări ce constituie conținutul subcapitolului 1.4 din Anexa I).

Dăsi pare că recum omogenă, viziunea, în diversele ramuri ale științei, dar și în timp, asupra modelelor și a rolului lor,

este foarte diferită, legată de context. Factorii care relativiză aceste neînni sint /104/ :

- domeniul : științele fizice, biologice, sociologice, tehnologia
- maturitatea teoretică a domeniului
- paradigma adoptată

Cităm ca ilustrare a acestei idei, și restrințindu-ne aria la științele naturii și tehnice, digresiunea lui Boltzmann din 1892 /108/ despre tipurile de modele utilizate în fizică :

- modele mecanice, suprafete optice de unde, suprafete termodinamice din gips, mașini de unde de toate felurile
- aparate pentru aflarea valorilor integralelor unor ecuații diferențiale, valabile în egală măsură pentru fenomene greu de observat cît și pentru cele ușor de observat
- modele abstracte, existente doar în gîndire, analogii abstracte, de genul celor care l-au ajutat pe Maxwell la elaborarea teoriei unitare a cîmpului electromagnetic.

In încheiere îl cităm pe V.V. Malimov /142, pag.16/ care caută răspuns la întrebarea despre sensul modelelor (referindu-se la modelele matematice ale sistemelor vag, rău definite, pe care le consideră sisteme supuse modelării prin excelentă) :

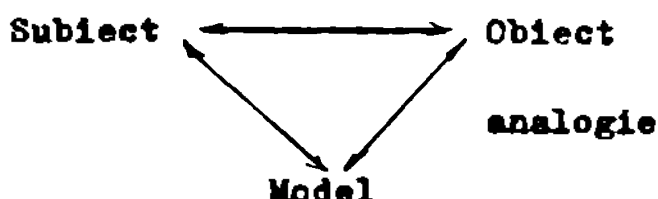
"aceste modele facilitează înțelegerea sistemelor mai bine decât dacă acestea ar fi expuse doar verbal, la acele persoane care au o anumită capacitate intelectuală. Aceasta se datorează desigur faptului că limbajul matematic în general, iar acela al ecuațiilor diferențiale în mod deosebit, au un grad foarte înalt de generalitate. La un cercetător care dispune de acest limbaj se formează instantaneu o serie de asociații mentale, cu situații analoge, bine cunoscute, care sunt descrise de ecuații de acest tip. Modelul matematic are astfel un loc important între reprezentările de care dispune cercetătorul, această reprezentare fiind exprimată însă de limbajul matematic. Aceasta poate incita pe cei care nu dispun de acest limbaj, pentru care este o "limbă străină" și care prezintă următorul punct de vedere : de ce să vorbim și să gîndim într-o limbă străină ? "

## 1.2. Definiții

In domenii restrinse, precum teoria sistemelor deductive (logică, matematică), sau în teoria similarității, noțiunile de model și modelare au un sens precis. Totuși nu există o teorie coerentă a modelării în general și deci nici nu există un consens în ceea ce privește definirea modelelor, a procedeului modelării în general. Situația poate fi caracterizată de faptul că teoria modelării încă neînchegată, se află în fază creativă, euristică.

Sistemele de definiții întâlnite în literatură se exprimă fiecare cu mai multă insistență asupra unui sau altui aspect. Sperăm că prin alăturarea lor să obținem o imagine cătă mai generală asupra ceea ce constituie modelarea = o importantă metodă gnoscologică.

A. În cartea logicianului G.Klaus "Wörterbuch der Kybernetik" /103/ (luerare inclusă și în enciclopedia Ullmann's /109/), definiția modelării este generalisată într-un cadru cibernetic. Modelarea este o relație ternară de natură informațională : sunt implicate obiectul modelării (referență /118/, subiectul (cine) și modelul :



Modelul se bazează pe relația de analogie = corespondență limitată, parțială a funcțiilor, structurii și/sau comportamentului, ori o reprezentare limitată între obiect și model.

Modelul trebuie să fie mai accesibil, mai puțin complex și să permită concluzii asupra obiectului.

B. În luerarea lui S.Marcus din carte "Semantica și semiotica" /107/, se dă o definiție a "funcției gnoscologice a modelului", remarcabil de analitică în ceea ce privește momentele demersului modelării. Cităm :

"Pînd dat un obiect A, un alt obiect B, este un model al lui A dacă sunt îndeplinite următoarele condiții :

- a) Există o analogie între B și A, cu alte cuvinte B îndeplinește o funcție iconică în raport cu A.

- b) Obiectul B poate fi investigat prin cel puțin o metodă care nu este compatibilă cu natura lui A, fapt care impune o anumită eterogenitate a lui B în raport cu A.
- c) Există cel puțin o metodă de tipul afirmat la punctul b), în raport cu care investigarea lui B conduce la concluzii petríviale, există o deosebire nstrivială între elementele de intrare și ieșire în investigarea lui B prin metoda considerată.
- d) Concluziile relative la B (vezi c)) au o anumită relevantă în raport cu A.
- e) Obiectul B are o capacitate de autonomizare și deschidere, el poate fi conceput independent, poate părăsi funcțiile sale a), b), c), d) relativ la A și dobândi funcții similare în raport cu un alt obiect A".

Autorul înțelege analogia în sens de asemănare, făcind o trimitere la clasificarea semiotică - iconic, indicial, simbolic. Cerința de analogie, respectiv de eterogenitate, sunt interpretate ca producind o "tensiune dialectică" în model, fiind momente contradictorii. Relația de modelare, caracteristicile de analogie-eterogenitate-relevantă-autonomizare este definită ca o relație potentială între obiect și model nefiind intrinsecă lui A și lui B. Este o relație a posteriori, în sensul că trebuie identificate trăsăturile a-e pentru a conchide că B este un model a lui A, diferențiindu-se astfel de relațiile legice. Acest sistem de definiție nu precizează explicit funcția și aportul subiectului.

C. Definiția dată de M.Botez în lucrarea /110/ precisează că procesul de modelare presupune o mulțime abstractă care include

- un observator (subiect, autor de modele) simbolizat cu H
- un obiect A care este supus modelării
- o procedură sau un operator de modelare M
- un adresant G, celui căruia î se adresează expunerea.

In continuare, autorul specifică că un model notat  $A^M$  este obiectul obținut prin relația

$$A^M = M(A, H)$$

dacă prin studiul lui  $A^*$  se obțin informații referitoare la A care sunt considerate relevante. Obținerea de informații relevante se face cu ajutorul operatorului de modelare inversat  $M^{-1}$  care permite definierea unei măsuri a modelării :

Pie U multimea de obiecte  $U = \{A\}$  modelate și  $U_H^*$  multimea reprezentărilor posibile ale lui U pentru H. Se asociază o distanță pe U notată cu  $\rho_H$ , prin care U devine un spațiu metric. În acest caz spunem  $A^* = M(A|H)$  ( $A^*$  este un model al lui A pentru H), dacă fiind dat  $\varepsilon_H(A) > 0$  avem

$$\rho_H(M^{-1}(A^*|H), A) \leq \varepsilon_H(A)$$

Această definiție permite în plus, prin descrierea compunerii operatorilor, trecerile de la un punct de vedere la altul : retorizarea unui model, prin care se înțelege compunerea operatorului de modelare cu un nou operator de retorizare, ceea ce înseamnă "traducerea" în diverse limbi, apoi definirea unui șir (convergent) de modele ca un procedeu complex de modelare prin aproximări succesive (vezi de exemplu quasilinearizarea - subcapitolul 1.7).

Această definiție permite și delimitarea domeniului modelelor, modelării : nu orice obiect este un model ; ca un obiect  $A^*$  să fie considerat un model al lui A trebuie să existe un observator și un operator (procedeu) de modelare astfel ca să poată fi recunoscut caracterul de model al lui  $A^*$ .

In modelele din științele naturii și tehnice se utilizează deseori reprezentări ale realității prin prisma unui observator obiectivizat. Exemple : descrieri, modele simbolice, matematice, prin probleme. Alteori se practică în modelare un punct de vedere declarat subiectiv, se obțin modele prin distorsionări, prin descrieri parțiale, prin exemple, iar selectarea părților sau a exemplelor este dicță de preferință personală a observatorului. În această categorie se poate include modelarea personală și individuală a realității, întâlnită mai ales în creația artistică.

Uneori situația se complică prin necesitatea considerării adresantului C real, sau imaginar. Modelul  $A^*$  devine  $A_G^*$  prin aplicarea unui operator de retorizare (traducere) :

$$A_G^* = R_G^H(A^*) = (R_G^H)(A|H)$$

Forme uzuale ale retorizării sunt cele prin retorizatorul universal - limbajele naturale - orice model teoretic sau simbolic poate fi tradus în multimi de propoziții, descrieri, într-o anumită limbă; se mai utilizează retorizare prin cartele, diagrame și, evident, prin matematizare = limbaj matematic.

Retorizarea implică uneori o deformare în plus efectuată conștient sau inconștient. În acest context se poate arăta că disocierea într-o matematizare propriu-zisă și doar o retorizare matematizantă se impune și justifică prin rezultatele obținute. Traducerea în limbaj matematic sau formalizat complică uneori inutil, fără a aduce nici un surplus de pătrundere și înțelegere a fenomenului.

În cadrul acestei lucrări se ajunge la următoarea imagine asupra pluralității modelelor asociabile unui obiect (fenomen, problemă).

Diversitatea modelelor poate proveni

- de la multitudinea observatorilor

$$M(A H_1) \neq M(A H_2) \text{ dacă } H_1 \neq H_2$$

- de la multitudinea operatorilor (procedurilor) de modelare (chiar la același observator)

$$M_1(A H) \neq M_2(A H) \text{ dacă } M_1 \neq M_2$$

- de la diversitatea procedurilor de retorizare. Unul și același observator poate construi un model utilizând același procedeu de modelare, retorizându-și modelul pentru diverse adresanți, obținând astfel diverse modele

$$R_{G_1}^H M(A H) \neq R_{G_2}^H M(A H) \quad G_1 \neq G_2$$

Acest sistem de definiții lasă deschisă problema procedurilor (operatorului) de modelare, nu lămurește aspectele legate de asemănarea, respectiv analogia obiect-model și de asemenea nu lămurește explicit asupra finalității modelelor. Avantajul acestei definiții este determinarea cantitativă a relevanței modelului, o tratare formalizată a pluralității modelelor referitoare la un obiect, includerea adresantului; în modul

acesta face din relația de modelare o relație cuaternară.

D. W.W.Kafarov în cartea "Kybernetische Methoden in der Chemie und chemischen Technologie" /111/ înțelege prin modelare "o metodă de minuire practică și teoretică a sistemelor, la care nu este analizat sistemul propriu-zis ci un sistem ajutător, artificial sau natural (un quasisistem), care se află într-o corespondență obiectivă, determinată cu sistemul modelat, pe care îl poate înlocui în anumite etape (faze) ale procesului de cunoaștere. Prin cercetarea modelului se obțin doar informații esențiale despre sistemul propriu-zis".

In această definiție se utilizează noțiunile de sistem și informație într-un sens intuitiv.

Autorul consideră important

- că analogia este de natură obiectivă,
- că scopul modelării este cunoașterea,
- că această cunoaștere este parțială, dar "esențială".

E. În cartea "Identificarea sistemelor, estimarea parametrilor și stărilor pentru sisteme tehnice, economice și biologice" /112/, F.Eykhoff dă următoarea definiție pentru model = o reprezentare a aspectelor esențiale ale unui sistem existent (sau a unui sistem ce urmează a fi construit), care prezintă cunoștiințele asupra acelui sistem sub o formă utilizabilă. Se precizează că sistem înseamnă o colecție de obiecte aranjate într-o formă ordonată care într-un anumit sens este orientată spre un scop sau o țintă.

Definiția este succintă, utilizează însă noțiuni cu implicații largi : modelul este o reprazentare (în sens matematic sau doar semiotic ?) a aspectelor esențiale (aici se ascunde subiectul care decide ce este esențial și ce nu). Completarea că obiectul modelat poate fi real, sau urmează a fi construit, este salutară. Autorul analizează în continuare procesul de modelare, distingând aspectele structurale ale modelului (care de obicei înglobează cunoștiințele a priori) și pe cele obținute a posteriori prin măsurători, menite să ajusteze, estimeze parametrii și starea modelului. Autorul arată că această separare deși foarte utilă în analiza modelelor, nu poate fi deseori transpuță în mod net : o valoare a posteriori zero a unui parametru poate implica o modificare (simplificare) a structurii. Termenul de structură nu este definit.

Aici trebuie făcută o remarcă importantă : avintul deosebit pe care îl cunoaște utilizarea modelelor (mai ales a celor matematice) în știința contemporană, se datorează tocmai facilităților deosebite în tehniciile (numerice) de estimare a parametrilor modelelor, datorită dezvoltării în ultimele decenii, a calculatoarelor electronice digitale. În acest sens trebuie să citate o serie de lucrări de modelare matematică /111-115/, care constituie colecții de algoritmi, pentru estimarea parametrilor unor modele în calculatoarele digitale rapide (subiectul a constituit tema referatului nr.2 al doctorandului).

Această impact al calculatoarelor asupra metodei modelării, a modificat totodată repertoriul de structuri posibile, utilizabile. Modele care înainte nu aveau nici o valoare, datorită faptului că cereau un timp de calcul insurmontabil, devin operate.

F. În lucrarea lui H.Nurni /104/ se fac distincții între modelele semantice utilizate în matematică, logică, lingvistică și modelele obișnuite utilizate în celelalte științe (vezi și subcapitolul 1.1). Modelele obișnuite se împart în două categorii : în modelele-obiect și modelele-teoretice.

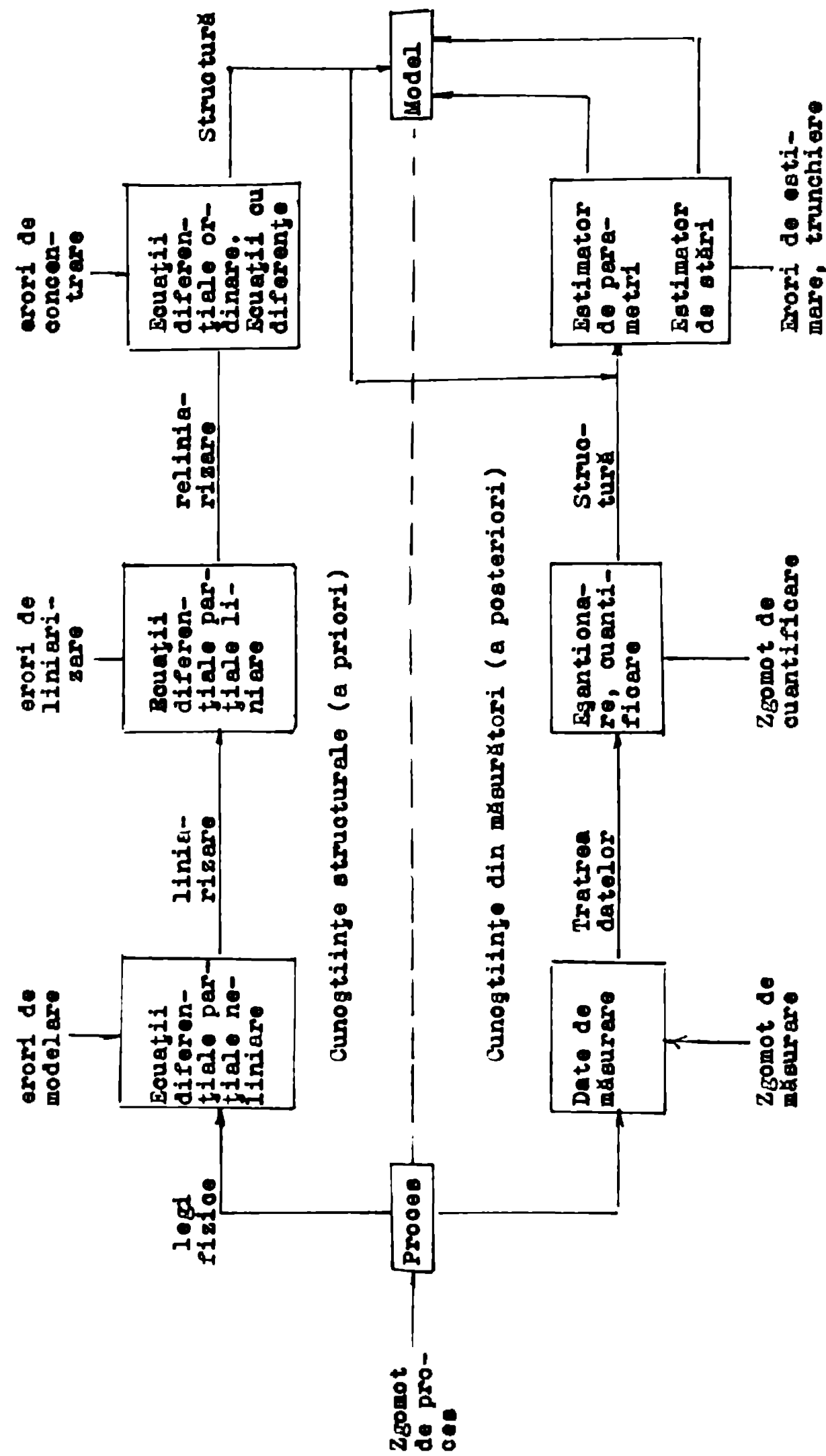
Modelele obiect sunt reprezentări ale unor aspecte sau părți ale unor lucruri reale sau imaginare. Investigarea modelului în locul referentului se face din motive de economie de timp, resurse sau din considerente etice. Factorul crucial îl constituie relația denumită "analogie" între obiect și model.

Uneori această analogie se poate descrie în termeni morfismelor, condiția este ca obiectul și modelul să fie multimi structurate.

Experimentarea pe modelul-obiect se face cu folosul maxim cînd modelul este inclus într-o teorie. Modelul-obiect împreună cu teoria în care este inclus constituie modelul teoretic : găsirea modelului-obiect și apoi includerea sa într-o teorie.

Exemplu : modelul atomic al lui Rutherford - care a necesitat postulatele lui Bohr ca să devină un model teoretic. Practic cele două faze sunt de obicei concomitente, indistinctive. În funcție de teoria în care se înglobează se obțin :

- modelele-obiect + teoria probabilităților = modele probabilistice



Processul de modelare (după Eychhoff /112/)

- modelele-obiect + statistică = modele statistice
- modelele-obiect + matematică = modele matematice

G. "Introducerea în Cibernetică" a lui R. Ashby /116/, tratează problemele de modelare, cu referire la sisteme tehnice și biologice, pe baza conceptelor matematice de izomorfism respectiv homomorfism. Vom începe prin citarea definițiilor, noțiunilor, săa cum sunt date în algebră /117/ :

"O mulțime  $\Omega$  în care sunt definite o mulțime de operații n-are pentru diferenții n, se numește algebră universală".

Numim homomorfism sau aplicație homomorfă de la algebră universală  $\Omega$  în algebra universală  $\Omega'$  o aplicație univocă care are proprietatea că păstrează toate operațiile în următorul sens, dacă :

$$\Omega \ni a_i \xrightarrow{\chi} a'_i \in \Omega' \quad i = 1, 2, \dots, n$$

atunci pentru orice operatie n-arăvel și corespondența ei  $\omega' \in \Omega'$  avem :

$$(a_1 a_2 \dots a_n) \omega \longrightarrow [(a_1 \dots a_n) \omega] \chi = [(a_1 \chi) (a_2 \chi) \dots (a_n \chi)] \omega' \\ = (a'_1 a'_2 \dots a'_n) \omega'$$

deci aplicația univocă  $\chi$  este homomorfism  $\chi : \Omega \rightarrow \Omega'$ , dacă imaginea prin  $\chi$  a compunerii  $\omega$  de elemente este egală cu compunerea imaginilor acelor elemente prin operația  $\omega'$ , corespunzătoare lui  $\omega$ , ceea ce este adevărat pentru toate perchile de operații corespunzătoare  $\omega$ ,  $\omega'$  din mulțimile  $\Omega$  și  $\Omega'$ .

R. Ashby concretizează aceste relații algebrice la relații între mașini și că sisteme dinamice arătând că două mașini sunt izomorfe dacă o transformare biunivocă a stărilor (de intrare și ieșire) ale uneia dintre mașini în stările celeilalte, transformă o reprezentare (canonică) a uneia în celaltă. Transformarea biunivocă poate fi o simplă reetichetare, poate îmbrăca însă diferite grade de complexitate (aviz metoda coordonatelor normale din fizică-matematică).

Două mașini mai pot fi legate de asemenea și printr-un homomorfism. Aceasta are loc atunci când mașina mai complexă poate fi redusă la o formă care este izomorfă cu o mașină mai simplă, printr-o transformare univocă într-un singur sens.

In continuare presentăm într-un tabel sinoptic al trăsătu-

riilor definitorii ale modelelor săa cum rezultă din definițiile date. Pe orizontală sunt trecuți autorii, iar dedesubt trăsăturile conceptului de model luat în considerare. Trăsăturile identice sau echivalente se găsesc pe aceeași linie (vezi pag. M3).

### 1.3. Despre analogie

După cum reiese din capitolul precedent, în cele mai multe definiții, la baza modelării stă analogia ce există între obiectul model și referent. În alte cazuri această relație este concepută ca procedură sau operator /110/, ori în termeni de morfisme /116/ fiind vorbă în esență de același lucru.

Termenul de analogie are o istorie lungă. El a fost utilizat la început în matematică și avea un conținut precis, cantitativă desemnând egalitatea raportului. Cuvântul era folosit deci pentru a exprima nu egalitatea termen cu termen, ci egalitatea raportului :

$$\frac{a}{b} = \frac{c}{d} \quad \text{de obicei } a \neq c, b \neq d$$

Curind termenul a pătruns în filozofie unde a desemnat asemănarea la lucruri care aparțin unor genuri diferite (Aristoteles, Topice A 108a). Analogia este folosită în scopuri juridice, teologice, iar apoi pătrunde tot mai mult și în raționamentul științific, în cele mai diferite ramuri ale sale. O treccere în revîrstă ale acestor ramuri și al modului cum analogia este folosită ca metodă euristică o constituie capitolele II și III ale lucrării lui Ed. Nicolau /105/, "Analogie, modelare, simulare cibernetică".

Analogia este relația crucială dintre model și obiectul modelat. Este un concept general care desemnează similaritatea între obiecte abstracte și/sau materiale. După M. Runge /104/ analogia este de două feluri : analogie substantială (de substanță) cînd obiectele au în comun unele proprietăți obiective (vezi modele de similitudine) : analogie formală, cînd există

## Elemente de definire ale modelarii, ale modelarii în general

G.Klaus S.Marcus W.C.Botes V.V.Kefarov F.Eykhoff R.Nurmi R.Ashby  
 /103/ /107/ /110/ /111/ /112/ /104/ /116/

**Ordinal rela-**  
**tiei** **ternară** **binară** **cuaaternară** **binară** **binară**

**Termenii re-**  
**lației** O - obiect A - obiect A - obiect S S<sub>1</sub>  
 H - model B - model A\*-model R S<sub>2</sub>  
 S - subiect H - subject G - adresant

**Natura termenilor** obiecte obiecte sisteme sisteme obiecte sisteme  
**Natura relației analogie** analogie reprezenta- analogie morfisme  
**limitată** iconice partielle morfisme  
**Scopul** informativ cunoştințe mănuirea prac- cercetare economic- simplificare  
 eterogen operator reprezentanță re parte la similitudini tice și teoreti- sisteme reglare  
 retrieval relevant obiective  
intențional  
a posteriori nu orice obiect model

**Alte caracte-**  
**ristici**

relevant obiective  
potențial  
eterogen  
retrieval  
relevant  
intențional  
a posteriori nu orice obiect model  
 retorizare cuantificare plurielitate  
 accesibil simplificat

cuantificare

utilizabil  
 simplu  
Structura  
parametrii

avantajul  
 unui domeniu  
 avansat

eventajul  
 unui domeniu relație  
 simetrică

o corespondență între unele din proprietățile lor în ceea ce privește forma (morfismele sunt astfel de asemănări ale formei), chiar cind conținutul este diferit.

Dacă obiectele considerate se pot concepe ca multimi, atunci se poate face o analiză a gradului de analogie și anume : cind între multimea ce reprezintă obiectul  $S_1$  și multimea ce reprezintă modelul  $S_2$  se stabilește o relație, vorbim de analogie pur și simplu. Cind se poate defini o aplicație (relație univocă)  $f : S_1 \rightarrow S_2$ , putem vorbi de o analogie funcțională, cind aplicația este injectivă (biunivocă), putem vorbi de o analogie injectivă. Desigur că aceste transformări sunt interesante cind multimile  $S_1$ , respectiv  $S_2$  sunt structurate (nu neapărat algebric-axiomatice). Atunci transformarea funcțională care prezervă relațiile și operațiile pe  $S_1$  respectiv  $S_2$ , se numesc homomorfisme (vezi definiția algebrică în capitolul 1.2 al Anexei), analogia este homomorfică. Un caz special, simetric, care presupune funcția  $f$  bijectivă duce la analogia izomorfică.

Datorită faptului că stabilirea unui izomorfism sau a altui morfism ce conservă structura, cere cunoașterea fie a structurii ambelor obiecte  $S_1$  și  $S_2$ , fie a totalității perechilor intrare-iesire (toate cunoștiințele despre obiectele din relația de modelare), modelele bazate pe astfel de relații strinse nu sunt deseori cele mai eficiente. Astfel, problema nu este de a maximiza gradul de analogie între model și obiect /104/, ci mai degrabă de a construi un model optim din punctul de vedere al datelor disponibile.

Arta construirii de modele constă în acesta de a găsi într-un mod (desigur) intuitiv obiectul modelat și obiecte (matematice, de preferință), astfel ca să se regăsească unele din proprietățile ale obiectului inițial în proprietățile modelului. Această asemănare se extrapolează apoi, și pentru alte proprietăți noi găsite la model.

În legătură cu metoda analogiei trebuie citată următoarea idee critică, limitativă, formulată foarte clar încă de Avicenna (citat după /105/) : "Concluzia prin analogie nu are caracterul de necesitate, decarece afirmația bazată pe asemănare se poate opune altiei, bazată pe altă asemănare, fiindcă există multe lucruri asemenea dintr-o privință, dar diferite dintr-o serie de alte privințe. Într-una din privințe asemănarea ar fi corectă, sau poate fi corectă, dar în celelalte va fi incorrectă. Ana-

logia poate atrage atenție și insufla îndoială, dar nu stabilește veracitatea".

Adevărata valoare a analogiei (care se bazează pe relația de asemănare esențialmente neîntransitivă - două lucruri asemenea cu un al treilea nu trebuie să fie asemănătoare) este aceea euristică, de a sugera legături, demonstrarea lor rămâne în sarcina altor metode (științifice). Totuși științele de sinteză, cum ar fi cibernetica sau modelarea transpun pe alt plan vechile procedee analogice, după cum precizează E.Nicolau /105, pag.70/.

#### 1.4. Modelarea și teoria sistemelor

In definițiile modelării (capitolul 1.2) se observă că unii autori consideră relația de la obiect la obiect /103,104, 107,110/, alții de la sisteme la sisteme /111,112,116/. Situația se complică încă dacă luăm în considerare definițiile date de diversi autori sistemelor, obiectul recentei teorii generale a sistemelor.

L.von Bertalanffy, inițiatorul teoriei sistemelor /121/, consideră că un sistem este un complex de elemente în interacțiune (definiția intuitivă a sistemului).

I.Porrester /122/ consideră un sistem o grupare de elemente care acționează împreună în vederea atingerii unui scop, exemplificând cu un ceas, un automobil, o economie națională, în timp ce un model este un înlocuitor al unui obiect sau sistem supus studiului.

In cartea lor, E.A.Zadeh și E.Polak /125/ înțeleg prin sistem totalitatea relațiilor de intrare-iesire care îi sunt proprii, definiție adoptată și de R.Ashby /116/.

R.Unbehauen în /119/ consideră sistemul un model matematic care poate fi utilizat într-un mod foarte general la investigarea unor obiecte (tehnice).

A.Carabulescu /120/ constată că noțiunea de sistem este primară și nedefinită încă sub formă cuprinzătoare. Modelul și modelarea o definește independent de noțiunea de sistem, ca o reproducere la scară sau simbolică a unei părți a realității, a

unei multimi de evenimente, o teorie, cu scopul testării comportamentului acestora.

C.Penescu definește în /123/ sistemul ca model al unor colecții mai mari sau mai mici de obiecte naturale sau artificiale, în timp ce un model este considerat un obiect creat de om asemănător cu un obiect natural.

In cartea lui M.Tertisco și P.Stoica /124/ prin modelare se înțelege identificarea sistemelor.

In articolul său, M.C.Botez /118/, descrie în modul următor proprietățile ne-sistemice : tot ce este liniar, necircular, uniform, monodimensional, analitic și izolat. Negarea oricărui din aceste calități duce la apariția caracterului sistemic.

Definițiile considerate se pot ordona după cum urmează : unii autori consideră noțiunea de sistem primară și îi atestă un sens intuitiv, concret /112,116,121,122,124/. In aceste condiții sistemul este un referent pentru alt sistem care îl modelează (sens iconic dar și simbolic). In acest sens, demersul de identificare a sistemelor poate fi conceput ca modelare a sistemelor, deoarece se obțin reprezentări ale sistemelor.

Alți autori /111,119,123,125/ consideră noțiunea de model primară, identificind-o chiar cu aceea de produs /123/. Pentru definirea sistemelor părnesc de la faptul că discuția despre sisteme are loc asupra reprezentării acestora, modelul lor. Ilustrăm această idee cu definiția dată de R.s.Kalman și coautori /126/ sistemelor dinamice : "Un sistem dinamic  $\Sigma$  este un concept matematic complex definit prin următoarele axiome :

a) este dată mulțimea de timp  $T$ , o mulțime de stare  $X$ , o mulțime de valorilor de intrare  $U$ , o clasă a funcțiilor de intrare admise  $\Omega = \{\omega : T \rightarrow U\}$ , o mulțime a valorilor de ieșire  $Y$  și o clasă a funcțiilor de ieșire  $\Gamma = \{\gamma : T \rightarrow Y\}$ .

b) direcționarea timpului :  $T$  este o submulțime ordonată (natural) a mulțimii numerelor reale :

c) spațiul de intrare  $\Omega$  satisface următoarele condiții :

1 - netrivialitate :  $\Omega$  este diferit de mulțimea vidă

2 - concatenarea intrărilor : un segment de intrare

$\omega(t_1 t_2]$  este  $\omega \in \Omega$  restrins la  $(t_1 t_2] \cap T$ . Dacă

$\omega, \omega' \in \Omega$ ,  $t_1 < t_2 < t_3$  atunci există  $\omega'' \in \Omega$ ,

astfel încât  $\omega''(t_1 t_2) = \omega(t_1 t_2]$  și  $\omega''(t_2 t_3) =$

$= \omega'(t_2 t_3]$  ;

d) este dată o funcție de tranziție a stărilor

$$\varphi : T \times T \times X \times \Omega \rightarrow X$$

a cărei valoare este starea  $x(t) = \varphi(t, \tau, x, \omega) \in X$  rezultată la  $t \in T$  din starea inițială  $x(\tau)$  și timpul inițial  $\tau \in T$  sub acțiunea intrării  $\omega \in \Omega$  cu următoarele proprietăți :

- 1 - direcționarea timpului :  $\varphi$  este definită pentru toate  $t > 0$  dar nu în mod necesar pentru  $t < 0$  ;
- 2 - consistență  $\varphi(t, \tau, x, \omega) = x$  pentru  $\forall t \in T$ ,  $\forall x \in X, \omega \in \Omega$  ;
- 3 - compozită pentru oricare  $t_1 < t_2 < t_3$  avem :

$$\varphi(t_3, t_1, x, \omega) = \varphi(t_3, t_2, \varphi(t_2, t_1, x, \omega) \omega)$$

- 4 - causalitate : dacă  $\omega, \omega' \in \Omega$  și  $\omega(\tau, T) = \omega'(\tau, T)$  atunci :  $\varphi(t, \tau, x, \omega) = \varphi(t, \tau, x, \omega')$ .

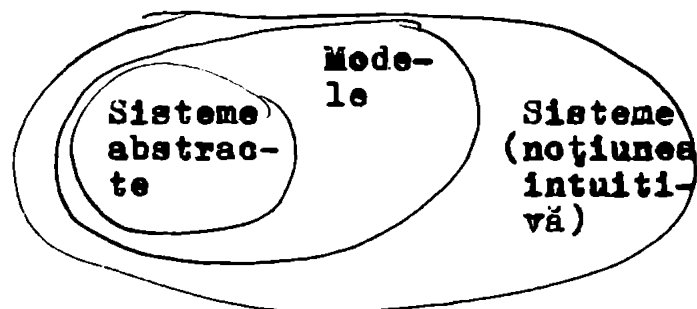
e) există o funcție de ieșire  $q : T \times X \xrightarrow{=} Y$  care determină mărimea de ieșire  $y(t) = q(t, x(t))$ . Tranziția  $[\tau, t] \rightarrow Y$  dată prin  $\sigma \rightarrow q(\sigma, \varphi(\sigma, \tau, x, \omega))$  este un segment de ieșire.

Asupra acestei definiții autorii remarcă :

"Notiunea de sistem dinamic așa cum a fost definită mai sus este de departe foarte generală. O astfel de definiție este necesară pentru stabilirea terminologiei, pentru a analiza și prediza concepțele și pentru a înțelege esențialul dintr-o diversitate de aplicații, dar nu este suficient de coerentă pentru a susține un set de teoreme matematice fundamentale sau deducții practic folositomare. Pentru a construi teoreme matematice corecte și aplicații interesante trebuie să particularizăm și să impunem structuri suplimentare".

Am insistat asupra acestei definiții deoarece în subcapitolul 3.4 se dezvoltă modelul unui sistem dinamic.

Considerăm că relația dintre sisteme și modele poate fi lămurită prin următoarea diagramă :



Aria notiunilor de sistem și model care arată că sistemele abstractive sunt modele ale sistemelor în sens larg.

Teoria generală a sistemelor este o disciplină în impecunioasă dezvoltare realizările căreia sînt deosebit de importante și pentru teoria modelării. În subcapitolul 1.7 al Anexei au fost incluse multe proprietăți sistemicе utilizate la clasificarea modelelor.

### 1.5. Etapele modelării

Demersul modelării este un demers gnosologic complex care parcurge după P. Eykhoff /112/ următoarele etape :

1. - alegerea structurii modelului bazat pe cunoștiințele de fizică, chimie, pe cunoștiințele apriorice asupra sistemului ; apoi se alege scopul modelării. Găsirea unui model potrivit poate fi o problemă foarte dificilă, chiar într-un domeniu îngust de activitate.
2. - potrivirea parametrilor cu datele disponibile (estimarea). În toate situațiile realiste observațiile sunt influențate de eroi, perturbații. Se apelează la metodele statistice pentru obținerea rezultatelor celor mai bune din datele disponibile.
3. - verificarea și încercarea modelului (se face deseori tot în cadrul estimării).
4. - aplicarea modelului în scopul pentru care a fost construit.

Etapele parcursă la modelarea matematică sînt expuse în lucrarea lui I. Rus /129/ ca fiind :

1. - formularea problemei de cercetare în limbaj descriptiv ;
2. - construirea modelului matematic corespunzător, etapă cu pronunțat caracter interdisciplinar, avînd ca rezultat prezentarea problemei în limbaj matematic ;
3. - studiul modelului matematic – o cercetare matematică ;
4. - interpretarea rezultatelor obținute din punct de vedere al problemei inițiale.

Acstea liste nu constituie metodologii generale a modelării ci doar o ilustrare a demersului valabil într-un număr important de cazuri.

### 1.6. Clasificarea modelelor

In fața bogăției modelelor întâlnite în practică științifică actul de clasificare al acestora este pe cît de necesar și important, pe atît de complex. Criteriile de clasificare sunt în număr mare și se pot aplica asupra divergilor termeni ai relației de modelare (capitolul 1.2). Criterii propuse și utilizate în literatură, și clasele cele mai importante sunt redată sub formă de tabel (pag. ).

In cele ce urmează se vor parcurge aceste clasificări și se vor da definiții, lămuriri, explicitări, exemplificări pentru diversele tipuri de modele.

Un prim criteriu este natura modelului. După acest criteriu deosebim modelele fizice /137,138,139,145/ (adică acelea realizate fizic și caracterizate de teoria similitudinii cu tradiții în inginerie) de cele denumite ideale /109/, simbolice sau abstracte /132/. Acestea se mai pot împărti în modele lingvistice, adică cele care utilizează limbaje (naturale sau artificiale) în construcția modelului și cele matematice. În prima categorie intră descrierile de model în limbaje naturale, ceea ce constituie o fază importantă în demersul oricărei modelări. Se pot utiliza însă și limbaje artificiale, limbajele de simulare, spre exemplu care facilitează implementarea anumitor probleme de modelare pe calculator.

Ca o clasă deosebit de importantă putem considera modelele matematice care sunt modele ideale, simbolice, abstracte și acea subcategorie a modelelor lingvistice care utilizează limbajul matematicilor în descrierea modelului /142/. Importanța modelelor matematice rezultă din următorul citat (Klaua /128/ : "Aplicabilitatea deosebită a matematicii se bazează pe abordarea teoretică atît a obiectelor mulțimiște (definite prin prisma teoriei mulțimilor) cît și a unor obiecte reale sau imaginare nedefinite și anume prin construirea unui model matematic. Pentru aceasta, acestor obiecte li se ordonează (în sens intuitiv și într-un mod unic - reversibil) anumite obiecte matematice (care formează mulțimea A) în aşa fel încit anumite proprietăți de bază ale acestor obiecte (legate de proprietăți intuitive ale lor) își găsesc reprezentarea în anumite operații, relații, funcții, submulțimi , , ... cu care se completează

multimea A. Apoi se tratează matematic modelul  $M = A, \cdot, \cdot, \dots$  iar prin interpretarea inversă (retranslația) a concluziilor matematice se obțin informații noi despre obiectul inițial". Se precizează că modelul matematic nu trebuie să fie o structură cu axiome precise rigurose, cu atât mai puțin trebuie să aparțină unor structuri deja lămurite, bine cunoscute. Când însă avem de a face cu o structură, modelul matematic este totodată model al sistemului structural-axiomatice respectiv.

O clasificare asemănătoare se obține dacă se urmărește locul modelului între teorie și realitate /104/, clasificare care s-a prezentat în capitolul 1.2.

Coresponde viziunii sistémice asupra obiectelor de a distinge structura de funcționarea, comportamentul acestora /103, 109, 112/. Ca stare se disting modele structurale, care modelează structura, începînd cu geometria obiectului, o fac intuitivă (modele în chimia structurală, în arhitectură etc.) constituind o unealtă ce sprijină capacitatea de vedere în spațiu a obiectelor. În unele cazuri și modelele fizice prin similitudine sunt modele structurale, decarece asemănarea asigură p parte a condițiilor de unicitate /137/. Pe de altă parte, se disting modelele funcționale, de comportament. Acestea nu își propun să reconstruiască obiectul modelat în detaliile sale ci doar în cele funcționale, comportamentale. Este cazul celor mai multe modele abstracte.

O altă clasificare ușuală este după gradul de complexitate: se disting modele (ca de altfel și sisteme) simple, complexe, hipercomplexe ( mari ), sisteme ierarhice. Modelul și sistemul nu trebuie să meargă în paralel : există modele simple pentru sisteme hipercomplexe. În general, în istoria științei au existat de la început preocupări pentru cazurile simple, separabile, cu un grad redus de interdependentă. În modul acesta s-au căutat și găsit legile diverselor domenii de cercetare. Recent a apărut interesul pentru situații mai complexe, cu interacțiuni multiple. A apărut necesitatea considerării sistemelor mari, complexe /121/. În paralel s-a trecut de la probleme bine definite, la probleme vagi (trătate în mulțimile vagi ale lui Zadeh) și chiar probleme rău definite /142/. Confruntarea cu acestea din urmă, conferă metodei modelării o valoare superioară, ea fiind principala metodă de abordare a lor. După cum arată Nalimov /142/ prin sistem mare, rău organizat se înteleg sisteme în care trebuesc luate în considerare

multă factori (nu există factori preponderenți, dominantii). Astfel de sisteme sunt procesele tehnologice carecăre, creierul uman, societatea umană etc. Se speră că prin dezvoltarea teoriei multimilor vagi să se creeze o unealtă puternică pentru studiul unor astfel de modele.

Dacă clasificăm modelele după gradul de asemănare (analogie) existent între obiect și model avem modelele isomorfe, cu asemănarea cea mai mare, modelele homomorfe, cu un grad de asemănare mai avansat sau mai redus. Aceste noțiuni au fost definite în capitolul 1.2 al Anexei.

Modelele homomorfe sunt deosebit de importante atunci cind se urmărește obținerea unor imagini simplificate sau simplificatoare despre o porțiune de realitate. În acest caz devine importantă considerarea constructorului de modele (obiectul), care este parte integrantă a procesului de modelare.

În funcție de relația dintre subiect și model se mai disting modele externe, cele uzuale, adică modelul este exterior subiectului, și interne cind modelul este interior subiectului. Omul ca ființă creator de modele, le crează mai întâi ca modele interne, ca apoi să le obiectiveze dându-le formă cu ajutorul unui limbaj sau realizându-le ca și modele fizice, proces care poate avea loc și ciclic, repetitiv, acționând conexiuni inverse. Modelele interne pot apărea în afara de om, și în sisteme automate, la care reglarea (optimală) se face în funcție de abaterea unor parametri față de un model intern (de exemplu, ghidarea unei nave spațiale de amelenizare prin comenzi care depind de abaterea de la o traекторie (model intern navei)).

În funcție de scopul urmărit de subiect în procesul de modelare se disting modele de cercetare, proiectare, reglare, optimizare. Pe modele construite pentru cercetare se urmăresc obținerea unei interpretări a cunoștiințelor sau măsurătorilor dobîndite /112/, un ciștig în înțelegerea fenomenului, se urmărește obținerea de indicii pentru continuarea investigației. Cind se urmărește caracterizarea efectului de scară sau interacțiunea diverselor componente ale unei instalații cu ajutorul unor modele, scopul modelării este proiectarea instalației industriale.

Pentru obținerea unor instalații automatizate este necesară modelarea (matematică) a componentelor instalației, care devin numai în acest fel obiecte de reglare /128/. Comportarea regulatorilor, respectiv proiectarea lor, se poate preciza doar prin confruntarea cu un model al obiectului automatizat. Când proiectarea sau reglarea se face cu urmărirea unui scop precis, exprimabil cantitativ (valoric), se pune problema optimizării, problemă care poate fi deseori tratată pe un model (când experimentările pe realizare sunt prohibitive) sau cu un model ca în metoda EVOP.

In continuare se prezintă acele categorii de modele care derivă din proprietățile sistemice ale obiectului model sau ale obiectului modelat. Este vorba spații de clasificările modelelor matematice, avându-se în vedere natura variabilelor, a ecuațiilor etc.

După natura relațiilor dintre variabile se disting modele deterministe și nedeterministe. Cele nedeterministe se împart în stocastice, aleatoare și statistice.

Modelele deterministe sunt caracterizate în mod intuitiv de o dependență univocă a procesului (trecut și viitor), de o multime (de obicei finită) numită starea obiectului. Procesele deterministe sunt modelate cu prioritate de ecuații diferențiale ordinare care constituie un domeniu clasic, bine dezvoltat al modelării matematice. În /131/ se dă o definiție formalizată a procesului determinist (finit, dimensional, diferențial) în termeni de grup cu parametru. Pe lîngă acestea există și procese deterministe infinit dimensionale, care recurg de obicei la modelarea prin ecuații cu derivate partiale. În procesele semideterministe, ca de exemplu, procesele de transfer termic sau de difusie (modelate tot cu ecuații diferențiale cu derivate partiale) este posibilă prevederea viitorului pe baza cunoașterii ecuațiilor sistemului și a condițiilor inițiale și de frontieră, însă întoarcerea în trecut nu este posibilă.

Comportamentul nedeterminist este caracterizat printr-o dependență neunivocă a variabilelor proceselor. În modul acesta unei anumite situații, stări bine definite îi pot corespunde după un timp o multitudine de alte situații ce se caracterizează prin diverse probabilități (fenomene aleatoare). În cazul în care și variabila timp este implicată în astfel de fenomene se vorbește de modele stocastice. Când timpul nu este variabilă independentă se vorbește de modele statistice /109/. Fenomenele cu comporta-

ment nedeterminist sănt caracterizate (de obicei) prin diversele modele elaborate în cadrul teoriei probabilităților, a teoriei proceselor stocastice pe de o parte, pe de alta, modelele statisticii matematice (analiza de regresie, analiza varianței etc.).

Specificăm că nu există o legătură univocă între felul procesului (determinist sau aleator) și felul modelului utilizat în cercetarea acestuia. Deosebi se caută relații univoce pentru valori medii ale fenomenelor aleatoare (stocastice sau statisticice), dar se utilizează și modele aleatoare (metoda Monte Carlo) în rezolvarea unor probleme în sine deterministe (exemplu, calculul unor integrale).

Liniaritatea obiectului și a modelului constituie o proprietate importantă care deseori ușurează foarte mult, făcînd posibilă utilizarea unor reprezentări matematice. Proprietatea de liniaritate se poate defini după cum urmează : dacă o variabilă face parte dintr-un spațiu liniar, iar sistemul (modelul) este reprezentat ca și un operator, acest operator este "liniar" față de combinația liniară a variabilei ; simbolic :

$$f(ax + by) = a f(x) + b f(y)$$

Intr-un mod mai intuitiv : dacă se dublează intrarea într-un sistem și ieșirea devine și ea dublă, sau se aplică un semnal, apoi altul, iar la aplicarea sumei semnalelor se obține efectul însumat ; spunem despre sistem că este liniar.

Bunul renume al sistemelor liniare derivă de acolo că ecuațiile diferențiale liniare (de ordinul n sau vectoriale) au o teorie bine închegată și sănt principalul tip de ecuații diferențiale rezolvabil analitic. De asemenea este bine închegată teoria matematică a spațiilor liniare (spații vectoriale) de orice dimensiune și a operatorilor liniari (dintre care i-am amintit pe cei diferențiali). Față de această situație, sistemele (modelele) neliniare au o teorie mult mai puțin pusă la punct. De obicei nu este posibilă obținerea soluțiilor analitice și numai după răspindirea calculateelor electronice a devenit posibilă abordarea numerică a unor astfel de sisteme. Bazîndu-se pe avantajele modelelor liniare sau/și pe posibilitatea transformării (aproximării) modelelor s-au propus diverse procedee de liniarizare, procedee ce se utilizează curent. Unul din acestea este procedeul datorat lui R.Bellmann

denumit quasilinearizare, care transformă un sistem de ecuații diferențiale neliniare, în ecuații diferențiale liniare după metoda Newton-Raphson, iar apoi abordează calculul unor parametri ai modelului, precum și unii parametri de stare într-un proceseu iterativ /138/. Ca metodă de modelare usuală cităm și metoda de aproximare în jurul unui punct de echilibru prin dezvoltare în serie (convergentă) a dependenței cu neglijarea termenilor superioiri.

De asemenea este importantă distincția ce se face între sistemele liniare în variabile (de stare) și sisteme liniare în parametri. Ambele liniarități sunt de dorit, iar absența uneia sau celelalte trebuie compensată prin metode diferite (ale analizei numerice în general).

După tipul de ecuații care constituie modelul matematic se disting cele analitice-algebrice, diferențiale sau integrale. Se utilizează și ecuații recursive, iar un tip important de aproximare a ecuațiilor diferențiale sunt ecuațiile cu diferențe finite. După numărul de variabile (parametri) implicați în ecuații se disting cazul unidimensional, cazul uniparametric, apoi cazurile multivariabil, multiparametric. Se utilizează și modele de dimensiune . Când discutăm de dimensiune este vorba de obicei de dimensiunea spațiului fazelor (stăriilor).

După natura variabilelor se disting modele discontinue (discrete), cind mulțimea în care se modeleză fenomenul este mulțimea numerelor naturale, sau o altă mulțime izomorfă cu ea. Reprezentările în calculator, deși utilizează numere cu virgulă flectantă, sunt de fapt reprezentări discrete, însă quasicontinuе. Multe din reprezentările uzuale analitice presupun continuitatea. Termenii discontinuu, continuu sunt folosiți cu o semnificație diferită în terminologia proceselor, a utilajelor : este discontinuu un proces care are loc în șarje, continuu cel în care se introduc materiale, energie, informații în timp. În acest sens se cunosc și procese semicontinuе, cele în care o parte din intrări (iesiri) sunt continue, altele discontinuе.

La baza ecuațiilor ce modeleză sistemul se pot considera ecuațiile de bilanț de materiale /133/, de bilanț energetic sau de bilanț economic (valoric) /132/, completate cu ecuațiile de transport (transfer al domeniului respectiv), care pot fi ecuații de transport de materiale, de transport termic, ecuații de difuzie, ecuații care modeleză transferul de informații. În strînsă legă-

tară cu baza ecuațiilor modelului este și modul de delimitare a sistemului. În acest context se disting sisteme și modele închise, cele bine delimitate de mediul înconjurător care au transportul spre exterior sau din exterior reduse la zero, sistemele deschise se întrețin pe baza fluxului de orice fel (material, energetic, informational) din exterior și spre exterior. Exemplul cel mai la îndemînă de sistem deschis este orice ființă vie. Deschiderea sau închiderea unui sistem se caracterizează și din punct de vedere cibernetic, distingindu-se sisteme deschise (fără buclă) de sistemele închise (cu buclă) cu reacție pozitivă sau negativă. Modelele sistemelor închise, cu buclă (feedback) constituie achiziția principală ce a marcat dezvoltarea din anii '50 a ciberneticii, a teoriei reglării. Importanța modelelor cu buclă, cu reacție pozitivă rezidă în înțelegerea fenomenelor explosive care (temporar) nu sunt frâinate și în modul acesta "atentează" la atingerea și depășirea limitelor.

Același criteriu (modul de delimitare față de mediu) este utilizat și în sistemele caracterizate din punct de vedere termodinamic, cind se distinge modelul izoterm (se păstrează temperatura pe parcursul desfășurării procesului), adiabatic (cind sistemul este izolat termic), sau politrop cind procesul are un schimb caloritic oarecare.

O clasificare profundă a modelelor are loc în funcție de rolul pe care îl joacă variabila independentă, care prin excepție o constituie timpul. Modelele în care timpul nu este implicat sunt cele statice (statistice în cazul fenomenelor aleatoare). Existența modelelor statice implică o idealizare. În foarte multe modele se caută însă tocmai dependența de timp a diverselor variabile (sunt modelele dinamice, cinematice). O diferență subtilă se face între static și stationar : fenomenele care au loc principial în timp, dar care din cauza structurii procesului decurg cu menținerea temporală a variabilelor de stare, nu însă și spațiale, se numesc staționare. Ele se caracterizează prin faptul că fluxurile (intrările și ieșirile) se echilibrează, ceea ce duce la constanță (locală) a variabilelor (de stare). Procesele sunt nестaționаре cind modificările au loc în spațiu și în timp. O formă legată strâns de procesele n'estaționare este regimul transitoriu, comportamentul dintre două stări staționare. Modelele se numesc autonome dacă sunt

invariante la o translație a timpului și neautonome dacă nu au această proprietate.

In continuare vom etala o serie de caracteristici structurale care permit clasificări ale sistemelor (modelelor). Astfel, în cazul în care există o omogenitate spațială, modelul se poate caracteriza printr-o variabilă (simplă sau vectorială) mai degrabă decât o distribuție dependentă de timp. Astfel de modele se numesc cu parametri concentrați (asemenea modele punctuale sunt tărîmul ecuațiilor diferențiale ordinare). Cînd în model nu se realizează omogenitatea în spațiu, avem de a face cu sisteme cu parametri distribuiți (tratabili prin ecuații cu derive parțiale, mult mai dificil de abordat). Cînd însă în sisteme spațiale se realizează un regim staționar, se poate trece la modelarea tot cu ecuații diferențiale ordinare a sistemului, înlocuind variabila timp cu cea spațială (uneori monodimensională). Modelele continue (de tipul ecuațiilor cu derive parțiale), se pot aproxima deseori prin modele celulare, aranjate consecutiv. Acest procedeu de discretizare este mult utilizat în metodele grafice uzuale de proiectare, dimensionare a diverselor utilaje chimice de tip coloane, reactoare tubulare etc.

In concepția sistemică este ușuală trecerea de la elemente cu modele matematice relativ simple la ansambluri mai mult sau mai puțin complexe de elemente în interacțiune (în acest context elementul este un tot funcțional caracterizat printr-un model matematic de tip intrare-stare-iesire, simplu, cunoscut). Se cunosc diverse caracteisticile ale schemelor complexe de interconectare inspirate din teoria circuitelor electrice. Astfel, se distinge legarea în paralel a elementelor, cînd mai multe elemente au aceeași intrare, iar ieșirile se sumează și legarea în serie, cînd elementele sunt consecutive, ieșirea primului element constituie intrarea următorului etc. Acestea sunt doar două cazuri simple, extreme ce analizează schemele cu legături complexe întîlnite deseori. La legarea elementelor cu parametri distribuiți se disting legarea în echicurent, legarea în contracurent sau realizarea curentului încrucisat, fapt care se poate răsfringe asupra modelului matematic al obiectului.

In clasificarea modelelor uzuale în ingineria chimică și chimie se utilizează încă ca și criteriu domeniul din care provin modelele, distingindu-se modele termodynamice – cele care core-

lează date energetice cu date de material (ecuații fenomenologice), procesele fiind considerate atempurale sau modele cinetice care provin din domeniul omonim și abordează aspecte de dependență față de timp a transformărilor chimice. Un loc aparte și l-au cîștigat abordările extratermodinamice ale relațiilor structură-reactivitate de tipul relațiilor liniare de energie liberă. Tot în acest domeniu de aplicare a modelării mai restrînse se utilizează modele diferite în funcție de starea de agregare a sistemelor caracterizate : gazoase, lichide, solide și de asemenea modelele sistemelor heterogene gaz-lichid, gaz-solid, lichid-solid au trăsături deosebite.

In legătură cu sistemele dinamice se disting modele cu memorie și fără memorie. La sistemele fără memorie viitorul nu depinde decît de starea prezentă : aceasta se întâmplă la sistemele deterministe dar și la sisteme cu comportament aleator markovian. In cazul în care o stare din trecut influențează evoluția sistemului, este vorba de un sistem cu memorie. Modele pentru sisteme cu memorie este de exemplu calculatorul (digital), dintre modelele matematice uzuale sunt ecuațiile cu argument modificat, în special cele cu argument întins /129/.

Sistemele cu memorie sunt o premiză pentru unele sisteme zis adaptive, ce pot învăța și apoi anticipa. Aceste activități au fost definite în cadrul teoriei sistemelor, dându-se modele conceptuale și matematice. Cu aceste calități (care desigur că permit o clasificare în funcție de existența sau non-existența lor) am ajuns la criteriile cibernetice de clasificare ale sistemelor și implicit ale modelelor.

Se spune despre un sistem că este observabil dacă dintr-o intrare și o ieșire se poate deduce starea sistemului /123/. Controlabilitatea este proprietatea de a produce o anumită stare, ieșire a sistemului independent de starea sa inițială. Proprietățile de identificabil și separabil se referă la faptul că se poate da un model cu comportamentul echivalent, iar acest model se poate separa într-o structură de modele elementare.

O calitate importantă a sistemelor (și a modelelor) este aceea de stabilitate sau instabilitate. Un sistem este stabil dacă tinde la starea (de echilibru) inițială, dacă a fost per-

turbat. Revenirea poate fi directă sau cu oscilații amortizate. Un sistem instabil, care pornește din starea de repaus printr-o perturbație inițială, o amplifică pe aceasta, apare o creștere sau o oscilație cu amplitudini crescătoare pînă la invalidarea sistemului. Studiul stabilității are metode consacrate, ca în modelele de stabilitate mecanică a corpurilor solide sub influența unor forțe (flambajul barelor, vaselor cu pereti subțiri) și în teoria reglării, unde se studiază stabilitatea sistemului obiect reglat - regulator, pe modelele matematice ale acestora.

Ideeua de optimalitate este o idee extrem de generală, ea se referă la o ordonare a unor aspecte cantitative legate de modele în cazul cel mai general. Beneficiază de niște tehnici numerice bine puse la punct, astfel încît este avantajos în a aduce diferențele probleme la forma de optimizare. Acest demers este de exemplu ușual în estimarea parametrilor unui model /112/, acțiune ce se desfășoară conform celor arătate : se caută "cei mai buni parametri", "valorile cele mai bune". Pe de altă parte se pot defini deseori condiții de optim în cazul unor probleme de proiectare de utilaje. În acest caz se caută acele valori de proiectare care asigură satisfacerea condițiilor de optim, ceea ce se realizează cu ajutorul unor modele matematice de estimare adevărate. În continuare se redau clasele descrise sub forma unui tabel :

Clasificarea modelelor

Nr. crt.	Criteriu	Clase	Literatură
1.	Natura modelului	Modele fizice, simbolice (ideale, abstracte), lingvistice, tematice	109, 128, 131, 132
2.	Modul de integrare într-o teorie	Modele semantice, teoretice, modele-objecț	104
3.	Latura modelată	Modele structurale, funcționale, de comportament, combinate	103, 104, 116
4.	Grad de complexitate	Simple, complexe, hipercomplexe, ierarhizate	104, 116
5.	Modul de definire	Bine definite, vagi, rău definite	142
6.	Gradul de asemănare între model și obiect	Isomorfe, homomorfe, distorsionate	110, 116
7.	Rectorizare	Pără rectorizare, cu diverse rectorizări	110

Nr. crt.	Criteriu	Clase	Literatură
8.	Relația subiect-model	Externe, interne	103
9.	Scopul	Cercetare, proiectare, re-glare, optimizare	112
10.	Natura relației din-tre variabile	Deterministe, nedeterminis-te, stocastice, aleatoare, statistice	9,113,116, 125,131
11.	Liniaritatea modele-lor	Liniare, liniarizate, quasi-liniare, neliniare, varili-niare	111,125, 132,141
12.	Tipul ecuațiilor	Analitice-algebrice, diferen-tiale, integrale, recursive, numerice, cu diferențe	122,130
13.	Natura variabilelor	Discontinue (discrete), con-tinuue	103
14.	Baza ecuațiilor	Bilanț (materiale, inclusiv pe specii moleculare, termic, economic) ; transport ; trans-fer de informație	132,133, 138
15.	Delimitarea siste-mului	Inchise, deschise, semiinchise cu reacție negativă, pozitivă	122,132
16.	Aspecte termice	Izoterme, adiabatice, politrope	
17.	Dependență de timp	Statice, dinamice, staționare, nestaționare, autonome	132,139
18.	Caracteristici struc-turale	Cu parametri concentrații, pa-parametri distribuții, echicu-rent-contracurrent-current in-crucișat ; continue-celulare paralele-consecutive	113 111 111 111
19.	Felul cunoștiințelor utilizate	Termodinamice - cinetice	113
20.	Starea de agregare	Omogene solid-gaz-lichid ; eterogene	113
21.	Prezența memoriei	Cu memorie, fără memorie	125,135
22.	Functii cibernetice	Adaptive, anticipative, ob-servabile, identificabile, separabile, controlabile	123,135
23.	Stabilitate	Stabile, instabile	123,125, 132,140
24.	Optimalitate	Optimale, neoptimale	114

### 1.7. Scopul, avantaje și limite ale metodei modelării

Scopul construirii modelelor în știință este de a crea unele care să faciliteze cunoașterea : modelele sunt mai accesibile /107,109/, se investighează prin metode mai la îndemînă, sunt mai puțin complexe, mai ușor de mînuit. Minuirea modelelor facilitează obținerea unui plus de informații (cunoștințe), alteleori sunt indispensabile în procesul de prelucrare, concentrare a informației (utilitatea modelelor statistice). Modelarea este un demers important de depășire a unor limite inerente omului, în ceea ce privește intuiția în cazul unor sisteme la scară neobișnuită, tehnice sau sociale, mai mult sau mai puțin difuze și rău definite /142/. În acest sens J. Forrester precizează (/122, pag.112) :

"Gîndirea umană este bine exersată în construirea și utilizarea modelelor referitoare la obiectele din natură cît și în utilizarea modelelor care asociază cuvinte și idei. Neajutorată însă la confruntarea cu sistemele social-economice și tehnologice moderne, gîndirea umană nu este exersată în construirea și interpretarea modelelor dinamice care redau variații în timp a comportării sistemelor complexe". În continuare autorul arată limitarea modelelor obișnuite (mentale) în situația descrisă legînd-o de caracterul neclar, inconsecvent, nedefinirea premiselor, impossibilitatea manipulării și pledează pentru modele matematice care împreună cu calculatorul digital constituie o prelungire eficientă a capacitatii omului de a construi modele.

Pe lîngă scopul de obținere a cunoștințelor (gnoscologie) modelele sunt și mijloace utilizate în reglarea comportamentului sistemelor dinamice /109/.

Avantajele utilizării modelelor sunt de natură economică, (temp, resurse), dar și de natură etică /104/. Se poate aprecia că costul unor studii crește rapid în funcție de mijloacele utilizate : cele mai ieftine sunt studiile teoretice, incluzîndu-le pe cele de modelare conceptuală, matematică, urmînd studiile pe modele fizice, în instalații pilot. Cele mai scumpe sunt informațiile obținute de pe instalațiile industriale (know how).

Pe lîngă avantajele enumerate, care sunt desigur și ele o cauză a utilizării foarte largi a metodei modelării, această metodă are și unele limitări, pe care de altfel le-am sugerat cînd

am prezentat analogia ca metodă logică de bază a modelării (capitolul 1.3). Concluziile bazate pe analogie nu sunt totodată demonstrate, ele trebuie confirmate prin alte metode. Ca metodă gnosologică, modelarea are în primul rînd o importanță euristică /105/. Cunoașterea prin model este mai puțin profundă, mai fragmentară, incompletă și deseori ambiguă, datorită pluralității modelelor, după cum precizează B.Baranovski /134/. Pe de altă parte cunoștiințele obținute de pe model, nu se referă la natura specifică a obiectului, cum arată S.Marcus /107/, căci modelul este caracterizat printr-o tendință de autonomizare, el devine model pentru o clasă de obiecte.

O altă problemă se pune în legătură cu verificarea unui model. Se apreciază că nu este necesară o insistență exagerată în legătură cu verificarea modelelor. Aceasta rezultă din însăși condițiile logice ale modelării : o confirmare a unui model pe baza calculelor și a experimentului încă nu este o dovadă a corectitudinii modelului - din premise false sau parțial valabile se pot trage și concluzii corecte /134/. De altfel, verificarea modelului constituie deseori o parte integrantă a procesului de modelare (a se vedea definiția cuantificată citată la pag.105). În acest caz criteriul de calitate al modelului îl constituie "distanța" dintre variabilele modelului și a obiectului modelat. În acest mod de abordare este implicat scopul modelului în procesul de verificare. Această implicare este de altfel foarte importantă (după cum insistă mulți autori /104,110,132/), mergind pînă acolo că uneori trebuie să fie abandonate criteriile cantitative (exactitatea predicției), în folosul unor elemente comportamentale (modele pentru sisteme mari).

O altă problemă strîns legată de valoarea metodei modelării o constituie pluralitatea modelelor (referitoare la un obiect). Aspectul care deranjează este că pot coexista o mulțime de modele (referitoare la același obiect) fără a putea fi posibilă o discriminare sau ordonare a acestora. Exemplificăm prin modelele privind statistică intersecției unor drepte /146,147,148/, a relațiilor isocinetice /149,151,158/ (și literatura citată acolo), descrise în detaliu în subcapitolul 2.2.

### 1.8. Modelarea din punct de vedere euristic

Scopul euristic constă în studiul metodelor și a regulilor activității de descoperire și inventare (Polya /127/). Relațiile metodelor modelării cu euristică sunt simetrice : pe de o parte se pot descrie reguli (metodologia) ale demersului modelării, etapele găsirii și verificării de modele (tratate în capitolul precedent, subcapitolele 1.5 și 1.6). Pe de altă parte, metoda modelării constituie una din principalele metode euristicice, lucru la care ne-am referit de asemenea în capitolul întâi, în mod deosebit în subcapitolul despre analogie (1.3).

Revenind la unele considerente privind euristică demersului de modelare, trebuie să remarcăm importanța construirii modelului într-un context potrivit, stimulator. În acest sens apare în lumina potrivită, importanța modelării matematice, care practică "scufundarea" modelului în limbajul evoluat, bine structurat, logic al acestei discipline, obținându-se în modul acesta cîștigul optim al demersului modelării.

Punctul de vedere euristic suscitere o discuție privind căile de obținere a unor modele noi. O astfel de cale generală a fost descrisă în subcapitolul 1.6, pag. , în citatul lui Klaus. O altă cale ar fi aceea de a porni de la modele cunoscute, de a analiza idealizările efectuate în vederea obținerii unei soluții analitice și a reduce treptat unele idealizări, acceptînd și modele neliniare sau mai general, modele neresolvabile analitic. Asupra acestor noi modele se pot face studii prin tehnicile numerice, cu ajutorul calculatoarelor. În acest sens putem cita lucrările noastre /156/ care va fi tratată detaliat în subcapitolul 3.4.

O altă sursă de modele noi sunt modelele descriptive (descrieri vagi) existente. Se pot căuta moduri de descriere matematice (modele matematice) prin formalizarea problemei. Cităm în acest sens modelele pentru statistică intersecției a două drepte, caz ce apare în chimia analitică /146,147,148/, extins apoi și asupra intersecției a mai multor drepte, caz interesant în tratarea formalizată a relațiilor extratermodinamice de genul relațiilor iso cinetice /149,153,158/. Aceste lucrări vor fi resumate în subcapitolul următor. Tot ca formalizare a unei probleme definite con-

ceptual prin modelare matematică se pot cita lucrările /150,151,152/, care tratează un model pentru un fenomen accidental - aglomerarea sodiului dispers la soareala piridinei. Aceste lucrări sunt dezvoltate pe larg pe parcursul capitolului 3, subcapitolul 3.1 al tezei.

O sursă de modele matematice numerice, noi se obțin prin transpunerea unor soluții grafice adoptate și consacrate în multe probleme ale calculului ingineresc (calcule grafice de dimensionare), cum ar fi de exemplu calculul grafic al numărului de talere teoretice ale coloanelor de rectificare, ale coloanelor de extracții sau ale extractoarelor cu stagii, ale reactoarelor unei cascade etc. Se obțin în modul acesta programe interesante și deseori importante largiri ale modelelor prin folosirea unor facilități ale calculatorului digital. Se mai poate cita în acest sens și tendința spre algebrizare a reprezentărilor : dreapta de regresie liniară nu se mai trasează geometric după ochi, ci se calculează parametric, fiind posibilă includerea unor aspecte, statistică. Această tendință s-a manifestat și în lucrările deja citate de calcul al intersecției /146,147,148/ a două drepte sau a mai multor drepte /149,153,158/.

O altă sursă de modele noi o constituie teoriile matematicii, statisticii, teoria generală a sistemelor etc., domenii care prin însăși caracterul lor interdisciplinar generalizează price descoperire, făcând într-un domeniu particular și datorită tendinței de autonomizare a modelelor, le generalizează utilizarea punindu-le la dispoziția și altor domenii ale cunoașterii. Rezultă de aici necesitatea unei informări și formări vaste, a unei adevărate culturi politehnice, a stăpînirii a căt mai multe modele.

Incheiem acest subcapitol cu un tabel cu diversele ramuri ale științelor ce pot interfera la găsirea de noi modele, la dezvoltarea teoriei modelării.

Modelarea

Teoria sistemelor

Teoria reglării

Teoria informației

Cibernetica

Statistica (matematică)

Matematica

{ Algebra  
Analiza  
Metode numerice  
Topologie  
Ecuații diferențiale ordinare  
Ecuații diferențiale cu derivate parțiale

Teoria semnalelor

Teoria jocurilor

Calculateare și programare

Semiotica și lingvistica

Teoria similarității și analiza dimensională

Prelucrarea datelor

Recunoașterea formelor (pattern recognition)

-----

### 1.9. Descrierea unor contribuții proprii de modelare în chimie și tehnologia chimică

In lucrarea intitulată "Die Sicherheit der Ergebnisse im Falle von linearen physikalisch-chemischen Titrationskurven"/146/, se dă formularea intervalului de încredere al punctului de echivalentă pe baza legii de propagare a erorilor, care constituie un model general bazat pe dezvoltarea în serie a funcției și calculul erorii după trunchiere. In lucrarea "The Equivalence Point and the Confidence Interval of Linear Titration Curves in the Outlook of Normal Bidimensional Distribution of Branches"/147/ se dezvoltă un alt model, bazat pe descrierea ramurilor drepte prin distribuții tridimensionale normale. Intersecția rezultă ca produs al densităților de probabilitate a celor două ramuri. Se pot obține cu acest model atât valoarea discretă a intersecției - valoarea maximă a distribuției intersecției - cît și dispersia acesteia, care permite formularea unui interval de încredere.

In "Statistische Untersuchungen des Äquivalenzpunktes von linearen Titrationskurven mit Hilfe von numerischer Simulation" /148/ se face o comparație între cele două modele, pe date obținute prin simulare (Monte Carlo).

Se găsesc astfel avantaje ale modelului bazat pe distribuția tridimensională, care permite definirea unui interval de încredere mai mic pentru aceleasi date experimentale. In modul acesta se poate mări cantitatea de informații prin utilizarea modelului nou propus.

Modelul statistic pentru intersecția a două drepte bazat pe distribuția normală bidimensională se poate ușor generaliza și pentru un număr oricare de drepte. Acest caz l-am tratat în lucrarea "Metoda de calcul analitic al polului unei familii decurbe experimentale liniare prin considerarea distribuțiilor bidimensionale /103/.

In această lucrare am arătat că pentru situația unei familii de drepte (obținute prin modelarea dependenței constanțelor de viteză cu ecuația Arrhenius), se poate considera un pol - ceea ce se face de obicei cind se consideră relațiile de energie liberă (RLEL) de tipul relațiilor izocinetice, iso-

entropice sau izoentalpice. Coordonatele acestui pol se pot calcula din modelele de distribuție bidimensională ale dreptelor dacă se consideră probabilitatea compusă

$$P_{int}(xy) = P_1(x,y) \cdot P_2(x,y) \cdots P_n(x,y)$$

In lucrare am calculat valoarea coordonatelor polului ca și valori extreme ale probabilității  $P_{int}$  obținindu-se valori asemănătoare cu cele din literatură. In continuare am socotit demnă de interes aprofundarea unor aspecte legate de formalizarea existenței relațiilor izocinetice, cît și de clasificarea acestora. In această direcție am publicat lucrarea cu titlul "Relații de energie liberă la hidroliza bis-dimetilclorofofosfatului în amestec apă-HMPT" /153/ și apoi am expus o comunicare în care am descris un algoritm de calcul pentru identificarea și clasificarea automată a RLEL, bazat fie pe reprezentarea familiei de drepte prin drepte de regresie, fie prin distribuțiile bidimensionale /176/. Existența unui pol este modelată cu ajutorul relației de compatibilitate a sistemului liniar cu N ecuații, dar cu doar două necunoscute (coordonatele polului).

Un complex de probleme care solicită deseori metoda modelării este acela al efectului de solvent. In această direcție am publicat lucrarea intitulată "Cinetica și mecanismul hidrolizei bis(dimetilamino)clorofofosfatului" /178/, în care tratăm influența diverselor solventi, metanol, acetonă, dioxan etc. asupra hidrolizei compusului enunțat. Datele cinetice se coreleză mai întâi cu ecuația de tip Grünwald-Winstein, apoi cu rezultat îmbunătățit cu o ecuație liniară multiparametrică, în care s-a ținut cont și de concentrația apei pe lîngă constantele de solvoliză Grünwald-Winstein. Se obține în modul acesta un model mult mai precis, ce poate fi folosit la predicția reactivității compusului considerat.

Intr-o lucrare menționată mai sus /153/ am abordat de asemenea hidroliza clorurii acidului diamidofosforic, de data aceasta însă în amestecuri de diferite proporții dintre HMPT (hexametiltriamida acidului fosforic) și apă. In această lucrare datele cinetice permit stabilirea unei relații izoentalpice, pentru care am utilizat modelul descris mai sus.

In cadrul subiectului tezei de doctorat, in capitolul 3.2 ne-am ocupat de un model matematic privind caracterizarea unor

evenimente accidentale : aglomerarea observată în unele cazuri la sodarea piridinei în HMPT (rezultatele au fost publicate în lucrările /150-152/), ce va fi descris în detaliu în subcapitolul 3.1 al tezei.

Lucrarea /154/ se referă la "Analiza variantei aplicată la un reactor continuu tubular operat în regim uniform și pulsator". Se efectuează un set de experimente după o schemă bifactorială, unul din factori fiind regimul ce se urmărește la două nivele : uniform și cu pulsații ; celălalt factor fiind trei nivele de alimentare. Aplicând un model de analiză a variantei de tip I (cu efecte deterministe) se formulează ipoteze referitoare la influența regimului uniform sau pulsat asupra timpului mediu de staționare pe de o parte, pe de alta asupra randamentului (ambii parametrii sunt urmăriți prin măsurători asupra reactorului experimental). Se confirmă o parte din aceste ipoteze, fapt care permite unele concluzii asupra regimului de funcționare ale acestui tip de reactor, concluzii ce s-au verificat și la realizarea unui reactor industrial.

In lucrarea "Programarea neliniară și algoritmul simplex aplicat la calculul parametrilor Del Re" /155/ se utilizează un algoritm de optimizare cunoscut pentru aflarea parametrilor ce intră în calculul după metoda Del Re a constantei dielectrice a unor compuși organosoforici. Dependența funcțională dintre valoarea acestor parametri și constanta dielectrică este neliniară și neexplicitabilă. De aceea această dependență nu este inversabilă. Calculul constantei dielectrice se poate însă efectua pornind de la parametrii Del Re ipotetici. Comparând apoi valorile constanțelor calculate cu cele experimentale se modifică valorile de start în pași consecutivi pînă la obținerea unei apropieri acceptabile între mărimile calculate și experimentale. Această lucrare constituie deci o determinare de parametri printr-un algoritm de optimizare.

In lucrarea /158/ ne-am ocupat de "Sensibilitatea concentrației finale față de raportul volumelor de extractie la extractii multiple în curent încrucișat". In lucrare se abordează extractia cu curbe de echilibru neliniară. In acest caz calculul a mai multor studii de extractii se poate efectua fie grafic, fie algebric, curba de extractie aproximîndu-se

cu polinoame. Optimizarea raportului de volum la un volum total constant se efectuează cu un program pe calculator. Se poate astfel determina acea secvență de extractii care permite performanță optimă : la trei extractii consecutive se obține astfel o concentrație finală mai mică decât la efectuarea extractiei cu volume egale.

In lucrarea "Model matematic pentru cinetica reacției de sinteză a hexametiltriamidei acidului fosforic (HMPT)" /160/ propunem o ecuație de viteză de tipul :

$$v = k c \cdot PCl$$

pentru caracterizarea cantitativă a reacției dintre bis-dimetil-amidoclorofosfat și dimetilamină, apoi se determină valoarea lui  $k = 1,70$ , iar parametrii de activare și ecuației sunt obținuți din următoarea ecuație Arrhenius :

$$\log k = 28,7 - 9500/T$$

$$\log A = 18,1$$

$$E^\ddagger = 30800 \text{ cal/mol.}$$

Ecuația este utilizată în calculul reactorului de obținere a HMPT-ului datorită faptului că reacția studiată este determinată de viteză, la obținerea acestui solvent din oxiclorură de fosfor și dimetilamină.

In lucrările experimentale care au fundamentat brevetul nostru /161/ am demonstrat mecanismul reacției de obținere a insecticidului DDVP ( $0,0'$ -dimetil-2,2-diclorvinilfosfat) prin dehidrocolorurarea triclorfonului ( $0,0$ -dimetil-2,2,2-triclorhidroxietilfosfonat) conform schemei :



Cu ajutorul parametrilor cinetici determinați :

$$\begin{array}{ll} E_1^\ddagger = 12,04 \text{ kcal/mol} & E_2^\ddagger = 16,82 \text{ kcal/mol} \\ A_1 = 6,97 \cdot 10^5 \text{ sec}^{-1} & A_2 = 2,22 \cdot 10^7 \text{ sec}^{-1} \end{array}$$

am calculat conversia și randamentul optim și timpul de reacție optim în funcție de temperatură (dependența neanalitică s-a obținut prin prelucrarea numerică a datelor pe calculator). Pe baza acestui model s-au recomandat condițiile de lucru optime la sinteza insecticidului DDVP.

### 1.10. Concluzii

Incitați de frecvența deosebită de mare a utilizării termenilor de model, modelare și de unele preocupări constante în acest domeniu, ne-am propus în aceste capitulo prezentate în Aneră o trecere în revistă a unor aspecte ale modelării nu atât în mod exhaustiv ci mai degrabă selectiv și sintetic, pe care apoi le-am exemplificat cu unele din lucrările proprii, finalizate și publicate în reviste de specialitate.

Pentru aceasta am făcut o trecere în revistă a diferitelor semnificații de care se bucură termenul de model și modelare (subcapitolul 1.1) cu diverse activități, dar mai ales în activitățe științifică și tehnică. În capitolul următor am insistat asupra unor sisteme de definiții, citind cu detalii suficiente, mai mulți autori de astfel de definiții, considerați semnificativi. Aceste definiții se comenteză apoi și se abstrag atât trăsăturile lor comune cît și vederile particulare, considerate totuși reprezentative – toate acestea sub formă tabelului de la pag.113. Acest demers permite următoarele precizări asupra modelelor și modelării.

- Modelarea este o relație binară obiect (sistem) – obiect ajutător, care poate fi extinsă la o relație ternară, dacă se include subiectul modelator (în științele naturii sau tehnice se consideră un subiect colectiv – obiectivizat) și chiar la o relație cuaternară, incluzând și adresantul în cazul cel mai general.

- Relația de bază în demersul modelării este relația de analogie între obiectul modelat și model, relație ce poate fi circumscrisă prin proprietățile de eterogenitate (există diferențe între obiect și model), diferența fiind netrivială, relevantă. Analogia este după unii autori obiectivă /111/, după alții potentială și a posteriori /107/, nefiind intrinsecă cuplului obiect – model.

- Relația de modelare restrânsă poate fi caracterizată uneori în termeni de reprezentări, operatori sau morfisme.

- Relația de modelare fiind a posteriori, trebuie de fiecare dată explicitată.

- Scopul principal al modelării este cel gnoscologic împreună cu acela de a facilita minuirea de sisteme (complexe).

- Modelele sunt caracterizate de o relativă autonomie față de obiectul modelat, devin modele pentru alte categorii de fenomene, procese.

- O trăsătură importantă este pluralitatea modelelor : un obiect (sau o clasă de obiecte) se poate pune în legătură cu o mulțime de modele indecidabile, în timp ce teoria are de obicei pretenția la unicitate.

In continuare se trec în revistă unele aspecte implicate de activitatea de modelare, unele conexiuni și disocieri. Astfel, se detaliază noțiunea de analogie, arătîndu-se legătura cu morfismele, în cazul unor obiecte structurate algebric. Morfismele sunt un model al relației de modelare.

Apoi se detaliază relația între model și sistem, arătîndu-se că există o serie de definiții care consideră pe primul, altele care consideră pe al doilea termen primar, definindu-l pe celălalt în funcție de cel considerat primar.

In continuare se expun etapele modelării, fără a da o metodologie universală.

Un capitol extins încearcă o sistematizare a clasificărilor diverselor tipuri de modele. Se dă un tabel în care sunt trecute 24 de criterii de clasificare, care permit obținerea unui număr variabil de clase, în cea mai mare parte independente. Caracteristicile utilizate sunt explicate pe larg și exemplificate. Se obține în modul acesta o imagine a marii diversități a modelelor utilizate actual.

In încheierea capitolului se inventariază scopurile modelării, limitele și avantajele acestei metode.

În esenție se fac unele precizări asupra relației modelării și a euristicii și se enumerează cîteva căi de obținere a unor noi tipuri de modele, după care se dă o listă cu științele, disciplinele de valoare euristică pentru constructorii de modele.

In continuare se trece la descrierea unora din lucrările autorului care constituie exemplificări ale principiilor generale ale modelării.

Bibliografie

1. W.Liebscher - Handbuch zur Anwendung der Nomenklatur der organischen Verbindungen, Akad.Verlag Berlin 1979, p.232.
2. G.M.Bagder - The Chemistry of Heterocyclic Compounds, Acad.Press New York, London 1961, p.260.
3. J.A.Joule și G.P.Smith - Heterocyclic Chemistry, ed.II, van Nostrand, London 1978, p.59.
4. A.Albert - Heterocyclic Chemistry, ed.II. Athlone Press, London 1968, p.64.
5. L.Michaelis, Biochem.Z. 250, 564 (1932), după /7/.
6. Ullmann's Enzyklopädie der technischen Chemie, ed.III, Urban & Schwarzenberg, München Berlin, vol.14, p.481.
7. A.Albert - Heterocyclic Chemistry, ed.II, Athlone Press, London 1968, p.148.
8. C.R.Smith și T.J.Dosch, Brev.brit. 228.849 (1924) ; după C.Z. 1926, I, 2514.
9. B.Emmert, Ber.dtsch.chem.Ges. 50, 31 (1917) ; după C.Z. 1917, I, 322.
10. B.Emmert, Ber.dtsch.chem.Ges. 54, 204 (1920) ; după C.Z. 1921, I, 680.
11. G.I.Mikhailov și L.I.Mirzakh, Brev.URSS 123.946 (1959) ; după C.A. 54, 9963 (1960).
12. K.Holowiecki, J.Horak și M.Rosmarinovich, Loda Towarz Nauk Wydział, III, Acta Chim. 2, 177 (1964) ; după C.A. 62, 9100 (1965).
13. F.E.Kramer, A.J.Louis, Brevet USA 3.197.442 (1965).
14. R.Setton, Compt.rend.Acad.SCR 244, 1205 (1957).
15. R.L.Ward, J.Amer.Chem.Soc. 83, 3621 (1961).
16. Firma ICI, Brevet olandez 6.512.461 (1961) ; după C.A. 65, 15348 (1966).
17. Firma ICI, Brevet belgian 629.864 (1963).
18. Firma ICI, Brevet belgian 628.926 (1963).
19. Firma ICI, Brevet belgian 620.301 (1963).
20. Firma ICI, Brevet francez 1.333.475 (1963).
21. Firma ICI, Brevet francez 1.341.586 (1963).
22. Fr.Brandburry și A.Campbell, Brevet URSS 166.612 (1964).
23. Firma ICI, Brevet belgian 639.705 (1964).

24. Firma ICI, Brevet belgian 638.139 (1964).
25. Firma ICI, Brevet olandez 6.401.239 (1964) ; după C.A. 62, 4011g (1965).
26. Firma ICI, Brevet britanic 957.098 (1964).
27. Firma ICI, Brevet frances 1.380.806 (1964).
28. Firma ICI, Brevet britanic 1.016.542 (1966).
29. O.Dimroth și R.Heene, Ber.dtsch.chem.Ges. 54, 2934 (1921) ; după C.Z. 1922, I, 351.
30. O.Dimroth și F.Frister, Ber.dtsch.chem.Ges. 55, 3693 (1922) ; după C.Z. 1922, III, 151.
31. B.Emmert și J.Wolfert, Ber.dtsch.chem.Ges. 74, 1015 (1941) ; după C.Z. 1941, II, 1741.
32. A.W.Hoffmann, Ber.dtsch.chem.Ges. 14, 1503 (1881) ; după C.Z. 1881, 403.
33. E.H.Kosower și J.L.Cotter, J.Amer.Chem.Soc. 86, 5524 (1964).
34. E.M.Kosower și A.J.Poziomek, J.Amer.Chem.Soc. 85, 2035 (1963).
35. E.M.Kosower și A.J.Poziomek, J.Amer.Chem.Soc. 86, 5515 (1964).
36. E.M.Kosower și I.Schwager, J.Amer.Chem.Soc. 86, 5528 (1964).
37. B.D.Shaw, J.Chem.Soc. 1937, 300 ; după C.Z. 1937, I, 3475.
38. M.Perles, Coll.Czech.Chem.Commun. 52, 668 (1958).
39. M.Skomoraski și A.Shriesheim, J.Phys.Chem. 65, 1340 (1961).
40. P.Walker, J.Org.Chem. 27, 2967 (1962).
41. P.T.Lansbury și J.O.Petersen, J.Amer.Chem.Soc. 85, 2236 (1963).
42. H.Kranch și W.Kunz - Namenreaktionen der organischen Chemie, Dr.H.Hritny Verlag, Heidelberg 1962, p.472.
43. J.P.Wibaud și J.Overhoff, Rec.trav.chim.Pays Bas. 47, 761 (1928) ; după C.Z. 1928 II, 565.
44. J.P.Wibaud și T.Wielnik, Rec.Trav.chim.Pays Bas. 50, 287 (1931) ; după C.Z. 1931 I, 2756.
45. J.P.Wibaud și E.Dingemanse, Rec.trav.chim.Pays Bas. 42, 240 (1923) ; după C.Z. 1923 I, 1034.
46. P.Hein și W.Retter, Ber.dtsch.chem.Ges. 61, 1790 (1928) ; după C.Z. 1928 II, 2020.

47. C.T.Morgan și F.H.Burstall, J.Chem.Soc. 1932, 20 ; după C.Z. 1932 I, 2179.
48. F.Hein și P.Schwedler, Ber.dtsch.chem.Ges. 68, 681 (1935) ; după C.Z. 1935 I, 3791.
49. G.T.Morgan și F.H.Burstall, J.Indian Chem.Soc. 1, 16 (1933) ; după C.Z. 1934 I, 223.
50. F.Kuffner și F.Straberger, Monatsh. 88, 793 (1953).
51. W.Lukes și W.Plinul, Chem.Listy 49, 1836 (1955).
52. Brevet URSS 161.755 (1964) ; după C.A. 61, 4325 (1964).
53. G.M.Badger și W.H.Sasse - Advances of Heterocyclic Chemistry, Editor A.R.Katritzky, Akad.Press New York, London 1963, vol. II, p.179.
54. E.T.Kaiser și L.Kevan - Radical Ions, Interscience, New York, London 1968, p.245.
55. N.M.D.Brown, D.J.Cowley și W.J.Murphy, J.Chem.Soc.Perkin Trans.II, 1976, 1769.
56. P.T.Moore și H.S.Simon, Brevet USA 3.856.714 (1974).
57. V.Eliu-Ceausescu, R.Vâlceanu, Mața Knejev, Maria Frangopol, P.Frangopol, Analele Universității din Timișoara, vol.XVI, p.33 (1978).
58. R.Vâlceanu, Ilieana Neamțiu, Mața Knejev, F.Neamțiu, Brevet RSR 56.095/12.12.1973.
59. V.Eliu-Ceausescu, Mața Knejev, Ilieana Neamțiu, R.Vâlceanu, "Procedeu de obținere a ierbicidului paracuat", Brevet RSR 66.987/27.12.1978.
60. H.Normant, Bull.Soc.Chim.France 1968 (2), 791, 826.
61. C.W.Snedecor - Metode statistice, Editura didactică și pedagogică, București 1978, cap.10 și 11 (traducere din limba engleză).
62. A.Glick - Metode matematice în industria chimică, Editura tehnică București, 1971, p.58.
63. J.Ahrens și J.Läuter - Mehrdimensionale Variansanalyse, Akademie-Verlag Berlin 1974, cap.4-6.
64. J.Joffe, L.M.Pisman - Cataliza heterogenă în ingineria chimică, Editura tehnică București, 1967, p.127 (traducere din limba rusă).
65. C.Mihoc, V.Craiu - Tratat de statistică matematică, vol.II, Editura Academiei RSR, București 1977, p.260.
66. I.Văduva - Analiza dispersională, Editura tehnică, București 1970, p.3.

67. D.C.Schmulbach, C.C.Hinckley, D.Wasmund, -J.Amer.Chem. Soc. 90, 6600 (1968).
68. Z.C.Szabo, in Comprehensive Chemical Kinetics, editor O.H.Bamford, C.H.H.Tipper, Ed.Elsevier, Amsterdam, London, New York, 1969, vol.II, p.1-80.
69. H.J.Bittrich, D.Haberland, C.Just - Leitfaden der chemischen Kinetik, Deutscher Verlag der Wissenschaften, Berlin 1973, p.17-23.
70. W.S.Dorn, D.O.von Cracken - Metode numerice cu programe în FORTRAN, Editura tehnică Bucureşti, 1976, p.392 (traducere din limba engleză).
71. M.H.C.Chermin, D.V.van Krevelin, Chem. Eng.Sci. 14, 58 (1961).
72. R.Schöllner - Die Oxydation organischer Verbindungen mit Sauerstoff, Akademie-Verlag Berlin, 1963, p.82, 85.
73. I.Drimus, A.Spiliadis, R.Stoica - Procese fundamentale în industria organică de sinteză, Editura tehnică, Bucureşti, 1964, p.13.
74. F.Albert, N.Bărbulescu, C.Holssky și C.Greff - Analiza chimică organică, Editura tehnică Bucuresti, 1970, p.300.
75. R.O.Mair și A.S.Graupner, Z.Analyt.Chem. 36, 194 (1964).
76. Houben-Weyl - Methoden der organischen Chemie. Metall-organische Verbindungen, G.Thieme Verlag, Stuttgart 1970, vol.XIII/1.
77. A.H.Lewin și T.Cohen, Tetrahedron Letters 1965, 453.
78. R.G.R.Bacon și H.A.O.Hill, Quart.Rev. 19, 95 (1965).
79. C.Bjorklund și M.Wilson, Tetrahedron Letters 1960, 675.
80. K.Iqbal și R.L.Wilson, J.Chem.Soc.(C) 1967, 196.
81. M.Renert, Gh.Oprisan - Fiabilitatea utilajelor și instalațiilor în industria chimică, Editura tehnică Bucureşti, 1980, p.13.
82. R.Barlow și F.Proshan - Mathematical Theory of Reliability, J.Wiley, New York, 1965, p.9.
83. I.Ryabinin - Reliability of Engineering Systems, Mir Publ. Moscova, 1976 (traducere în limba engleză), p.12.
84. x x x , Organikum, VEB Deutscher Verlag der Wissenschaften, Berlin 1964, p.466.
85. H.J.Bittrich, D.Haberland și G.Just - Leitfaden der chemischen Kinetik, Deutscher Verlag der Wissenschaften Berlin, 1973, p.80.

86. A.Renbaum, J.Amer.Chem.Soc. 89, 1062 (1967).
87. G.Briegleb, Angew.Chem. 76, 326 (1964).
88. N.S.Hush și J.Gladeledge, J.Chem.Phys. 23, 511 (1955).
89. W.Schlenk și Weickel, Chem.Ber. 44, 1182 (1911) ; după /76/.
90. W.Schlenk, J.Appenredt și A.Thal, Chem.Ber. 47, 479 (1914) ; după /76/.
91. B.Emmert și O.Wert, Ber.dtsch.chem.Ges. 55, 1352 (1922), după /76/.
92. D.A.van Dorp, J.F.Arens, Rec.trav.chim.Pays Bas. 66, 189 (1947).
93. V.Paire și G.Heni, J.Chem.Soc. 1958, 2905.
94. K.Wallenfels și M.Gellrich, Chem.Ber. 92, 1406 (1959).
95. W.Schlenk și E.Bergmann, Liebigs Ann.Chem. 463, 91 (1928), după /7/.
96. S.I.Weissmann, I.Townsend, D.E.Paul și G.S.Pake, J.Chem.Phys. 21, 2227 (1953).
97. Firma ICI, Brevet olandez 6.603.415 (1966) ; după C.A. 66, 28674 (1967).
98. W.M.Schwarz, E.M.Kosomer și I.Shain, J.Amer.Chem.Soc. 83, 3164 (1961).
99. M.Hoh și S.Wagakura, Bull.Chem.Soc.Japan 39, 369 (1966).
100. Maria Frangopol, P.T.Frangopol, C.L.Trichilo, P.E.Geiger și N.Filipescu, J.Org.Chem. 38, 2355 (1973).
101. Chao Yuen Ren, în Metamticeskaia logika i eie primenenie, Editura Mir, Moscow, 1965, p.281.
102. Gh.Eneșcu - Teoria sistemelor logice. Metalogica, Editura științifică și enciclopedică, București, 1976, p.90.
103. G.Klaus - Wörterbuch der Kybernetik, Niels Verlag Berlin, 1968, p.411.
104. H.Nurmi, în Modern Trends in Cybernetics Systems, Springer Verlag Berlin, Hamburg, New York, 1977, vol.II, p.37.
105. E.Nicolau - Analogie, Modelare, Simulare Cibernetică, Editura științifică și enciclopedică, București, 1977, cap.7.
106. E.Nicolau - Modelarea în știință, Editura științifică și enciclopedică, București, 1981, p.5.
107. S.Marcus - Semantica și semiotica, Editura științifică și enciclopedică, București, 1981, p.30.
108. L.Boltzmann - Serieri, Editura științifică și enciclopedică, București, 1981, p.28.
109. Ullmann's Enzyklopädie der technischen Chemie, Ed.4, Ed.Weinheim, 1974, vol.4, p.451-79.

110. N.C.Botez, în *Modern Trends in Cybernetics & Systems*, Springer Verlag Berlin Hamburg New York, 1977, vol.I, p.171.
111. W.N.Kafarov - *Kybernetische Methoden in der Chemie und chemischen Technologie*, Akademie-Verlag Berlin, 1971, p.6 (traducere din limba rusă).
112. P.Eykhoff, - *Identificarea sistemelor, estimarea parametrilor și stăriilor pentru sisteme tehnice, economice, biologice*, traducere din limba engleză, Editura tehnică București, 1977.
113. R.Mihail - *Modelarea reactoarelor chimice*, Editura tehnică, București, 1976, p.8.
114. O.Smigelschi, H.Woinarsosky - *Optimizarea proceselor în industria chimică*, Editura tehnică, București 1978, p.45 și următoarele.
115. D.Himmelblau - *Process Analysis by Statistical Methods*, J.Wiley, New York 1970.
116. R.Ashby - *Introducere în cibernetică*, Editura tehnică București, 1972, traducere din limba engleză după ed. III, p.121.
117. T.Luchian - *Algebra abstractă*, Editura didactică și pedagogică, București, 1975, p.9.
118. S.Marcus - *Semne despre semne*, Editura științifică și encyclopedică, București 1979.
119. R.Unbehauen - *Systemtheorie. Eine Einführung für Ingenieure*, Akademie Verlag Berlin, 1970, p.11.
120. A.Carabulescu - *Initierea în ingineria sistemelor industriale. Modelarea sistemelor energetice*, Editura tehnică, București, 1978, p.15.
121. L.von Bertalanffy - *The Theory of Open Systems in Physics and Biology*, Ed.Science New York, 1950, p.56.
122. J.Forrester - *Principiile sistemelor. Teorie și auto-instruire programată*, traducere din limba engleză, Editura tehnică, București, 1979, p.185.
123. C.Peneacu - *Sisteme, concepte, caracterizări, sisteme liniare*, Editura tehnică, București 1975, p.14.
124. M.Tertișco și P.Stoica - *Identificarea și estimarea parametrilor sistemelor*, Editura Academiei RSR, București 1980, p.11.
125. L.A.Zadeh și E.Polak - *Teoria sistemelor*, traducere din

- limba engleză, Editura tehnică, Bucureşti, 1972, p.15 și următoarele.
126. R.E.Kalman, P.L.Falb și M.A.Arbib - Teoria sistemelor dinamice, traducere din limba engleză, Editura tehnică, Bucureşti, 1975, p.11.
  127. C.Polya - Cum rezolvăm o problemă, Editura științifică, Bucureşti, 1955, p.96.
  128. D.Klaua - Grundbegriffe der axiomatischen Mengenlehre, Akademie Verlag Berlin 1973, vol.II, p.175.
  129. J.Rus - Principii și aplicații ale teoriei punctului fix, Editura Dacia Cluj-Napoca, 1979, p.219.
  130. R.Franks - Modelarea și simularea în ingineria chimică, traducere din limba engleză, Editura tehnică, Bucureşti, 1979, p.145.
  131. V.I.Arnold - Ecuații diferențiale ordinare, Editura științifică și enciclopedică, Bucureşti 1978, traducere din limba rusă, p.11 și următoarele.
  132. J.Forrester - Dinamica industrială, Editura tehnică, Bucureşti, 1981, traducere din limba engleză, p.90.
  133. L.Badea - Modelarea bilanțului de materiale al schemelor complexe, Editura tehnică, Bucureşti 1978, paragraful 1.2.
  134. R.Baranovski - Nichtgleichgewichtsthermodynamik in der physikalischen Chemie, VEB - Deutscher Verlag für Grundstoffindustrie, Leipzig, 1975, p.15.
  135. A.Restian - Elemente de patologie informațională, Editura Dacia, Cluj-Napoca, 1977, p.29.
  136. E.Laszló - General System Theory, Prospects and Principles, în Modern Trends of Cybernetics Systems, Springer Verlag, Wien, Hamburg, New York, vol.I, p.131-52.
  137. A.Vasilescu - Analiza dimensională și teoria similitudinii, Editura Academiei RSR, Bucureşti, 1969, p.98.
  138. R.Bellmann, R.Kalaba - Quasilinearization and Nonlinear Boundary Value Problems, Am.Elsevier, New York, 1965.
  139. H.L.Langhaar - Dimensional Analysis and Theory of Models, J.Wiley New York, 1951.
  140. R.Bellman - Stability Theory of Differential Equations, Dover Publ. New York, 1969.
  141. Fazlollah Reza - Spații liniare, Editura didactică și pedagogică, Bucureşti 1973, p.283, traducere din limba engleză.

142. V.V.Nalimov - Theorie des Experiments, VEB Deutscher Landwirtschaftsverlag Berlin, 1975, p.8.
143. T.S.Kuhn - Structura revoluțiilor științifice, Editura științifică și enciclopedică București, 1976, p.87, traducere din limba engleză.
144. Z.Gropsian și colab. - Indrumător de lucrări la fenomene de transfer și utilaje în industria chimică, I.P.T. Timișoara, 1979.
145. V.Kafarov - Fundamentals of Mass Transfer, Mir Publ. Moscova, 1975, p.129, traducere din limba rusă.
146. D.Ceașescu, V.Eliu-Ceașescu, Z.analyt.Chem. 282, 45-6 (1976).
147. D.Ceașescu, V.Eliu-Ceașescu, Rev.Roum.de Chimie 22 (4), 563 (1977).
148. V.Eliu-Ceașescu, D.Ceașescu, Z.analyt.Chem. 291, 42-6 (1978).
149. V.Eliu-Ceașescu, R.Vâlceanu, Rev.Chim. 28 (9), 867 (1977).
150. R.Vâlceanu, V.Eliu-Ceașescu, Comunicare la I.Congres Național de Chimie, 10-14 sept.1978, vol.1, p.17.
151. V.Eliu-Ceașescu, Analele Universității din Timișoara, Preprint, vol.XVI, p.25 (1978).
152. V.Eliu-Ceașescu, R.Vâlceanu, Rev.Chim. 30 (6), 545-9 (1979).
153. V.Eliu-Ceașescu, Marina Eliu-Ceașescu, Analele Universității din Timișoara, vol.XIV(2), p.65-72 (1976).
154. V.Eliu-Ceașescu, L.Kurunczi, R.Vâlceanu, Rev.Chim. 29 (9), 851-4 (1978).
155. L.Kurunczi, V.Eliu-Ceașescu, Analele Universității din Timișoara, vol.XIV(1), 29-37 (1976).
156. V.Eliu-Ceașescu, Analele Universității din Timișoara, vol.XV, p.25-32 (1977).
157. V.Eliu-Ceașescu, Al II-lea Congres Național de Chimie, București, septembrie 1981, vol.II, p.532.
158. V.Eliu-Ceașescu, L.Tiriac, A.Mezei, Al II-lea Congres Național de Chimie, București 1981 (sept.), vol.II,p.396.
159. R.Vâlceanu și V.Eliu-Ceașescu, Rev.Chim. 27(3), 191 (1976).
160. V.Eliu-Ceașescu, Petria Soimu, Analele Universității din Timișoara, Ser.Fizică-Chimie, XIV, 23-29 (1976).
161. R.Vâlceanu, V.Eliu, Z.Szabadai, Brevet RSR 58.663/17.10. 1973.